

TEKST NR 225

1992

HATMODELLEN

**Impedansspektroskopi i
ultrarent en-krystallinsk
silicium**

Af

**Anja Boisen, Anders Gorm Larsen,
Jesper Varmer, Johannes K. Nielsen,
Kit R. Hansen, Peter Bøggild
og Thomas Hougaard.**

Vejleder: Petr Viščor.

TEKSTER fra

IMFUFA

ROSKILDE UNIVERSITETSCENTER
INSTITUT FOR STUDIET AF MATEMATIK OG FYSIK SAMT DERES
FUNKTIONER I UNDERSVINGNING, FORSKNING OG ANVENDELSER

IMFUFA, Roskilde Universitetscenter, Postbox 260, 4000 Roskilde.

Hatmodellen - Impedansspektroskopi i ultrarent silicium.

**af : Anja Boisen, Anders Gorm Larsen, Jesper Varmer, Johannes K. Nielsen,
Kit R. Hansen, Peter Bøggild og Thomas Hougaard.**

Vejleder : Petr Viščor.

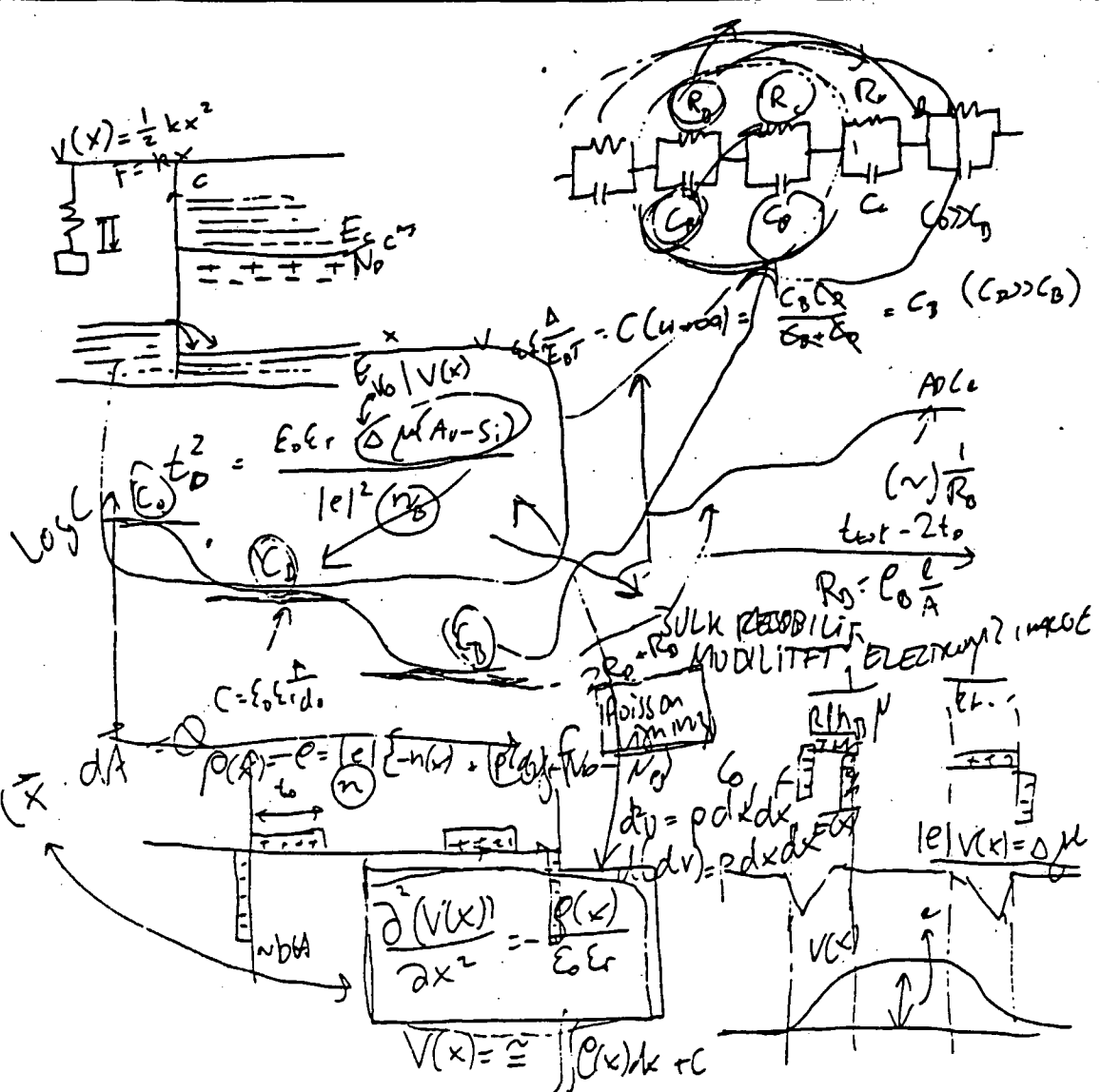
IMFUFA tekst nr. 225/92, RUC.

109 sider.

ISSN 0106-6242

Abstract

Det foreliggende projekt er udarbejdet på RUC's Naturvidenskablige Basisuddannelse i foråret 1989, som 4. semesters projekt. Det er et fysisk eksperimentelt projekt, der omhandler en ny analysemetode indenfor faststoffsikken. Vi har ved hjælp af impedansspektroskopi søgt at bestemme forskellige typer halvlederes elektriske respons overfor vekselstrøm, for derefter at fortolke resultaterne med en matematisk/-fysisk model kaldet hatmodellen. Primært har vi sigtet mod at bestemme bulkresistiviteten i en-krystallinsk silicium ved hjælp af impedansspektroskopi, samt brug af hatmodellen.



Af

Anja Boisen, Anders Gorm Larsen, Jesper Varmer,

Johannes K. Nielsen, Kit R. Hansen, Peter Bøggild,

og Thomas Hougaard

Vejleder: Petr Viščor

Indholdsfortegnelse

	Side
Indledning	Forord og projektbeskrivelse
	1
Kapitel 1	1.1 Ledningsevne i faste stoffer
	5
	1.2 Energitilstande i faste stoffer
	6
	1.3 Forskellige typer halvledere
	13
	1.4 Hul-par generering og ligevægt
	18
Kapitel 2	2.1 Metal/halvleder-overgang
	20
	2.2 Beregning af depletionlagets tykkelse
	23
Kapitel 3	3.1 Hatmodellen
	34
	3.2 Temperaturafhængighed
	40
Kapitel 4	Fra teori til eksperiment
	47
Kapitel 5	5.1 Præsentation af prøverne
	50
	5.2 Pådampning af elektroder
	51
	5.3 Beskrivelse af opstillingen og dens virkemåde
	53
	5.4 Forsøgsrækken
	62
Kapitel 6	6.1 Graferne og hvad man kan læse af dem
	62
	6.2 Aflæsning af grafer
	70
	6.3 Identifikation af parametre
	71
	6.4 Kurvefitning og temperaturafhængighed
	74
Kapitel 7	7.1 Udregning af koncentrationen af podningsatomer
	80
	7.2 Overflade-hypotese
	82
	7.3 Diskussion
	85
	7.4 Perspektivering
	86
Appendiks A	Kondensatoren
Appendiks B	Kompleks symbolsk metode
Appendiks C	Oxidlaget
Appendiks D	Anvendt apparatur
	88
	90
	97
	103
Epilog	104
Litteraturliste	106
Symbolliste	108

Indledning

Forord

Kære læser !

Det du nu sidder og læser i , er et produkt af et semesters "hårdt arbejde". Det er også et eksperimentelt fysikprojekt om en ny analysemetode indenfor faststoffysikken. Metoden, der er udviklet på RUC af Petr Viscor, kaldes impedans-spektroskopi. Dette skulle være en hurtig og effektiv metode til at bestemme forskellige typer halvlederes materiale-egenskaber på. Metoden går meget kort ud på at undersøge halvlederes elektriske respons overfor vekselstrøm, for derefter at fortolke resultaterne v.h.a en matematisk/ fysisk model kaldet "hatmodellen".

Dette vil vi komme nærmere ind på i sådan regnet resten af projektet.

Da gruppen i foråret 1989 mødtes for at snakke sammen om at lave et fysikprojekt, kunne vi kun blive enige om, at det skulle handle om eksperimentel fysik. Det var meget svært for os at konkretisere det yderligere, da ingen af os havde nogen særlig fornemmelse af, hvad der var spændende og muligt indenfor den eksperimentelle fysik.

Da dette jo var et temmeligt bredt udgangspunkt for projektarbejdet, gik vi over til RUC's fysikinstitut IMFUFA, for at høre om de havde nogle spændende ideer at gå i krig med. Her kom vi i tale med Petr Viscor, der foreslog flere forskellige emner indenfor halvleder-fysikken, som instituttet har specialiseret sig i. Vi endte med at vælge et af de projekter, der indgik i IMFUFA's forskningsprogram : bestemmelse af ledningsevnen (m.m) i en halvleder ved impedansspektroskopi. Eller med andre ord : undersøgelse af en elektrisk-matematisk models evne til at forklare ladningsfordelingen i en halvleder.

Først var vi mildest talt lidt skeptiske, da vi syntes det var en lidt stor mundfuld at gå igang med et "rigtigt" stykke grundforskning. Vi havde ikke nogen fornemmelse af sværhedsgraden af projektet, selvom vores vejleder forsikrede os om, at det nok skulle gå. Et sådant projekt ville også medføre at vi ville være dybt afhængige af vores vejleders overblik langt ind i projektarbejdet, da vi ikke selv følte vi vidste hvad det hele handlede om og hvor vi var på vej hen. Vi valgte det alligevel, udfra det udgangspunkt at vi lige meget hvordan det gik, nok skulle få lært noget om eksperimentel fysik.

Problemformulering

Vi vil bestemme bulk resistiviteten i en-krystallinsk silicium ved hjælp af impedansspektroskopi.

Indledning

Formål

Vores primære formål med dette projekt er, at lave et eksperimentelt fysisk arbejde. Vi håber på, at få en så stor forståelse, af det til eksperimentet tilknyttede teoriapperart, at vi er i stand til at for tolke vores resultater

.Det er idag meget svært at måle på højresistive halvledere, og de tilgængelige metoder er meget dyre og tidskrævende, så hvis vores metode virker, vil det være en forsimpling af denne process. Topsil, som er producenten af de silicium prøver vi mäter på, har selv v.h.a. disse metoder målt på de samme prøver. Vi kan derfor sammenligne vores resultater med deres. Dette håber vi vil give os svar på om modellen holder og om det er muligt at bestemme bulk-resistiviteten ved impedansspektroskopi.

Vi vil udføre impedans målinger på 6 silicium prøver. Derefter vil vi opstille et ækvivalent elektrisk kredsløb - en elektrisk model - for en halvlederprøve. Denne model vil vi "matematificere" for derved at kunne opstille en tilsvarende matematisk model, så vi kan for tolke vores måleresultater ("hatmodellen").

Projektafgrænsning

Vores problemformulering ser måske lidt lovlig specifik ud. Men det har vist sig at opklaringen af det problem vi stillede op, let kunne komme til at involvere en lidt større del af fysikken, end vi følte vi kunne gabe over - og så er det sagt på en pæn måde. Vi kunne have gravet i tykke bøger i 10 år, hvis vi ville have et solidt og bredt teoretisk fundament. Derfor har vi ikke formuleret vores problem bredere.

En stor del af tiden har gået med at forstå og diskutere de begreber, der er nødvendige for bare at kunne for tolke vores måleresultater. Vi har måttet opgive den store generelle forståelse af teoriområder som kvantemekanik, termodynamik, faststoffysik, m.m. selvom alle disse emner har spillet en rolle i vores arbejde med teori og måleresultater. Vi har måttet klare os med det nødvendige, og her ofte p.g.a tidspres, set os nødsaget til at forlade et både spændende og relevant emne, for ikke at bruge al tiden på dette. Mange gange har vi måttet acceptere en formel eller en forklaring, uden egentligt at forstå den, for overhovedet at kunne komme videre.

Indledning

Blandt de emner, vi har koncentreret os mest om at forstå, skal lige nævnes :

- responsteori
- kompleks symbolsk metode (som er en måde at regne med elektriske kredsløb på)
- energibåndmodeller, ledning i halvledere, metal-halvleder kontakter, kemisk potentia
- temperaturafhængighed af komplekse impedanser og kapacitanser.

Målgruppe

Vi henvender os primært til Nat-bas studerende, der ønsker at gå igang eller er igang, med lignende projekter - dvs. projekter der omhandler emner som: halvledere, faststoffysk, modellering med elektriske kredsløb og elektrisk responsteori. Og med stor interesse og kendskab til fysik og matematik

I visse kapitler forudsætter vi et kendskab til regning med komplekse tal, kvantemekanik, og at man er fortrolig med løsninger af 1. ordens differentialligninger.

Læsevejledning.

Projektet er delt op i to dele, en teoretisk og en eksperimentel del. Dette er et forsøg på at afspejle den måde vi har arbejdet på i projektet, så læseren kan få en formemmelse af den måde projektet har udviklet sig på.

Her er en kort oversigt over indholdet i kapitlerne :

- **Kapitel 1** Her beskrives metaller, isolatorer og forskellige typer halvledere, med hensyn til elektrisk ledningsevne, energiniveaufordeling.
- **Kapitel 2** Dette kapitel beskriver ladningsfordelingen ved metal/halvleder kontakt, og de problemer dette medfører ved påsætning af guldelektroder.
- **Kapitel 3** Her indføres hatmodellen - en model, der matematisk beskriver ladningsfordelingen i en halvleder med pådampet guldelektrode.
- **Kapitel 4** Dette kapitel er en kort opsamling af teorien i de tre første kapitler, og samtidigt også vores strategi for eksperimentet og bearbejdning af måleresultater.
- **Kapitel 5** Forsøgsopstilling og data om prøverne.
- **Kapitel 6** Kapitlet omhandler fortolkning af grafene, og beskrivelse af kurvefitningen : tilpasning af vores model til måleresultaterne.

Indledning

- **Kapitel 7** **Kvantitativ resultatbehandling, diskussion og konklusion**
- **Appendiks A** En kort beskrivelse af en kondensatørs virkemåde. Vi synes det er en god ide, at have et afsnit med om kondensatorer, da en god forståelse af denne type komponenter er meget vigtige for forståelsen af hatmodellen.
- **Appendiks B** Kompleks symbolisk metode. Et gennemgang af den regnemetode, vi har brugt for at opstille en matematisk beskrivelse af det elektriske system, som en halvleder kan ækvivaleres med.
- **Appendiks C** Et lille teoriafsnit om ladningsbærer/tunnelering gennem oxidlag på silicium.
- **Appendiks D** Liste over det anvendte apparatur.
- **Litteraturliste**
- **Symboliste** I symbolisten, vil alle de symboler vi benytter stå. De vil stå i alfabetisk orden.

Enheder : enhedsforvirring

Vi har igennem projektet forsøgt at holde os til SI-enheder. Indenfor faststoffysikken benyttes ofte enheder udenfor SI-systemet, såsom elektronvolt eV og cm. Dette har resulteret i, at der visse steder i projektet vil blive opgivet andet end SI-enheder.

Nummerering af afsnit m.m.

Alle figurer, formler og afsnit er nummeret efter et hierarkisk indekssystem. Kapitler benævnes 1, 2, 3, hovedafsnit benævnes 1.2 , 3.1 etc. Figurer og formler har samme navn som det afsnit det står i, samt et bogstav.

Afsnit 3.2.2 kan derfor indeholde :

Figur 3.2.2.a

Figur 3.2.2.b

Når der bliver henvist til en fodnote, sker det ved en * lige efter ordet .

God fornøjelse !!!

Kapitel 1

Kapitlet handler om begrebet elektrisk ledningsevne for metaller, halvledere og isolatorer. Endvidere forklares forskellen på forskellige stoffers ledningsevne, ud fra betragtninger om elektronernes energinivauer. Derefter gennemgås forskellige typer halvledere og deres elektriske egenskaber.

1.1 Ledningsevne i faste stoffer.

Begrebet elektrisk ledningsevne knytter sig til de frie ladningsbærere i et materiale. Et materiales elektriske egenskaber afhænger af : antallet af frie ladningsbærere i stoffet, hvor gode disse ladningsbærere er til at bevæge sig i stoffet (mobilitet) og størrelsen af den ladning de bærer. Man kan opskrive udtrykket for et stofs specifikke ledningsevne σ :

$$\sigma = n lel \lambda \quad [S/m] \quad [1.1.a]$$

n : ladningsdensiteten = antallet af frie elektroner pr. volumen enhed.

lel: elementarladningen = størrelsen af den ladning som elektronerne bærer.

λ : mobiliteten = den gennemsnitshastighed som ladningsbærerne opnår, pr. påtrykt feltenhed.

$$\lambda = \frac{u}{E} \quad [\frac{m}{s} \frac{m}{V}] \quad [1.1.b]$$

u : ladningsbærernes gennemsnitshastighed.

E : elektrisk feltstyrke.

Den reciproke værdi af den specifikke ledningsevne, er udtryk for materialets specifikke modstand også kaldet resistivitet Den samlede modstand er givet ved :

$$R = \frac{d}{\sigma A} \quad [\Omega] \quad [1.1.c]$$

d : materialets længde.

A : materialets tværsnitsareal.

Metaller, halvledere og isolatorer

Rent elektrisk kan man opdele faste stoffer i tre grupper : ledere, halvledere og isolatorer.

Metaller er alle ledere og har små specifikke modstande $10^{-8} - 10^{-4} \Omega \text{ m}$ ($10^{-6} - 10^{-2} \Omega \text{ cm}$), der vokser næsten proportionalt med temperaturen. Koncentrationen af frie ladningsbærere er stor i ledere, og er kun lidt afhængig af temperaturen. Dette skyldes, at de termiske bevægelser i materialet er mindre ved lave temperaturer, hvorved elektronerne lettere kan bevæge sig.

Halvledere er, som navnet antyder, kun halvgode elektriske ledere. De almindeligste halvledermaterialer er germanium og silicium. Halvledere har specifikke modstande i området fra $10^{-4} - 10^5 \Omega \text{ m}$ ($10^{-2} - 10^7 \Omega \text{ cm}$). I modsætning til ledere aftager en halvleders specifikke modstand med temperaturen. Koncentrationen af frie ladningsbærere vokser stærkt med temperaturen.

Isolatoreres specifikke modstand opfører sig på samme måde som halvlederes, men er dog langt større $10^5 - 10^{20} \Omega \text{ m}$ ($10^7 - 10^{22} \Omega \text{ cm}$).

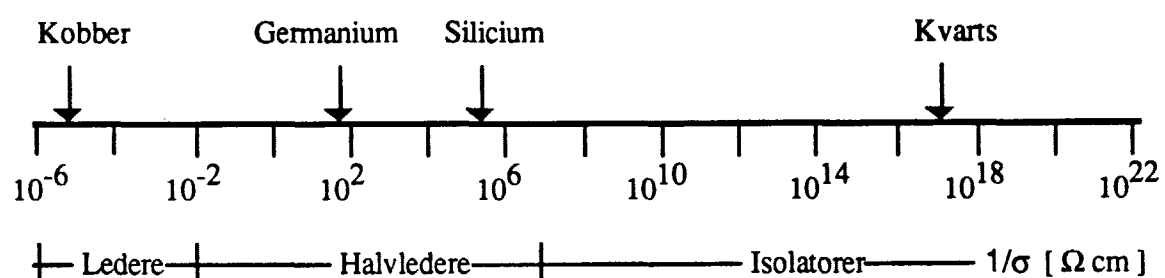


Fig. 1.1.a Forskellige stoffers specifikke modstand.

For at forstå forskellen i ledningsevne for de forskellige stoffer, må man søge forklaring i den såkaldte båndteori.

1.2 Energitilstande i faste stoffer.

Enkeltatomer

Ifølge Bohrs atommodel kredser elektronerne om et atom i faste cirkulære baner. Elektronerne i disse baner eller skaller befinner sig i ganske bestemte energitilstande. En elektron kan optage ganske bestemte energier, og da hoppe op på et højere energiniveau i en skal, der ligger længere væk fra kernen.

Metaller, halvledere og isolatorer

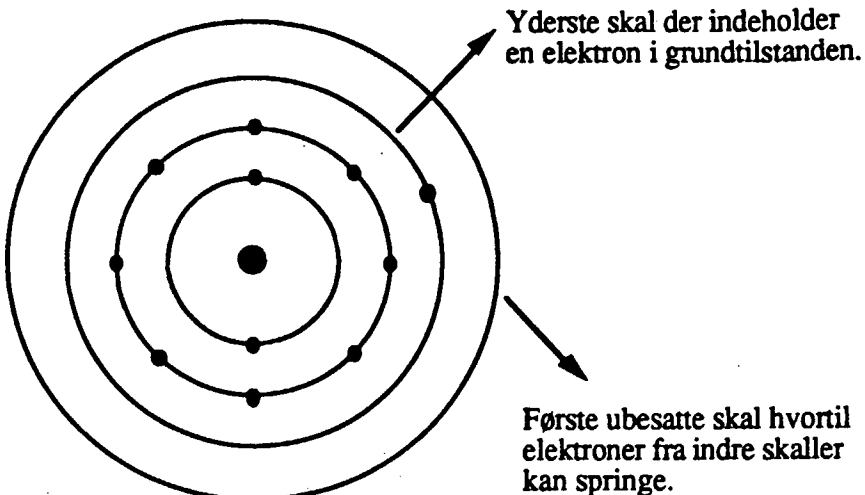


Fig. 1.2.a Natrium-atom ifølge Bohr's atommodel.

Efter at Bohr fremkom med sin atommodel i 1913, har det vist sig, at elektroner i samme skal ikke har nøjagtig samme energi. Den tyske fysiker Sommerfeld byggede videre på Bohr's atommodel. Sommerfeld mente, at hver skal måtte bestå af et vist antal elektron-baner, hver med plads til to elektroner. På denne måde fremkom flere energiniveauer i nærheden af de "gamle" skal niveauer. Hver af de "nye" elektronbaner har en ganske bestemt geometrisk fordeling omkring atomkernen. Disse rummelige fordelinger kaldes orbitaler, eller rettere underorbitaler.

I følge Pauli's princip kan to elektroner i et atom ikke have samme kvantetals-kombination. De "fire kvantetal" beskriver tilsammen elektronernes rummelige placering, og dermed deres energi. Man skulle derfor formode, at to elektroner i et atom ikke kan besidde samme energi - de har jo forskellige kombinationer af kvantetal. Men pga. et fænomen kaldet spin, kan der i kvantmekaniken eksistere netop to elektroner i samme underorbital. To elektroner i samme underorbital har samme energi, hvilket altså bevirket at der netop kan eksistere to elektroner på det samme energinivau.

Hvis en elektron tilføres energi (varme, lys,...) vil den springe op på et højere energiniveau, gennertelt svarende til en større afstand fra kernen. Er energien stor nok vil elektronen rive sig løs fra kernen (løsrivelses-energien), og elektronen vil nu kunne bevæge sig frit.

Sammenføring af atomer.

Hvis man fører to ens atomer sammen, gælder Paulis princip stadig. Atomernes yderste elektroner vil vekselvirke med hinanden og atomkernene. Ved denne vekselvirken ændres deres energi en lille smule, således at de "gamle" identiske energiniveauer splittes op i "nye". Fører man nu et stort antal atomer sammen på en måde, så der bliver tale om et krystal, sker der følgende: hvert af de oprindelige energiniveauer for det enkelte atom, splittes op i lige så

Metaller, halvledere og isolatorer

mange niveauer, som der er atomer i stoffet. De mange nye energiniveauer vil ligge tæt ved hinanden i såkaldte bånd, i nærheden af de oprindelige energiniveauer. Se fig. 1.2.b.

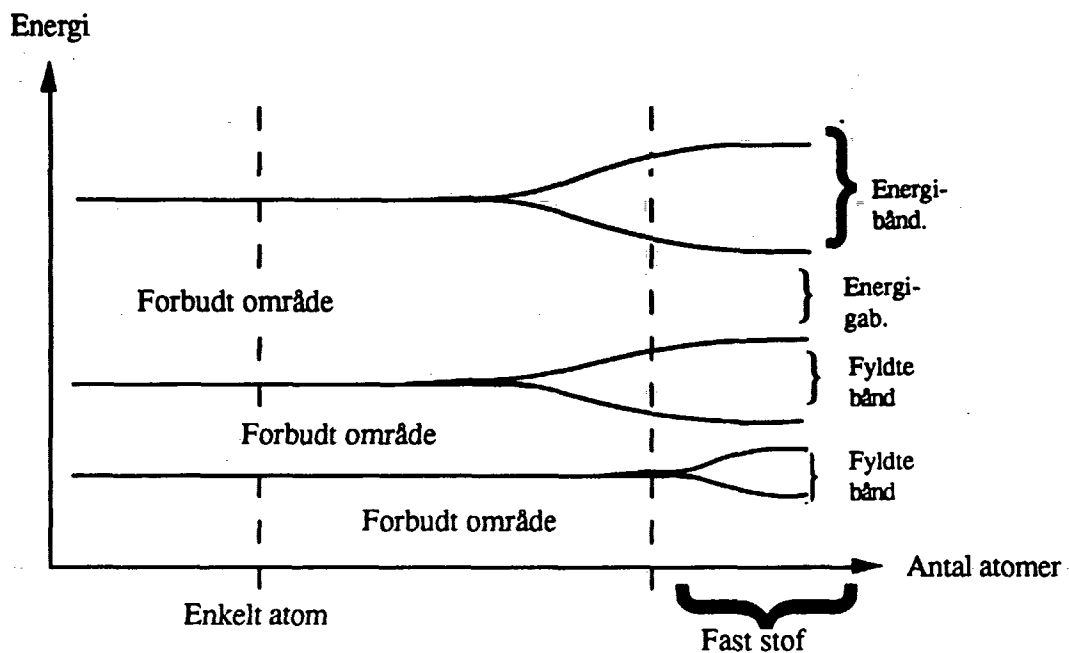


Fig. 1.2.b Energiniveauer opsplittes til energibånd, når mange atomer føres sammen til fast stof.

For et enkelt atom gælder, at dets elektroner kun kan optage ganske bestemte energimængder, og således kun befinde sig på bestemte energiniveauer. Dette gælder også for faste stoffer. Men da der er mange energiniveauer i hvert bånd, skal elektronerne kun tilføres en ganske lille energi, for at springe fra et niveau til et højere. Dog forudsat, at dette højere niveau ikke er besat i forvejen. Men som det ses af fig. 1.2.b, kan der godt være stor afstand mellem de enkelte energibånd. Herved opstår de såkaldte energigab, hvor der ikke eksisterer mulige energiniveauer for elektronerne. Hvis materialet har en tilstrækkelig lav temperatur, vil båndet under energigabet være fuldt optaget af elektroner, mens det øverste vil være fuldstændig tomt. Det øverste bånd kaldes for ledningsbåndet, idet elektroner der befinder sig her, vil være i stand til at lede en elektrisk strøm. Det nederste bånd kaldes for valensbåndet. Se fig. 1.2.c

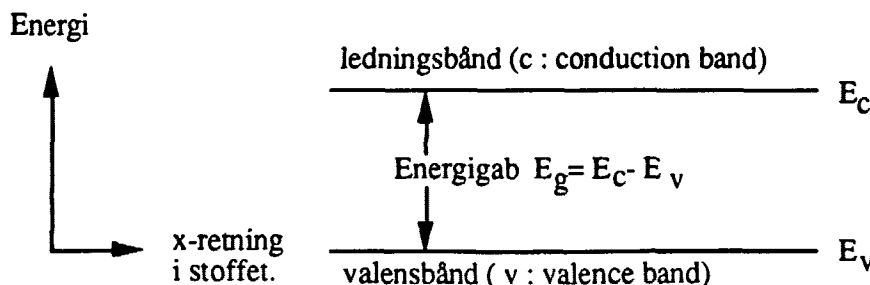


Fig. 1.2.c Energigabets placering mellem valensbånd og ledningsbånd.

Metaller, halvledere og isolatorer

Metaller.

Monovalente metaller (Na, K, ...) har hver en elektron i yderste skal (valenselektron) pr. atom. Føres N atomer af disse metaller sammen, vil der opstå N energiniveauer for hvert oprindeligt niveau. Hvert af niveauerne har som nævnt plads til to elektroner, hvilket giver mulighed for $2N$ elektroner i alt. Dette medfører at det øverste bånd kun vil blive fyldt halvt op. Elektronerne vil fyde de laveste niveauer op først, så de har lavest mulige energi, hvorved den øverste halvdel af båndet forbliver ubesat. Elektronerne skal derfor kun tilføres en meget lille energi, før de hopper op på et højere niveau.

Elektronerne er nu i stand til at optage mange forskellige energier, og er ikke tæt knyttet til den enkelte atomkerne. Herved er elektronerne frie til at lede en elektrisk strøm.

Et materiales elektriske egenskaber, knytter sig altså til atomernes yderste elektroner, dvs. valenselektronerne.

For divalente atomer (Mg, Ca, ...) skulle man så tro, at det øverste energibånd blev fyldt op. (Antallet af valenselektroner svarer her til det maksimale antal af elektroner, der er plads til i energibåndet.) Men der skabes et delvist fyldt bånd ved overlap af fyldte og tomme energibånd.

Energi

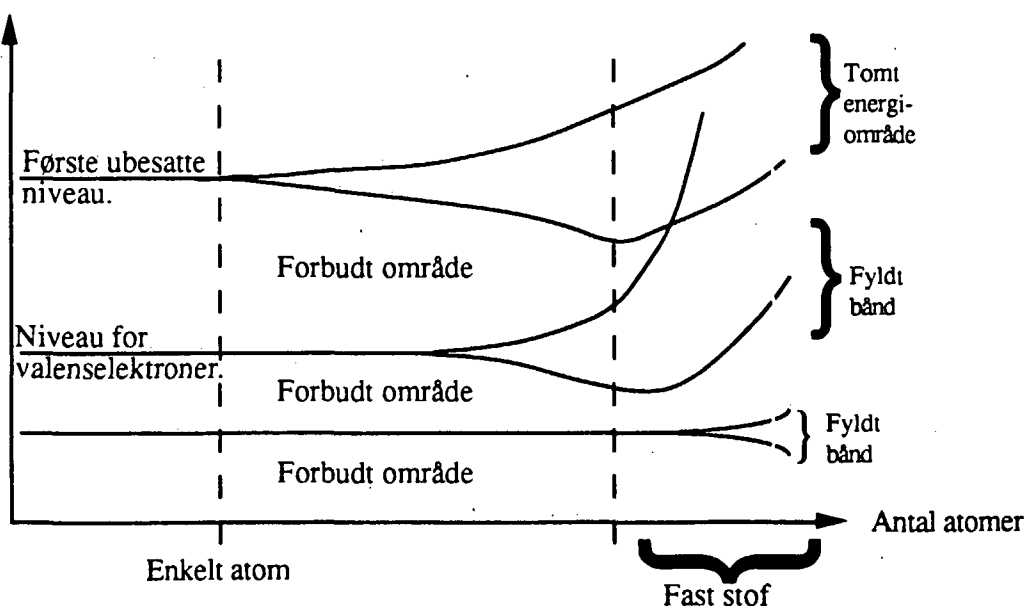


Fig. 1.2.d Delvist fyldt bånd dannet ved overlap af fyldte og tomme energibånd.

Dette fænomen forklares på følgende måde : det første ubesatte energiniveau for det enkelte atom i grundtilstanden splittes op til et energibånd, på samme måde som resten af de underliggende energiniveauer. Det tomme energibånd overlapper imidlertid det underliggende bånd, hvorved der skabes frie tilstande i det samlede bånd. Se fig. 1.2.d.

Metaller, halvledere og isolatorer

For metaller med mere end to valenselektroner, gør lignende forhold sig gældende, som ovenfor beskrevet.

Isolatorer.

Isolatorer er som tidligere nævnt materialer, der har overordentlig store specifikke modstande. Dette beror på, at der eksisterer et energigab mellem valensbåndet og ledningsbåndet. Jo større energigabet er, desto sværere er det at eksitere elektroner fra valensbåndet op i ledningsbåndet. En god isolator har altså et stort energigab.

Isolatorer har energigab fra 2 eV og opad. Gode isolatorer som diamant eller siliciumoxid (SiO_2) har energigab på henholdsvis 5 eV og 9 eV.

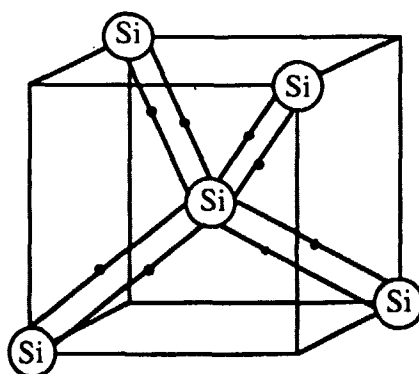
I en isolator er ledningsbåndet tomt, hvilket betyder at ingen af energitilstandene i båndet er besatte med elektroner. Endvidere er valensbåndet fyldt helt op, så her kan der altså ikke foregå ladningstransport.

Påtrykker man et elektrisk felt over isolatoren, vil ingen elektroner kunne bevæge sig gennem krystallet. I det tomme ledningsbånd ville eventuelle elektroner kunne bevæge sig frit, men det ligger energimæssigt for højt til at der kan befinde sig elektroner her. Elektronernes termiske energi stiger ganske vist med temperaturen, men ved stuetemperatur er sandsynligheden for at de kan hoppe op i ledningsbåndet forsvindende.

Halvledere.

Materialer med energigab mellem ca. 0.2 eV - 2 eV har ved stuetemperatur tilstrækkelig mange frie ladninger, til at kunne lede en elektrisk strøm. Sådanne materialer kaldes for halvledere.

Halvledermaterialer som silicium og germanium er opbygget af en tetraedisk krystalstruktur, som fig. 1.2.e viser.



Metaller, halvledere og isolatorer

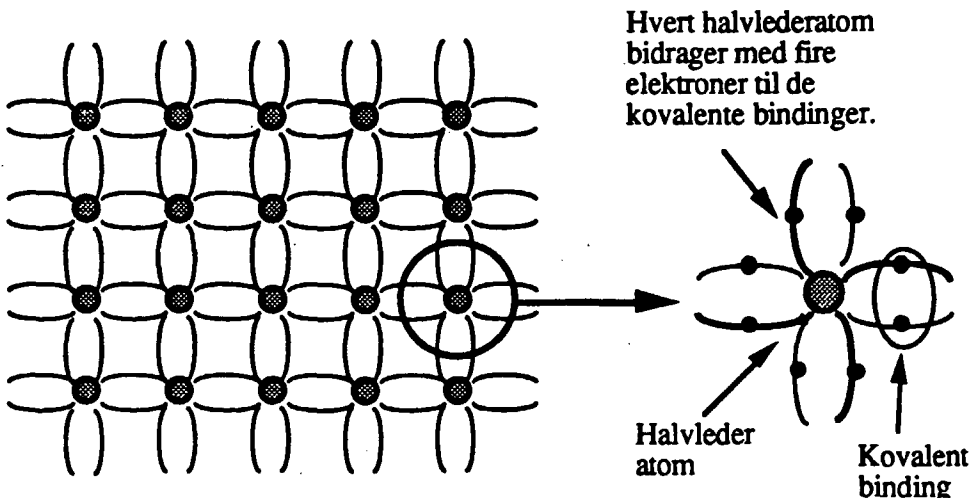


Fig. 1.2.e Krystalopbygning af en halvleder fra fjerde hovedgruppe. (Eks. Si eller Ge.)

Germanium og silicium er begge tetravalente og har altså fire valenselektroner. Hvert atom sidder i centrum af et regulært tetraeder, med et naboatom siddende i hvert af de fire hjørner. Valenselektronerne "deles" med disse fire nabatomer og danner kovalente bindinger, der holder sammen på det periodiske krystalgitter. Der indgår to elektroner i hvert af de kovalente bånd, idet nabatomerne jo tilsvarende deler deres valenselektroner med deres respektive naboer.

Termisk eksitation og rekombination.

Ved 0 K indgår alle valenselektroner i en ren enkrytal i kovalente bindinger. Opvarmes krystallen, vil nogle elektroner få tilført en så stor termisk energi, at de rives løs fra bindingen, og begynder at vandre frit i krystallen. Svarende til at elektronen eksiteres fra valensbåndet op i ledningsbåndet. Den nødvendige eksiteringsenergi svarer til energigabets størrelse, og er for silicium og germanium henholdsvis ca. 1.1 eV og 0.7 eV ved 300K.

Når elektronen slås løs, efterlader den en ledig plads, et såkaldt hul, i den kovalente binding, svarende til et hul i valensbåndet. Dette hul kan let fyldes af en elektron fra nabobindingerne, men herved efterlader denne sig et hul o.s.v. Se fig. 1.2.f

Metaller, halvledere og isolatorer

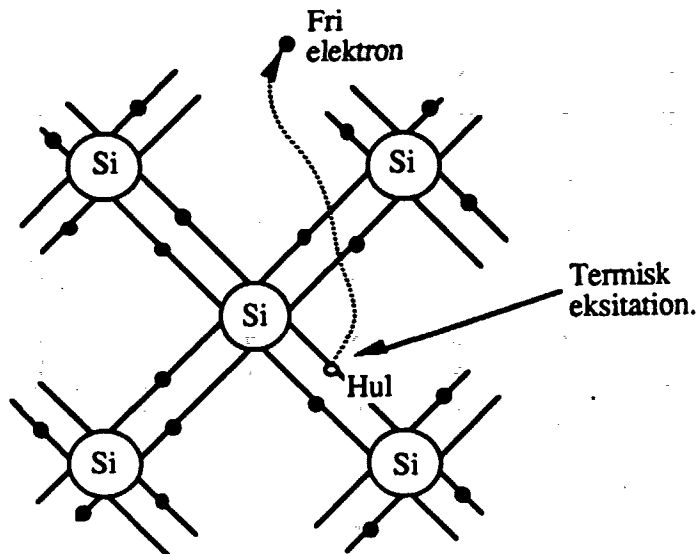


Fig. 1.2.f Termisk eksitation med dannelse af et elektron-hul par.

Hullerne kan på denne måde hoppe fra binding til binding, og opfattes derfor som frie partikler ligesom de løsrevne elektroner. Da hvert hul svarer til en manglende elektron, tillægger man et hul en tilsvarende positiv elementarladning. Hullerne kan dog ikke bevæge sig lige så let som de frie elektroner, og har derfor en lavere mobilitet. Dette skyldes at elektronerne i valensbåndet rent faktisk indgår i kovalente bindinger, hvergang de flytter sig i stoffet. Dette hæmmer deres bevægelighed - deres mobilitet - betragteligt. Man kan med oplysninger om en vilkårlig halvleders mobilitet fastslå om det er en n-halvleder eller en p-halvleder (Om n-og p-halvledere se afsnit 1.3.1).

	Elektron mobilitet λ_e [m ² V ⁻¹ s ⁻¹]	Hul mobilitet λ_h [m ² V ⁻¹ s ⁻¹]	Ladningsdensitet n_i ved 300K [m ⁻³]	Energigab E_g [eV]
Silicium	0.14	0.048	$1.6 \cdot 10^{16}$	1.1
Germanium	0.39	0.190	$2.5 \cdot 10^{19}$	0.7

Når elektroner og huller vandrer frit i krystallen, sker det at en elektron møder et hul, hvorved den forsvinder et elektron-hul par. Denne proces kaldes rekombination, og modsvarer termisk eksitation af et elektron-hul par. Rekombination svarer til, at en elektron fra ledningsbåndet "dumper" ned på en fri plads i valensbåndet, for her at opnå en lavere energi.

I en ren halvledekrystal, kaldet intrinsic, vil der for enhver temperatur altid være lige mange huller (p_i) i valensbåndet som der er elektroner (n_i) i ledningsbåndet. ($p_i = n_i$).

Det samlede antal af frie ladningsbærere bliver da : $p_i + n_i = 2 \cdot n_i$.

Med kendskab til mobiliteten for såvel huller som elektroner i en intrinsic halvleder, kan man opstille følgende udtryk for en halvleders ledningsevne σ :

Metaller, halvledere og isolatorer

$$\sigma = n_i \cdot l_e \cdot \lambda_e + p_i \cdot l_h \cdot \lambda_h$$

[1.2.a]

Men da elektronmobilitten er ca. 3 gange så stor som mobilitten for huller, bidrager hullerne kun med ca. 25% af den samlede ledningsevne.

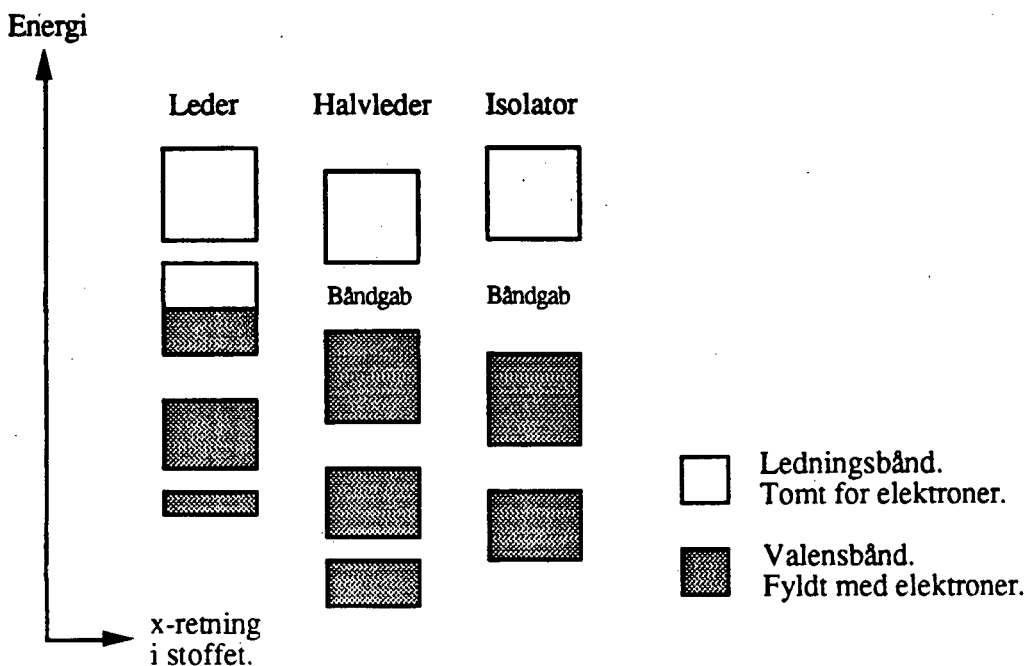


Fig 1.2.g Tegningen viser en samlet oversigt over energibåndenes fordeling i de tre stofgrupper : ledere, halvledere og isolatorer ved temperaturen 300 K.

I det næste afsnit vil vi se på ledningsevnen i en halvleder, når man tilsætter små mængder af fremmedatomer. Endvidere vil vi i kap.2 undersøge, hvilke ændringer der sker i halvlederen, når man påsætter metalelektroder.

1.3 Forskellige typer halvledere

Man har i principippet tre forskellige former for halvledere, med forskellige elektriske egenskaber. Det der gør forskellen er faktisk ikke halvlederne i sig selv, men de urenheder de mere eller mindre overlagt kan være forurennet med. En halvleders elektriske egenskaber er meget påvirkelige overfor urenheder, som det vil fremgå i det følgende.

1.3.1 Doping af halvledere

Som nævnt i afsnit 1.2 er energigabet i halvlederen - det "forbudte" område mellem valensbåndet og ledningsbåndet - ikke så stort som for isolatorer, men alligevel nok til at gøre

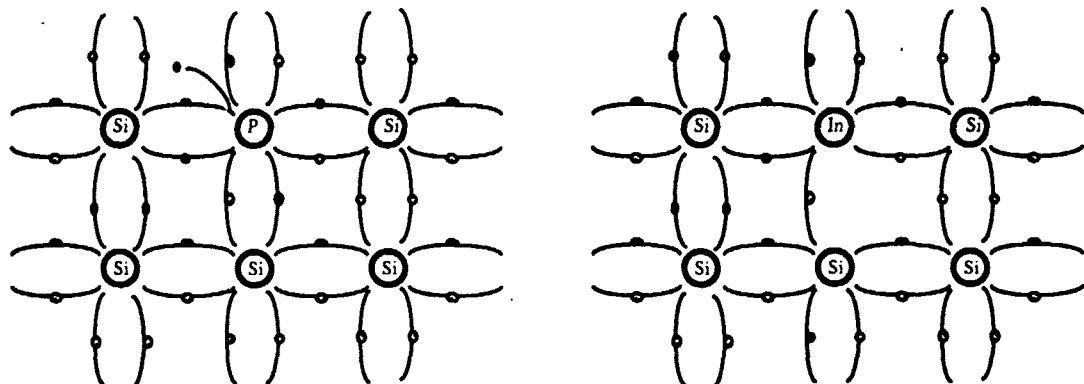
Metaller, halvledere og isolatorer

halvledere til meget dårlige ledere. Ledningsevnen kan gøres bedre ved at forurene halvlederen med atomer med en anden valens end halvlederatomerne. En halvleder, der ikke er forurennet med sådanne atomer kaldes en intrinsic halvleder.

Ved at forurene halvlederne med små mængder af pentavalente eller trivalente atomer, øges ledningsevnen. Man kan nogenlunde ramme lige den ledningsevne man ønsker, ved at forurene med det rette antal fremmede atomer. Denne proces kaldes doping. Atomer man forurener med, kaldes donorer i fald de er pentavalente og acceptorer i fald de er trivalente. Det viser sig, at doping, både med donorer og acceptorer, giver anledning til flere frie ladningsbærere i halvlederen, og dermed en øget specifik ledningsevne. Dette kommer sig af, at både overskydende elektroner i gitterstrukturen og huller i gitterstrukturens kovalente bindinger, som nævnt i afsnit 1.2. kan fungere som frie ladningsbærere.

Halvledere, der er dopet med pentavalente atomer kaldes n-halvledere, idet det her er negative ladningsbærere - elektroner - der transporterer strømmen. Halvledere der er dopet med trivalente atomer kaldes p-halvledere, idet ladningsbærerne - hullerne - opfattes som positive. Man siger at manglen på en elektron i gitteret - et "hul" - svarer til tilstedeværelsen af "positiv" ladningsbærer.

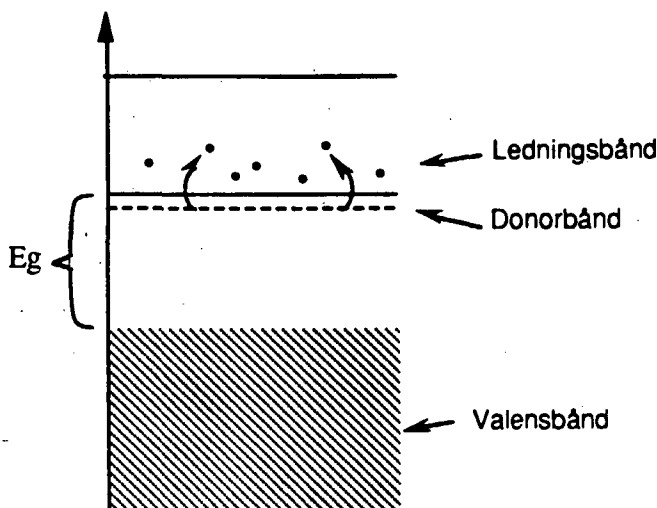
Doperingsatom	Bruges til at fremstille:	Valens:	Ladningsbærere:	Eks:
donor	N-halvledere	5 (pentavalent)	elektroner	Fosfor
acceptor	P-halvledere	3 (trivalent)	huller	Indium



Figur 1.3.1.a Til venstre ses en planmodel af en halvleder, der er dopet med donoratomet fosfor. Til højre ses en halvleder der er dopet med acceptoratomet indium.

1.3.2 N-halvledere

I n-halvledere er der overskud af elektroner i forhold til den rene halvleder. De overskydende elektroner indgår ikke i kovalente bindinger og er derfor kun løseligt bundet til donoratomerne. I energidiagrammet ligger donoratomernes elektroner sig, som et ekstra energibånd lige under ledningsbåndet. Der skal ikke ret meget energi til, for at elektronen løsrides og eksiteres op i ledningsbåndet. Her kan den bevæge sig frit, indtil den "falder ned" i et hul - en ubesat plads enten i donorbåndet eller valensbåndet.



Figur 1.3.2.a. Energibåndsdiagram for n-halvleder. Donorbåndet ligger lige under ledningsbåndet, hvilket medfører at elektronerne i donoratomerne ikke behøver ret meget energi for at blive eksiteret op i ledningsbåndet. Ved temperaturer over 70 K vil langt de fleste donorelektroner være i ledningsbåndet på grund af termisk eksitation.

Ved temperaturer over 70-80K er den termiske energi i halvlederen stor nok til at donorbåndet praktisk taget er tomt, og langt de fleste elektroner befinner sig i ledningsbåndet. Her svarer antallet af frie ladningsbærere faktisk til antallet af donor-atomer, idet disse hver bidrager med 1 fri ladningsbærer, og bidraget af frie ladninger fra halvlederens valensbånd er meget lille (se afsnit 3.2 om temperaturafhængighed).

Den specifikke ledningsevne i en n-halvleder bliver da :

$$\sigma_n = n \mu_n |e|$$

[2.1.2.a]

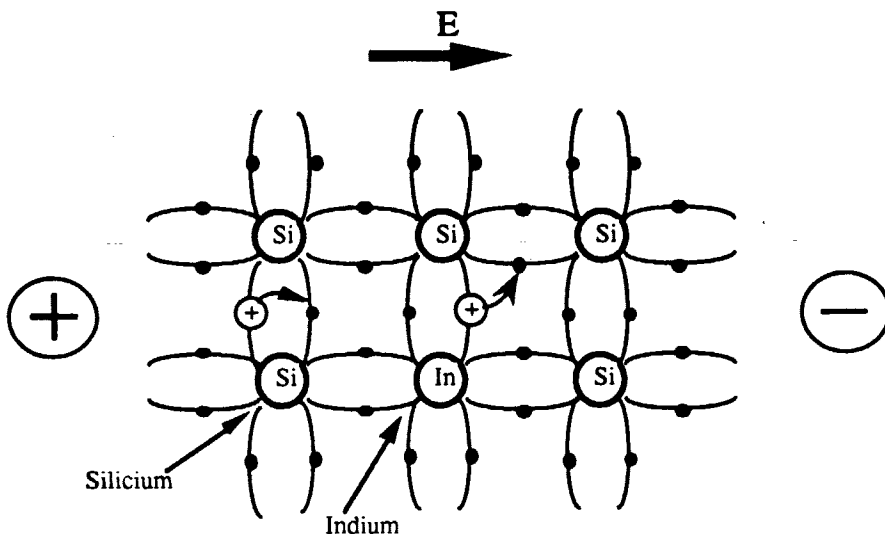
hvor μ_n er mobiliteten for elektroner i en n-halvleder.

Metaller, halvledere og isolatorer

1.3.3 P-halvledere

I P-halvlederen er der en manglende elektron for hver acceptor-atom i gitterstrukturen. Hvis antallet af acceptorer er tilstrækkeligt lille bevares tetraede-gitterstrukturen, på trods af, at et antal kovalente bindinger er defekte.

Elektroner kan springe fra en kovalent binding til et hul, f.eks. på grund af termisk eksitation. Dette svarer til at hullet bevæger sig den anden vej (se figur 1.3.3.a). Hvis der lægges et felt over halvlederen, vil elektronerne søger over mod den positive pol, hvorved der bliver flere og flere huller nær den negative pol.



Figur 1.3.3.a. Elektronernes drift mod den positive pol, medfører en forskydning af ledige bindinger - huller - mod den negative pol. Dette opfatter vi som en strøm af positive ladninger fra (+) til (-).

Når hullerne når hen til den negative pol, rekombinerer de med de nye elektroner, feltet bidrager med. Og når elektronerne når den positive pol, forlader de halvlederen og genererer således et nyt hul. Denne proces kaldes elektron-hul generering og rekombinering. Hul-elektron par genereres ved den positive pol og rekombinerer ved den negative pol. Netto sker der en transport af elektroner fra den negative pol til den positive (se figur 1.3.3.c).

Da en P-halvleder opfører sig som om der virkelig er tale om positive ladningsbærere med ladning e , har man vedtaget at betragte hullerne som "rigtige" ladningsbærere, fuldstændigt som elektroner er det, blot positive. Selvom det rent faktisk er elektronbevægelser der muliggør ladningstransporten. I en P-halvleder foregår ledningen i valensbåndet, mens den i en n-halvleder foregår i ledningsbåndet.

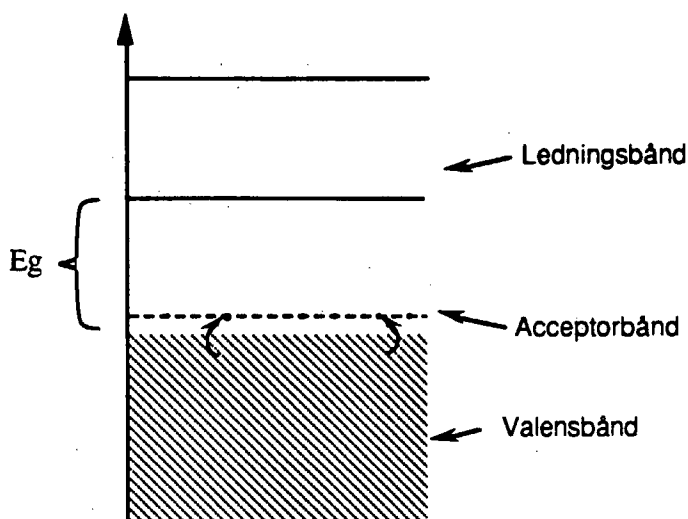
Metaller, halvledere og isolatorer

Den specifikke ledningsevne er for en P-halvleder :

$$\sigma_p = p \mu_p |e|$$

[1.3.3.a]

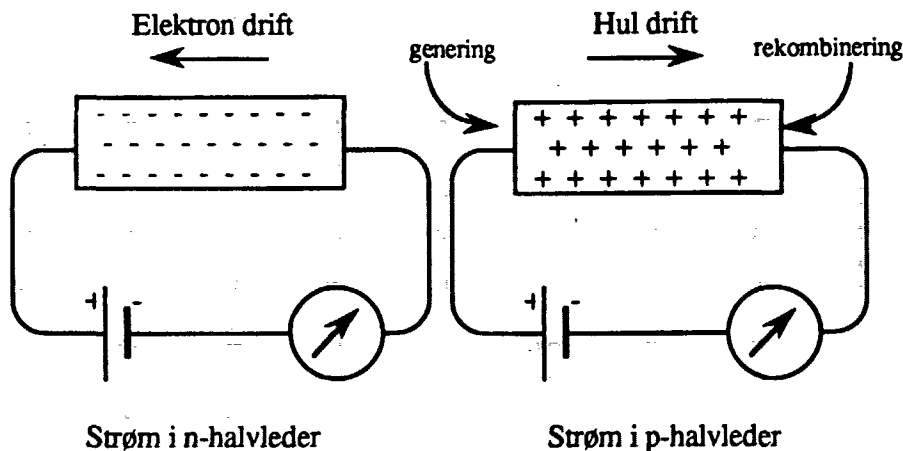
hvor μ_p er mobiliteten for hullerne i p-halvlederens valensbånd. $|e|$ er størrelsen af hullets ladning $q_p = e$. Se iøvrigt afsnit 1.2 og kapitel 4 om mobilitet af huller og elektroner.



Figur 1.3.3.b. P-halvleder set i energidiagram. Acceptor niveauer med frie bindinger ligger lige over valensbåndet. Der skal derfor kun meget lidt til for at elektronerne øverst i valensbåndet hopper op i acceptorniveauer. Derved dannes der huller i valensbåndet, så der kan ske en ladningstransport.

I en ren og perfekt krystallinsk halvleder, foregår rekombineringen langsomt idet det er svært for elektronerne at finde nogen ledige bindinger at dumpe ned i. Rekombinering foregår meget hurtigere nær uregelmæssigheder i gitterstrukturen end i områder med perfekt struktur. Da man kan opfatte overfladen af en halvleder som en stor uregelmæssighed i krystalstrukturen, foregår rekombinering meget hurtigere her end i selve halvlederens midte, også kaldet bulk-zonen.

Metaller, halvledere og isolatorer



Figur 1.3.3.c Til venstre ses elektronerne i valensbåndets vandring fra katode(-) til anode(+) i n-halvlederen. Til højre ses hvordan hullerne som elektronerne efterlader, vandrer mod katoden(-) i en p-halvleder. Hullerne genereres ved anoden idet elektronerne forlader halvlederen, og efterlader et hul efter sig. Rekombineringen foregår ved at en elektron på vej ind i halvlederen ved katoden, "lander" i et hul nær katoden.

1.4 Hul-par generering og ligevægt

1.4.1 Optisk og termisk generering

Elektroner i halvlederen kan eksiteres op fra valensbåndet enten termisk eller optisk. Ved enhver temperatur over det absolute nulpunkt vil det ske, at elektroner bliver løsrevet fra de kovalente bindinger, så der kan blive ledet en strøm. Sandsynligheden for at en elektron løsrides stiger eksponentielt med temperaturen. Dog vil mængden af termisk eksiterede elektroner være ekstremt lille i intrinsic halvledere ved lave temperaturer, da elektronene her har meget svært ved overvinde energigabet E_g .

Når elektromagnetisk stråling rammer en halvleder, kan fotonerne løsrive elektronerne fra deres bindinger. Antallet af eksiterede elektroner afhænger af fotonernes energi, dvs. hvor kort bølgelængden er. Silicium er transperant for infrarød stråling, men ikke synligt lys, dvs. at synligt lys har energi nok til at slå elektronerne fri. Optisk generering er øjeblikkelig og foregår kun så længe halvlederen bestråles. Ved termisk generering tager det et stykke tid for varmen at diffundere ind i stoffet, men når først ligevægten er indtrådt, vil genereringen foregå lige så hurtigt, som ved optisk generering*.

* For at undgå optisk generering i halvledere man måler på, må man måle i absolut mørke. Ellers vil der være flere frie ladningsbærere end man regner med.

1.4.2 Ligevægt

Ved en konstant temperatur opstår der på et tidspunkt ligevægt mellem dannelsen af elektron-hul par og rekombinering, hvilket vil sige at genereringshastigheden og rekombineringens-hastigheden er lige store.

Elektron-hul par genereringen afhænger af temperaturen og materialet , mens rekombineringshastigheden afhænger af sandsynligheden for, at et hul og en elektron kommer tæt på hinanden. Denne sandsynlighed er proportional med produktet af hul- og elektrondensiteten p og n :

$$\text{Rekombineringshastighed} = \text{konstant } n p$$

Hvis f.eks. antallet af huller pludselig fordobles, ville der dermed også finde dobbelt så mange rekombinationer sted. Dette medfører at et tilsvarende større antal frie elektroner vil forsvinde. Faktisk vil den samme ligevægt indstille sig igen.

I dette kapitel er har vi studeret metaller, isolatorer og især halvlederes elektriske egenskaber. Nu skal vi til at se på, hvad der sker, når metaller og halvlederes sættes sammen - dvs. hvad der sker når man vil til at måle på en halvleder.



Kapitel 2

Kapitlet omhandler, hvad der sker i forskellige typer halvledere, når en metalelektrode påsættes.

2.1 Metal/halvleder-overgang

I det følgende vil vi beskrive hvorledes vi får elektrisk kontakt med Si-prøverne, samt hvilke konsekvenser det får for prøvernes ladningsfordeling.

2.1.1 Elektrisk kontakt med halvledere

Normalt vil de fleste stille sig tilfreds med en loddekolbe og en klat tin når de skal forbinde elementer i et elektronisk kredsløb. Ofte vil en simpel klemsko, å la et krokodillenæb, være tilfredsstillende, hvis opstillingen ikke skal bruges i længere tid.

Det der afgør hvorvidt een måde at forbinde de enkelte elementer, skal bruges, fremfor en anden, bestemmes af en lang række faktorer, der alle sigter på at etablere optimale betingelser for ledning af strømmen.

- Holdbarhed i forhold til det omgivende miljø.
- Holdbarhed i forhold til de elektriske belastninger.
- Ensartethed af de elektriske egenskaber fra gang til gang.

Disse faktorers betydning fra situation til situation, kan sammenfattes i et enkelt ord:

Reproduktionssikkerhed.

Hvilket vil sige, at valget af en bestemt metode, til syvende og sidst vil afhænge af hvilken af metoderne der giver det mest ensartede resultat fra gang til gang.

I forhold til halvledere, viser erfaringen, at pådampning af eller sammensmelting med metal i iltfri omgivelser, giver de mest pålidelige forbindelser. Herved kan man opnå en god ohm'sk kontakt, hvilket er af stor vigtighed.

Med det materiel vi har haft til rådighed, er valget faldet på pådampning af guld.

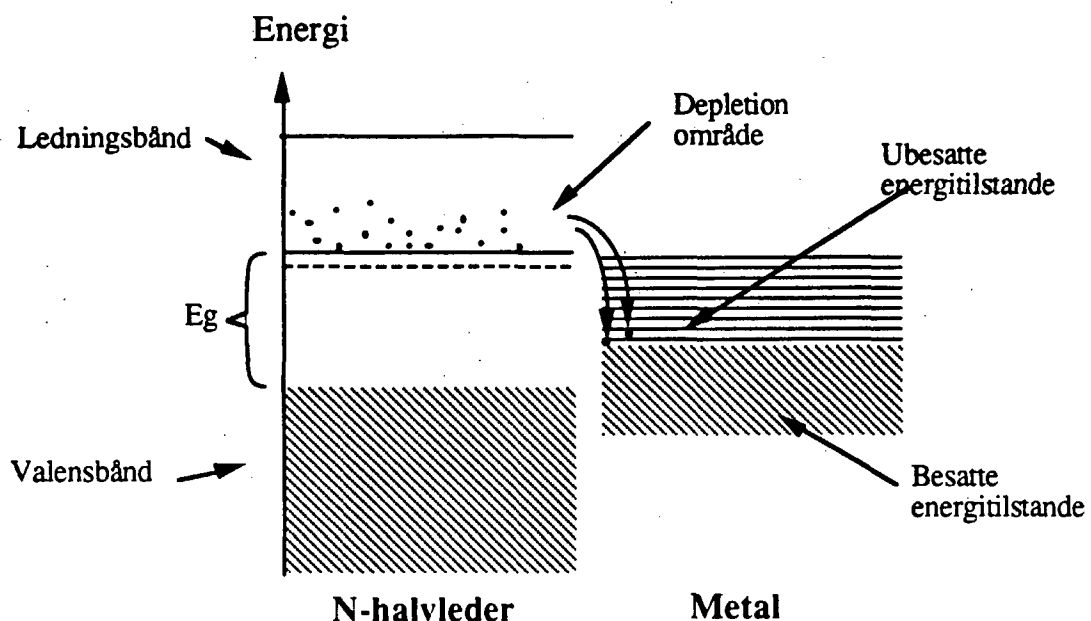
Ved at bruge guld, er oxidation og de problemer der følger hermed, i praksis ikke eksisterende, både under selve pådampningen og ved senere omgang med prøven i almindelig atmosfærisk luft.

Halvledere og halvleder-metal junctions

Samtidig viser erfaringen at guld generelt hæfter godt på silicium. Det er således sjældent at se dårlig elektrisk kontakt som følge af dårlig vedhæftning. Se afsnit 5.2.

2.1.2 Guld/silicium-overgang

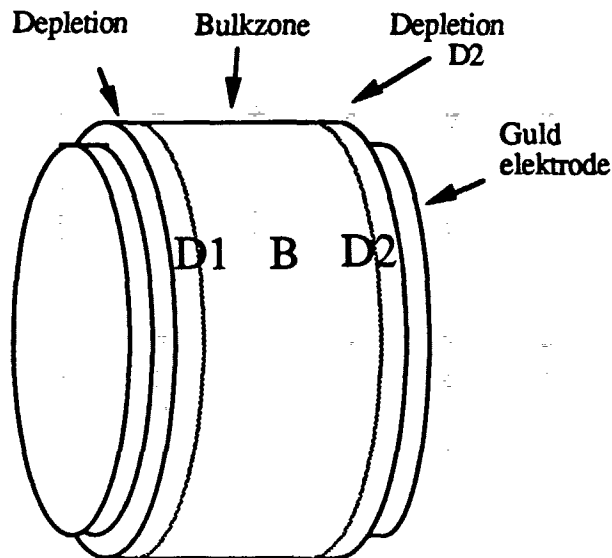
Hvert stof, både metaller og halvledere, har sin egen fordeling af energibånd (jvf. kap.1). Det er ret afgørende for målinger af en halvleders elektriske egenskaber, at man er klar over samspillet mellem elektrodens og halvlederen energibånd. Ved brug af guldelektroder på silicium-prøverne, vil energibåndene for en n-type silicium være placeret omrent som på fig. 2.1.2.a. Ledningsbåndet i halvlederen ligger højere end det halvtomme bånd i metallet (Guld).



Figur 2.1.2.a Elektronerne i halvlederen hopper over i lavere, ubesatte energiniveauer i metallet. Herved tømmes området nær metalelektroden (depletionområdet) for elektroner, så der ikke kan ledes nogen strøm. Ingen elektroner - ingen ladningstransport.

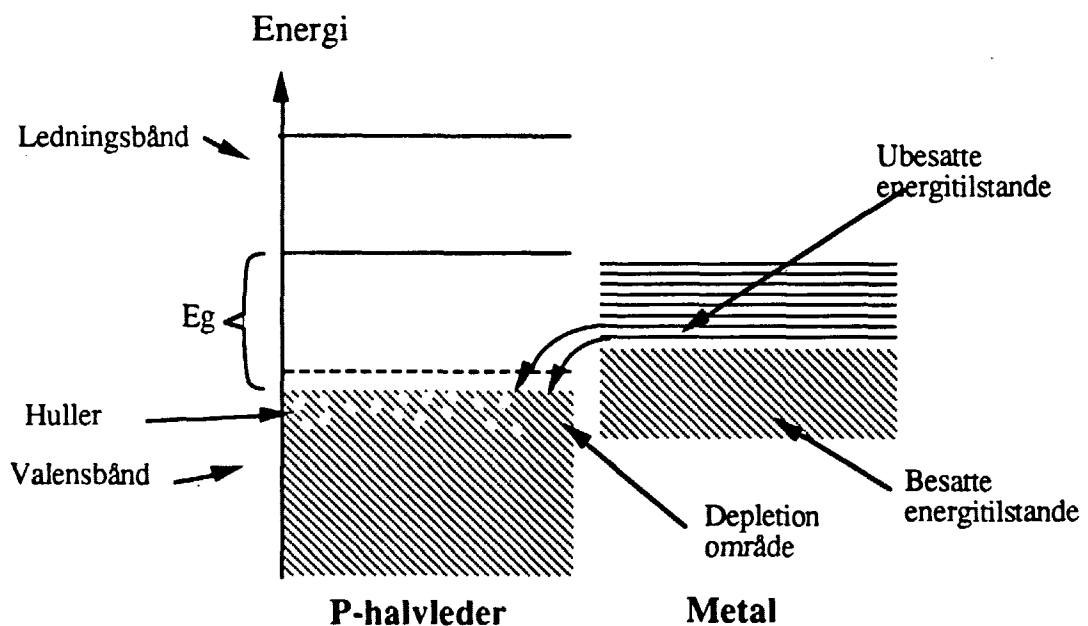
Når guldelektroder pådamps n-silicium, vil de frie elektroner, der befinder sig i halvlederen ledningsbånd, "hoppe ned" i metallets yderste bånd. Dette medfører, at områderne nær elektroderne (zone d1 og zone d2 i vores prøvemodel på fig.2.1.2.b) til en vis grad tømmes for frie elektroner, hvorved modstanden stiger. Disse områder med øget modstand betegnes depletion-områderne, mens det "uberørte" halvleder-område (zone b) kaldes bulk-zonen. (Depletion = udtømning. Bulk = hovedparten af materialet.)

Halvledere og halvleder-metal junctions



Figur 2.1.2.b En halvlederprøve, med elektroder påsat i hver ende (de vil i praksis være langt tyndere end angivet på tegningen). Zone d1 og d2 vil være langt mindre i udstrækning end bulkzonen.

I en p-type silicium vil valensbåndet ligge lavere end guldets halvtomme energibånd. De frie elektroner i metallet kan nu hoppe over i halvlederen, for der at fyde flere og flere huller ud. Herved vil der igen være et formindsket antal ladningsbærer (huller) i zone d1 og zone d2.

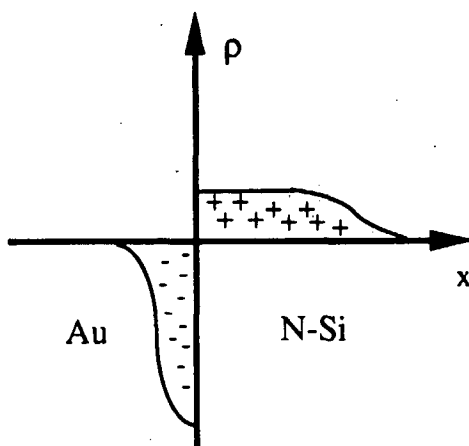


Figur 2.1.2.c Elektronerne i metallet hopper ned i de få frie pladser i halvlederen valensbånd, så der ikke er flere huller i depletionområdet. Ingen huller - ingen ladningstransport !

2.2. Beregning af depletionlagets tykkelse.

Nu skulle man tro at halvlederen med tiden vil tømmes helt for ladningsbærere. Dette er imidlertid ikke tilfældet, idet der vil indtræde en ligevægtssituation, når man sætter guld på silicium

I en n-type silicium vandrer elektroner ud i metallet, og skaber herved en ladningsforskydning med et deraf følgende elektrisk felt (E). Herved opstår der en potentielforskelle (V), som vist på fig 2.2.a. Forskellen i potentielle (V) vil give de frie elektroner i guldet en ekstra potentiel energi svarende til $\epsilon_{pot} = e \cdot V$. På et givent tidspunkt vil elektronerne have en så stor energi, at de er i stand til at hoppe tilbage i halvlederen. Ladningsudtømningen vil nu stoppe, og ligevægtssituationen indtræder.



Figur 2.2.a Ladningsforskydningen i en Au/n-Si-overgang.

2.2.1 Kemisk potentiale.

Hvornår ligevægten skabes, kan bestemmes ved at betragte materialernes kemiske potentiiale. Kemisk potentiale kan opfattes som udtryk for, hvor meget energi en ekstra partikel (den $n+1$ ste) skal besidde for at blive tilført et givet system ved en given temperatur.

Når man regner med kemiske potentialer, bruger man næsten udelukkende forskelle i kemiske potentialer. Således kan man definere et vilkårligt nulpunkt for sine beregninger.

De kemiske potentialer vi bruger, er tabelværdier, der er angivet i forhold til det kemiske potentiale i intrinsic siliciums valensbånd, ved 0 kelvin.

Hvis man ønsker, at tilføre et metal en ekstra elektron, må elektronen nødvendigvis have en energi svarende til det sidste besatte energieniveau i metallets øverste bånd - kun her eksisterer der ledige "elektronpladser". Energien af sidste elektron i metallets yderste bånd, er derfor et direkte udtryk for det kemiske potentiale.

Halvledere og halvleder-metal junctions

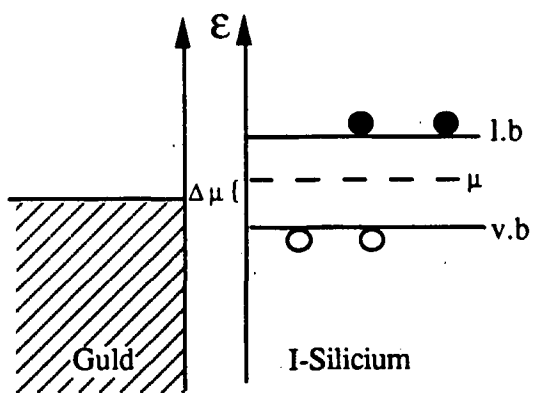
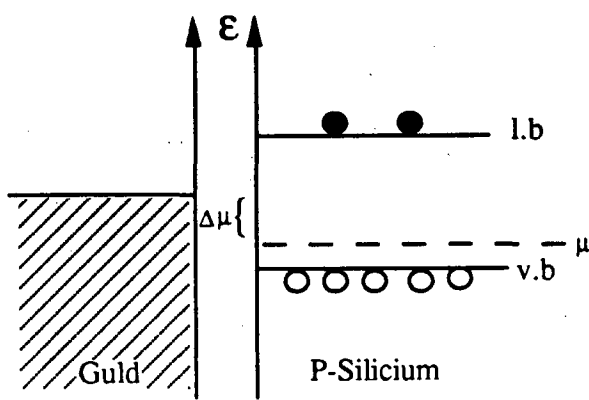
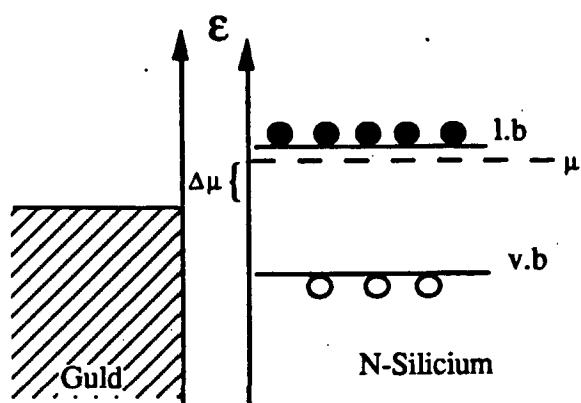
Når en intrinsic halvleder skal have tilført en ekstra ladningsbærer (den n+1'ste), må denne nødvendigvis skabes v.h.a. eksitation af elektroner fra valensbåndet og op i ledningsbåndet. Podede man stoffet, ville dette ikke længere være intrinsic !! Når elektroner eksiters fra valensbånd til ledningsbånd, dannes der i realiteten to ladningsbærere der hver kan opfattes som partikler - en elektron og et hul. Energien af den n+1'ste partikel er derfor gennemsnittet af hullets og elektronens energi, hvilket bevirker, at det kemiske potentiale placeres midt imellem lednings- og valensbåndet (kilde 14 s.35). Når valensbåndet i silicium benyttes som referencepunkt (Evalensb.= 0 eV) vil intrinsic silicium have en μ -værdi givet ved halvdelen af energigabets størrelse :

$$\mu = \frac{E_g}{2} = \frac{1,12 \text{ eV}}{2} = 0,56 \text{ eV}$$

I en n-halvleder kan der skaffes en ekstra ladningsbærer ved enten at dope med atomer fra 5. hovedgruppe eller ved at eksitere elektroner fra valensbåndet. Ved lave temperaturer er eksitation fra valensbåndet forholdsvis ubetydelig (se kap.3.2.) og energien af den tilførte partikel må derfor svare til energien af donoratomets "ekstra elektron" - dvs. energien af donorbåndet. Da afstanden mellem siliciums donor- og ledningsbånd kun er ca. 0.007 eV, tillader man sig at betragte ledningsbåndets energiniveau, som et mål for det kemiske potentiale ved 0 K.

I p-Si forholder det sig lige modsat. Her vil det kemiske potentiale - ved lave temperaturer - svare til energien i valensbåndet .

Halvledere og halvleder-metal junctions



Figur 2.2.1.a Kemisk potentielle i n-, p- og i-silicium, sammenholdt med det kemiske potentielle i guld.

Halvledere og halvleder-metal junctions

Når elektroner vandrer fra n-silicium til guld, er det udtryk for at der er en energigevinst ved at gøre det. Denne strøm af elektroner vil resultere i dannelsen af et elektrisk felt, der virker modsat den kemiske potentiale forskel. Når den energi der vindes ved at vandre fra silicium til guld, $\Delta\mu$, er lig den energi, $e \cdot V$, der tabes ved at passere "op gennem" det elektriske felt, standser udtømningen. I dette tilfælde vil det elektrokemiske potentielle være ens i guld og silicium, selv om det "rene" kemiske potentielle stadigt er forskelligt. Forskellen ligger i at det elektrokemiske potentielle er en sum af $\Delta\mu$ og den potentielle energi det elektriske felt tilfører elektronen. Ligevægten indtræder derfor når $V \cdot e = \Delta\mu$.

Det elektrokemiske potentielle er defineret ved: $\Phi = \Delta\mu + e \cdot V$.

2.2.2 Generelt om beregning af ρ , E og V .

Ved ligevægt får man et statisk billede af ladningsfordelingen i halvleder og metal. (Se evt. fig.2.2.a) Denne faste fordeling af ladninger gør det muligt, at opstille et udtryk for sammenhængen mellem depletionlagets tykkelse og koncentrationen af podning-atomer i bulk. For at opstille et sådan udtryk, kan man tage udgangspunkt i Maxwells 1. ligning. Selve regnearbejdet er søgt forsimplet ved at antage, at der eksistere en brat overgang mellem metal- og depletion-område (se fig.2.2.3.a). For uddybning af denne antagelse henvises til kap.3.1.

I Maxwells 1. ligning beskrives sammenhængen mellem ladningsdensiteten (ρ) og det elektriske felt (E)

Maxwells 1. ligning :

$$\operatorname{div} \vec{E}(\vec{r},t) = \frac{\rho}{\epsilon_0 \epsilon_r} \quad [2.2.2.a]$$

hvor	ρ	:	ladningskonc. [C/m^3]
	div^*	:	$\delta/\delta x + \delta/\delta y + \delta/\delta z$
	E	:	$E(r,t)$ [V/m]
	$\epsilon_0 \cdot \epsilon_r$:	dielektricitetskonstanten [F/m]

Som det ses, kan E opfattes som en vektor med koordinaterne (r,t) . Men da ladningsfordelingen er tidsuafhængig i ligevægtstilstanden, kan t udelukkes. Derudover betragter vi kun prøverne i en dimension - nemlig x -retningen. Dette indebærer, at E kun skal differentieres i forhold til x .

* $\operatorname{div} E$ udtrykker ændringen i det elektriske felt E i tre dimensioner. (x, y og z).

Halvledere og halvleder-metal junctions

Poisson-ligningen:

$$\frac{dE(x)}{dx} = \frac{\rho}{\epsilon_0 \epsilon_r} \quad [2.2.2.b]$$

Denne tidsuafhængige udgave af Maxwells 1. ligning kaldes også "Poisson ligningen". Ved hjælp af Gauss teorem, kan man integrere ladningskoncentrationen, og derved få et udtryk for det elektriske felt E:

$$E = \int \frac{\rho dx}{\epsilon_0 \epsilon_r} \quad [2.2.2.c]$$

Potentialet (V) kan samtidig findes som minus integralet til E:

$$V = - \int E dx \quad [2.2.2.d]$$

Hvis en partikel med en elementarladning (e) indsættes i det elektriske felt E, vil den blive påvirket af en elektrisk kraft givet ved $F = e \cdot E$. Analogt vil en elementarparkel i potentialet V besidde den potentielle energi $\epsilon_{pot} = e \cdot V$.

Lad os nu kigge nærmere på en silicium/guld- overgang m.h.t. ρ , E og V.

2.2.3 Beskrivelse af ρ , E og V i en silicium/guld-overgang

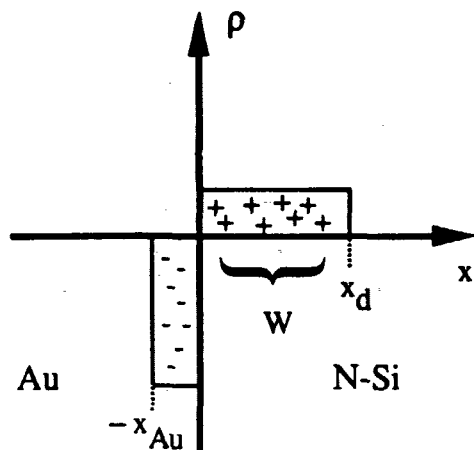
I en metal/halvleder-overgang vil ladningskoncentrationen(ρ) være givet ved:

$$\begin{array}{lcl} \rho = (p - n + N_d - N_a) / e & p & : \text{konc. af frie huller} \\ \uparrow & n & : \text{konc. af frie elektroner} \\ \rho = n_{tot} / e & N_d & : \text{konc. af ioniserede donoratomer} \\ & N_a & : \text{konc. af ioniserede acceptoratomer} \\ & n_{tot} & : \text{total konc. af ladninger} \\ & & (p-n+N_d-N_a) \end{array}$$

I n-Si vil en guldpåsætning straks bevirke, at donoratomerne ioniseres - deres ekstra elektron hopper over i metallet. Følgelig sker der en ophobning af elektroner på metalsiden og en

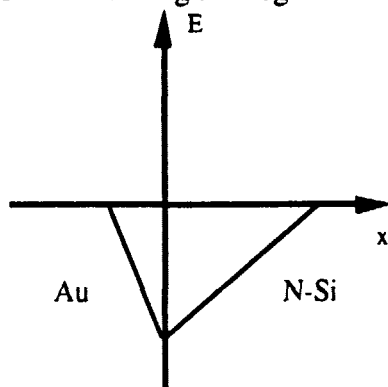
Halvledere og halvleder-metal junctions

ophobning af positivt ladede donor-ioner på halvledersiden. I de følgende beregninger antages, at ladningsbærende fordele sig homogent i hele depletion-området. Dvs. $\rho_{dep} = \text{konstant}$.



Figur 2.2.3.a. Simuleret ladningsfordeling i en Au/n-Si- overgang. Depletion-områdets bredde er givet ved $0 \leq x \leq x_d$ og betegnes w (width).

Ved at integrere den ovenstående fordeling af ladningskonz. fås det elektriske felt E . Fig 2.2.d viser den grafiske fremstilling af integralet.



Figur 2.2.3.b Det elektriske felt i Au/n-Si-området.

Rent matematisk vil vi kun udregne integralet for halvledersiden, da det er dette, der senere får betydning. For $-x_{Au} \leq x \leq x_d$ gælder det at :

$$E = \int \frac{\rho}{\epsilon_0 \epsilon_r} dx$$

$$E = \frac{\rho x}{\epsilon_0 \epsilon_r} + k \quad [2.2.3.a]$$

Halvledere og halvleder-metal junctions

Når den arbitrære konstant skal bestemmes, kan man udnytte, at for $x=x_d$ vil E have værdien 0:

$$0 = \frac{\rho}{\epsilon_0 \epsilon_r} x_d + k$$



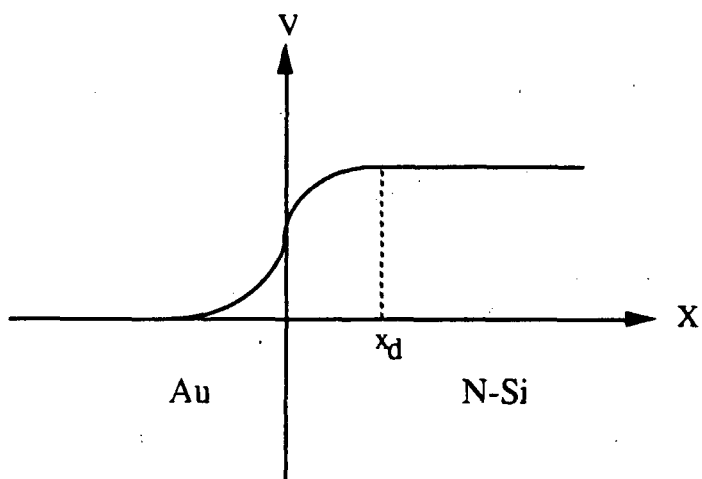
$$k = - \frac{\rho}{\epsilon_0 \epsilon_r} x_d$$

k indsættes nu i formel 2.2.3.a og E findes:

[2.2.3.b]

$$E = \frac{\rho x}{\epsilon_0 \epsilon_r} - \frac{\rho x_d}{\epsilon_0 \epsilon_r} = \frac{\rho(x - x_d)}{\epsilon_0 \epsilon_r} = \frac{e n_{\text{total}}}{\epsilon_0 \epsilon_r} (x - W)$$

Potentialet findes ved endnu en integration. Den grafiske fremstilling fremgår af fig.2.2.3.c



Figur 2.2.3.c Potentialet i Au/n-Si-overgangen.

Halvledere og halvleder-metal junctions

Udregning af integralet:

$$V = - \int E dx$$



$$V = - \int \frac{|e| n_{\text{total}} x}{\epsilon_0 \epsilon_r} dx + \int \frac{|e| n_{\text{total}} x_d}{\epsilon_0 \epsilon_r} dx$$



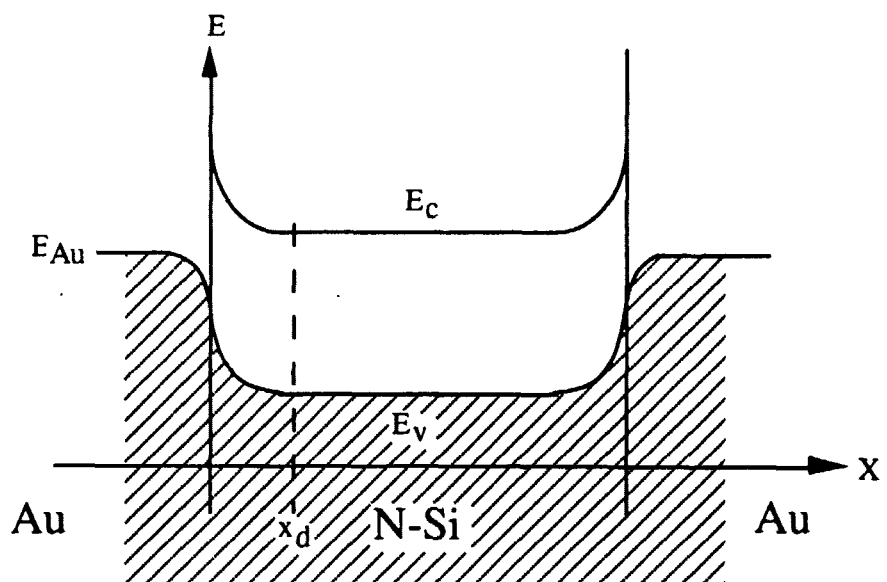
$$V = \frac{|e| n_{\text{total}} 1/2 x^2}{\epsilon_0 \epsilon_r} + \frac{|e| n_{\text{total}} x_d x}{\epsilon_0 \epsilon_r} + C$$



$$V = \frac{|e| n_{\text{total}} (-1/2 x^2 + x_d x)}{\epsilon_0 \epsilon_r} + C$$

[2.2.3.c]

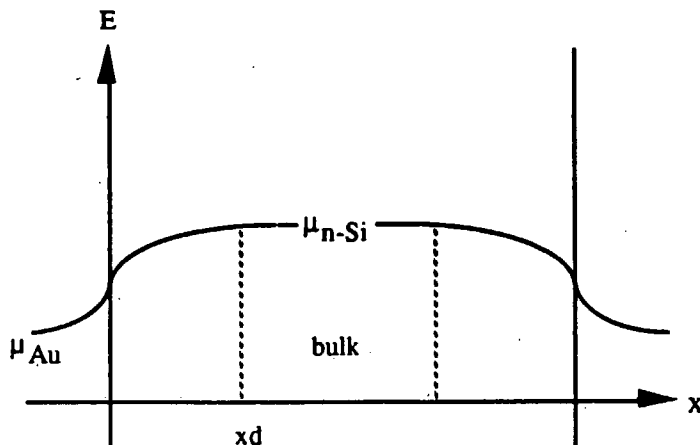
Potentialet ses at blive afbøjet omkring metal/halvleder-området. Hvis en elektron gennemløber prøven i x-aksens retning, vil dens potentielle energi ændres på samme måde som potentialet i prøven. Efter Au/Si-sammenføring skal de enkelte energiniveauer i henholdsvis guld og silicium justeres med den nu fremkomne ekstra potentielle energi $e \cdot V$. For en n-type silicium vil dette betyde en sænkning af valens- og lednings-bånd. Se fig. 2.2.3.d.



Figur 2.2.3.d Energibåndfordelingen efter sammenføring af guld og n-Si

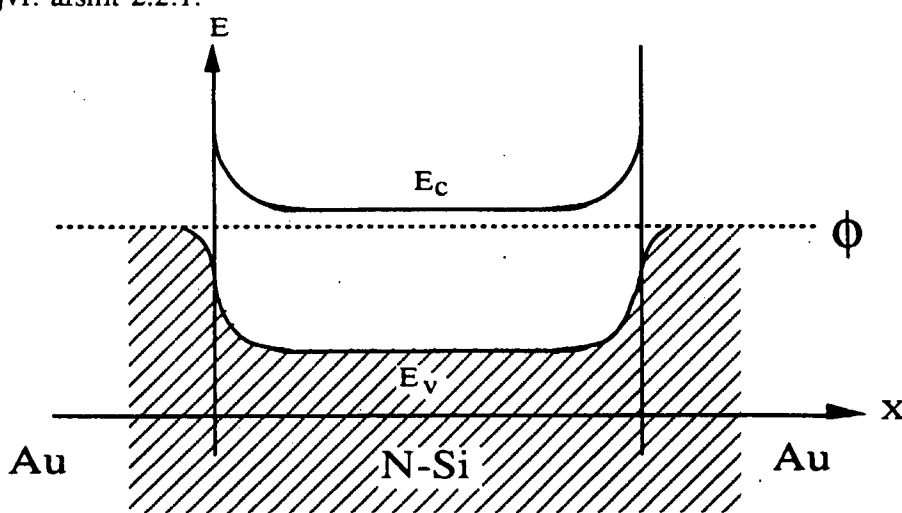
Halvledere og halvleder-metal junctions

Ved sammenføring af guld og n-Si vil det kemiske potentiiale ændres. Når der i n-typens depletion-område fjernes elektroner, vil det kemiske potentiiale falde (Det kræver nu mindre energi at tilføre den $n+1$ 'ste partikel) Derimod vil μ i metallets overflade stige en smule, da der her er blevet indsat ekstra elektroner. I bulk vil μ forblive upåvirket.



Figur 2.2.3.e Kemisk potentiiale i n-Si efter sammenføring med guld - hvis der intet indre felt virkede i prøven.

Men også μ skal justeres p.g.a den ekstra potentielle energi $e \cdot V$. Herved får man et udtryk, det elektrokemisk potentiiale (ϕ), ($\phi = \mu + e \cdot V$) Fig.2.2.3.f viser den reelle placering af energibånd samt elektrokemiske potentiiale ved Au/n-Si-overgang. Bemærk at ϕ er den samme gennem hele prøven , og at størrelsen af ϕ er identisk med guldets yderste energiniveau. Hvis ϕ varierer gennem prøven, er ligevægt endnu ikke indtrådt - jvf. afsnit 2.2.1.



Figur 2.2.3.f Den reelle placering af energibånd, samt elektrokemisk potentiale ved Au - n-silicium - junction.

Halvledere og halvleder-metal junctions

For at undersøge størrelsen af potentialet i depletion-området, må vi integrere E over intervallet $0 \leq x \leq x_d$. Samtidig kan vi benytte at: $\Delta\mu/e = V$:

$$V = \int_0^{x_d} E dx = \left[\frac{e n_{\text{total}}}{\epsilon_0 \epsilon_r} \left(\frac{1}{2} x^2 + x_d x \right) + C \right]_0^{x_d}$$

↑

$$V = \frac{e n_{\text{total}}}{\epsilon_0 \epsilon_r} \left(-\frac{1}{2} x_d^2 + x_d x_d + C - C \right)$$

↑

$$\frac{\Delta\mu}{e} = \frac{e n_{\text{total}}}{\epsilon_0 \epsilon_r} \left(\frac{1}{2} x_d^2 \right)$$

↑

$$\Delta\mu = \frac{e^2 n_{\text{total}} W^2}{2 \epsilon_0 \epsilon_r}$$

[2.2.3.d]

Depletionlagets tykkelse kan nu udledes:

$$W^2 = \frac{2 \epsilon_0 \epsilon_r \Delta\mu}{e^2 n_{\text{total}}}$$

Ved lave temperaturer ($T < 250\text{K}$) antager man, at der næsten ingen intrinsic elektroner eksisterer i depletion-området og at alle podnings-atomer er ioniserede. Da det samtidig gælder, at depletionzonen er næsten fuldstændig tømt for frie elektroner, må depletionområdets ladningsdensitet (n_{tot}) udelukkende afhænge af densiteten af donor- og acceptor-atomer ($N_d - N_a$). Hvis man ydermere antager, at $(N_d - N_a)$ i depletion-området svarer til $(N_d - N_a)$ i bulk, kan man opstille den søgte sammenhæng mellem depletionzonens bredde og antallet af dopingatomer i bulk:

$$W^2 = \frac{2 \epsilon_0 \epsilon_r \Delta\mu}{|e|^2 (N_d - N_a)} \quad [2.2.3.e]$$

Tykkelsen af depletionlaget kan beregnes ud fra vores forsøgsdata (se afsnit 4.1) og konstanten $\epsilon_0 \epsilon_r$ er givet ved tabelværdien for siliciums dielektricitetskonstant. Det skal vise sig, at forskellen mellem guld og siliciums kemisk potentielle $\Delta\mu(\text{Au-Si})$ er temperaturafhængig.

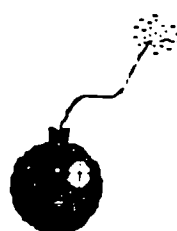
Halvledere og halvleder-metal junctions

Men når sammenhængen mellem temperatur og $\Delta\mu$ først er fundet, vil det være muligt at bestemme $N_d - N_a$ som:

$$N_d - N_a = \frac{\Delta\mu(Au - Si) 2 \epsilon_0 \epsilon_r}{W^2 le^2} \quad [2.2.3.f]$$

Med kendskab til koncentrationen af donoratomer i bulk kan ledningsevnen og derefter den specifikke modstand udledes.

I dette afsnit er en n-halvleder blevet brugt som gennemgående eksempel. I en p-halvleder vil graferne for ρ , E og V blot være det omvendte af de fundne grafer for en n-halvleder. Den opstillede formel for W kan gøres gældende for en p-halvleder ved blot at indsætte $(N_a - N_d)$ i stedet for $(N_d - N_a)$.



Kapitel 3

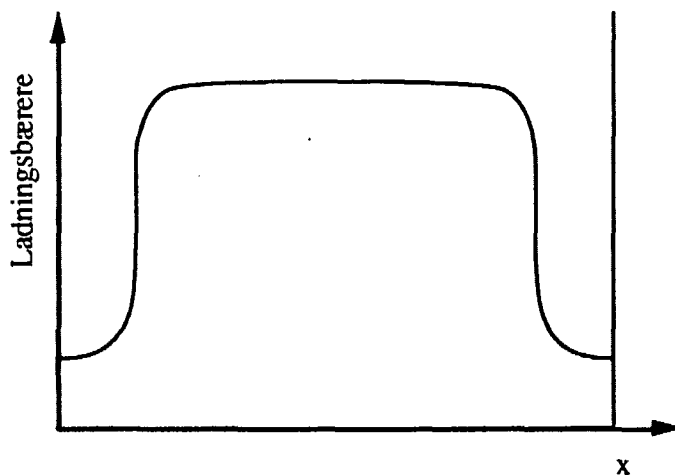
I dette kapitlel vil vi forklare, hvordan man kan ækvivalere en siliciumprøve med et elektrisk kredsløb, bestående af modstande og kondensatorer. Bagefter, i afsnit 3.2, kommer en redegørelse for hvordan vi forventer, at de enkelte kredsløbskomponenenter vil afhænge af temperaturen.

3.1. Hatmodellen

Målet er at lave en model, hvormed vi kan tage højde for overflade-effekterne, så det er muligt at bestemme den indre specifikke modstand (Bulk-resistiviteten).

Som det fremgik af forrige afsnit, vil metal-halvleder-kontakten frembringe en inhomogen fordeling af frie ladningsbærere i krystallen. Hvis der er tale om en n-type, vil der i dette tilfælde ske en udtømning af ledningsbåndet for elektroner nær sammenføjningen.

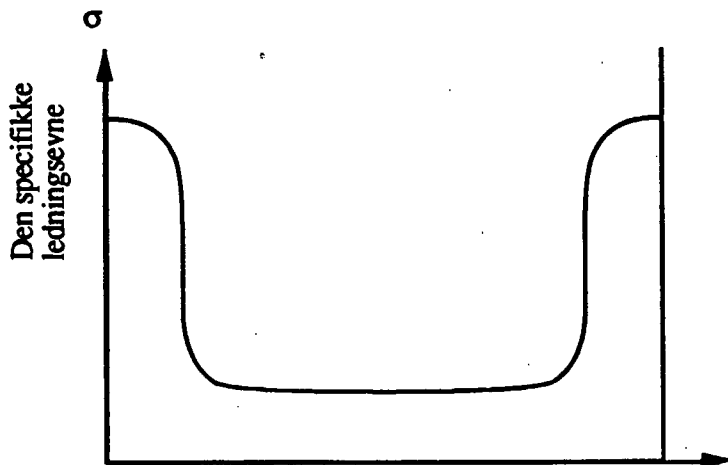
Elektronerne vil bevæge sig over i guldet. Hvis der er tale om en p-type vil der forekomme en udtømning af positive huller i valensbåndet nær sammenføjningen. Husk at gulds kemiiske potentielle ligger mellem energiniveauerne i valensbåndet og ledningsbåndet.. Det at der hopper elektroner fra guld-laget ned i silicium-krystallens ledningsbånd, vil svare til at der hopper huller ind i guld-laget. I begge tilfælde vil sammenføjningen medføre, at der forkommer færre frie ladningsbærere, og dermed større specifik modstand (resistivitet) i krystallens overflade.



Figur 3.1.a Fordelingen af frie ladningsbærere igennem cylinderen.

Hatmodellen

Den inhomogene ladningsfordeling resulterer i, at resistiviteten ikke er ens over hele prøven.
 $R=1/(n\lambda J_{el})$

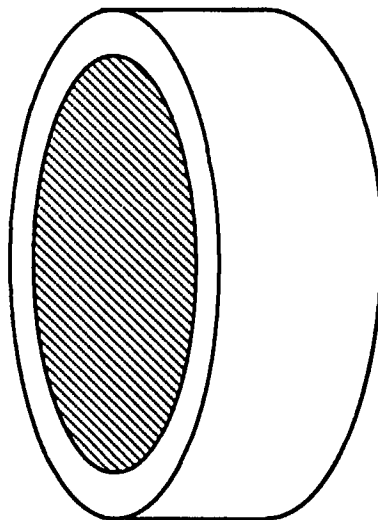


Figur 3.1.b Den specifikke modstand i prøven..

Hvis man forsøgte at måle modstanden i prøven ved jævnstrømsmåling, ville man måle modstanden over såvel bulk som depletion. Det er ikke muligt ved hjælp af jævnstrømsmåling at bestemme den indre modstand (bulkresistiviteten).

Vi skal nu se hvordan man ved ac-måling kan få flere informationer om materialet.

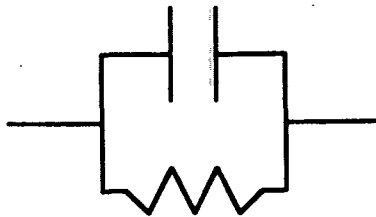
3.1.1 Modellering ved hjælp af elektriske kredsløb.



Figur 3.1.1.a Prøven med pådampet guldelektrode.

Hatmodellen

Ihukom prøvens udseende. Den ligner i mistænkelig grad en kondensator (se appendix A). Vi har to metalplader over for hinanden, med et dielektrikum imellem. Det er godt nok et temmelig dårligt dielektrikum, idet silicium jo har en ledningsevne. En kondensator med en indre modstand kan ækvivaleres med en parallelforbindelse bestående af en ideel kondensator og en ideel modstand.



Figur 3.1.1.b Parallel RC-forbindelse, i det følgende er den ofte betegnet som et RC-led.

C-værdien i det idealiserede parallelkoblede RC-led vil udelukkende afhænge af dielektricitetestkonstanten og geometrien i den kondensator det ækvivalerer. Den vil ikke være afhængig af dielektrikummets modstand.

Man skulle formode, at man ved at måle impedansen (Z) som funktion af vinkelhastigheden (ω), ville få en afbildung svarende til impedanskurven for et RC-led*. Men det at resistiviteten i overfladen er anderledes end i bulk-zonen, gør faktisk situationen lidt mere kompliceret. For at komme videre i dette her, vil vi endnu engang gøre den antagelse, at de frie ladningsbærere fordeler sig homogent i depletion-zonen, såvel som i bulk-zonen, og at der sker en brat overgang fra bulk til depletion. Vi går altså ud fra, at den geometriske ladningsfordeling ser ud som på figur 3.1.1.c.

* I appendix B kan du læse om kompleks-symbolsk metode, regning med impedanser og alt det lir.

Hatmodellen

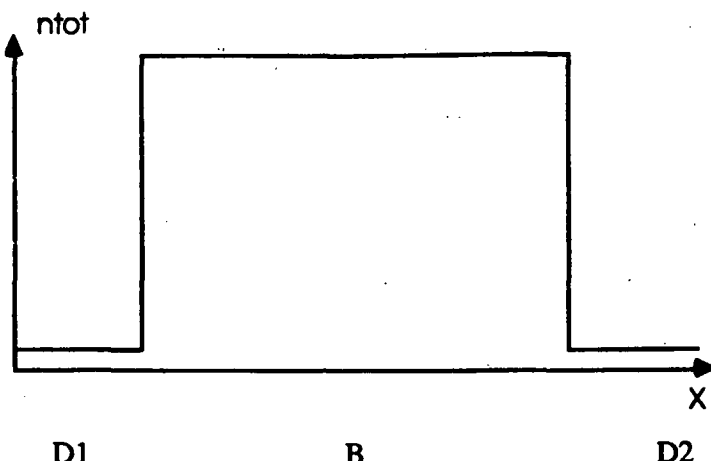
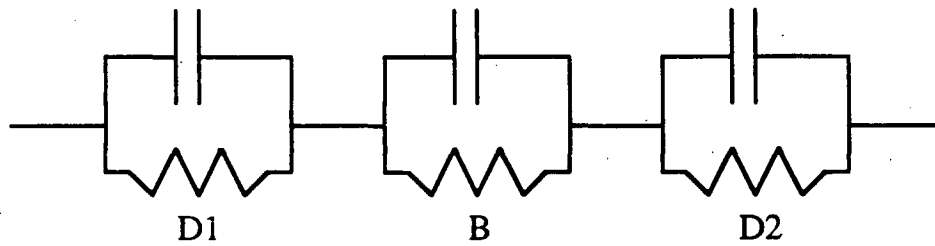


Fig.3.1.1.c n_{tot} er ladningsdensiteten, x -aksen er et snit på langs gennem prøven, og l er prøvens udstrækning. Kurven har form som en høj. Derfor kalder vi den for hatmodellen.

Vi kan strengt taget ikke underbygge denne påstand, men lader det stå som en hypotese, som kan vurderes iforhold til vores måleresultater. Vi påstår nu, at prøven kan ækvivaleres med 3 led, bestående af parallelle modstande og kondensatorer.



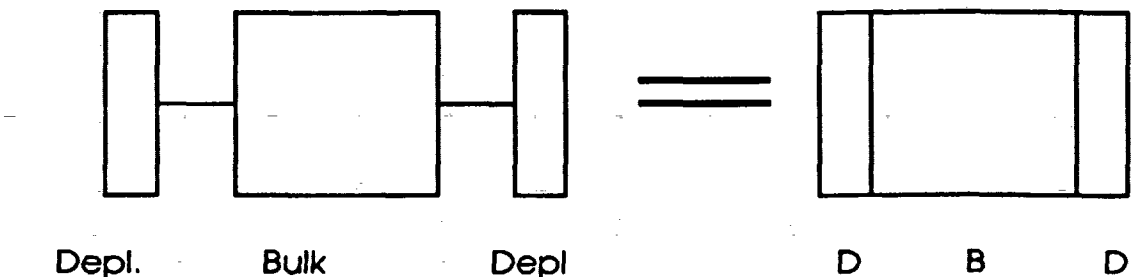
Figur 3.1.1.d Prøven kan ækvivaleres med tre RC-led. D1 og D2 repræsenterer depletionzonen, og B repræsenterer bulk-zonen.

Da ladningsbærerne i hele prøven ikke er homogent fordelt, må prøven deles op i flere områder, som hver for sig har en homogen ladningsfordeling og dermed en "homogen resistivitet". I vores modellering forudsætter vi at ladningsfordelingen er statisk. Vi forestiller os som tankeeksperiment, at vi kan skære prøven over i overgangen fra bulk til depletion. Vi har altså 3 klodser: En klods med lille specifik modstand : bulk-zonen, og to klodser med større specifik modstand : depletionzonerne.

Modstanden i bulkzonen vil være givet ved $R_b = d_b / (\sigma_b A)$, og resistansen i en depletionklods vil være givet ved $R_d = d_d (\sigma_d A)$, hvor σ er den specifikke ledningsevne, d er længden og A er tværsnitsarealet af klodserne.

Ved at forsyne klodserne med supraledende materiale i enden, og dernæst forbinde dem med supraledende ledninger, får vi en situation svarende til prøven.

Hatmodellen



Figur 3.1.1.e Vi betragter prøven som 3 adskilte klodser med forskellige materiale- egenskaber. Klodserne kan kun vekselvirke elektrisk.

Kapacitansen i bulkzonen er givet ved følgende :

$$C_b = \epsilon_0 \epsilon_r \frac{A}{d_b} \quad [3.1.1.a]$$

og kapacitansen i hver af depletion-zonerne er givet ved

$$C_{d1} = \epsilon_0 \epsilon_r \frac{A}{W} \quad [3.1.1.b]$$

Den samlede geometriske kapacitans forbliver den samme:

$$\frac{1}{C_{\text{serie}}} = \frac{2}{C_{d1}} + \frac{1}{C_b} = \left(\frac{2W}{A\epsilon_0 \epsilon_r} + \frac{d_b}{A\epsilon_0 \epsilon_r} \right) = \frac{d_{\text{samlet}}}{A\epsilon_0 \epsilon_r} = \frac{1}{C_{\text{samlet}}}$$

$$\Rightarrow C_{\text{serie}} = C_{\text{samlet}} \quad [3.1.1.c]$$

Kapacitansen i serie-forbindelsen af klodserne er den samme som kapacitansen i den oprindelige prøve. Vi har altså ikke ændret på kapacitansen i prøven ved at skære den i skiver.

3.1.2 Forsimpling af modellen.

Da det er muligt at reducere den tre-leddede model, til en tilsvarende model med kun to led, gør vi dette, da det herved bliver væsentligt lettere at overskue udregningerne.

Hatmodellen

Vi har at :

$$Z = \frac{1}{\frac{1}{R_{d1}} + j\omega C_{d1}} + \frac{1}{\frac{1}{R_b} + j\omega C_b} + \frac{1}{\frac{1}{R_{d2}} + j\omega C_{d2}} \quad [3.2.1.a]$$

Hvor første og sidste led angiver impedansen i depletionlaget, og det midterste led angiver bulk-impedansen.

$$\text{Da } C_{d1} = C_{d2} \quad \text{og} \quad R_{d1} = R_{d2}$$

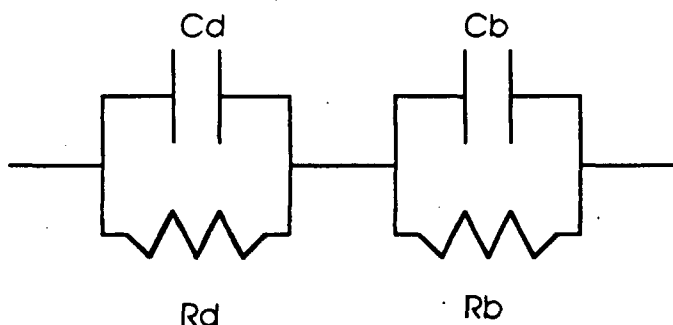
kan [3.1.d] omskrives til:

$$Z = \frac{2}{\frac{1}{R_{d1}} + j\omega C_{d1}} + \frac{1}{\frac{1}{R_b} + j\omega C_b} \quad [3.2.1.b]$$

Som igen kan omformes til :

$$Z = \frac{1}{\frac{1}{2R_{d1}} + \frac{j\omega C_{d1}}{2}} + \frac{1}{\frac{1}{R_b} + j\omega C_b} \quad [3.2.1.c]$$

Rent grafisk tager den forsimplede model sig således ud:



Figur 3.1.2.a Nu har vi forsimplet modellen til to led.

Hatmodellen

Det første led i formlen (3.2.1.c) repræsenterer det første led i modellen :

$$R_{d1} = R_d/2, \text{ og } C_{d1} = 2C_d.$$

De fire modelparametre R_d, R_b, C_d og C_b er mulige at bestemme ved hjælp af impedansspektroskopi. De indeholder informationer om ladningsdensitet og ladningsfordeling i prøverne. Inden vi går igang, skal vi lige se på temperaturafhængigheden af disse parametre.

3.2. Temperaturafhængighed

Ved at undersøge prøvernes frekvensafhængige respons, kan R - og C -værdierne i det ækvivalente RC-kredsloeb således findes. For at kunne fortolke disse værdier entydigt, er det dog nødvendigt at foretage impedansspektroskopi ved forskellige temperaturer. I det følgende vil vi gennemgå, hvorledes henholdsvis depletion-zonens og bulk-zonens kapacitans og modstand afhænger af temperaturen. Da vores forsøg blev foretaget i intervallet 80 - 300 K, vil der blive fokuseret på delkomponenternes egenskaber i dette temperaturområde.

Kapacitancer.

Som tidligere behandlet i afsnit 2.5. afhænger depletionlagets tykkelse af forskellen i guld og siliciums kemiiske potentiale:

$$W^2 = \frac{2 \epsilon_0 \epsilon_r \Delta\mu(\text{Au-Si})}{4\pi^2 (N_d - N_a)} \quad [3.2.a]$$

Det kemiiske potiale for guld (μ_{Au}) vil stort set forblive uændret ved temperatursvingninger. Derimod vil siliciums kemiiske potiale være temperaturbestemt.

N-type silicium: Ved lave temperaturer ($T < 100$ K) vil det kemiiske potiale (μ_n) ligge lige under ledningsbåndet (ca. 0.1 eV under ledningsbåndet). Men ved temperaturer over ca. 100K vil den tilførte termiske energi nu være så stor, at der eksiteres relativt mange elektroner fra valensbåndet og op i ledningsbåndet. Herved sænkes det kemiiske potiale.

Ved en given temperatur vil antallet af eksiterede elektroner være så stort, at n-halvlederens kemiiske potiale er sænket til det kemiiske potiale i intrinsic silicium (se fig. 3.2.a).

Bemærk, at $\mu_n(T)$ aldrig vil ligge lavere end μ_i .

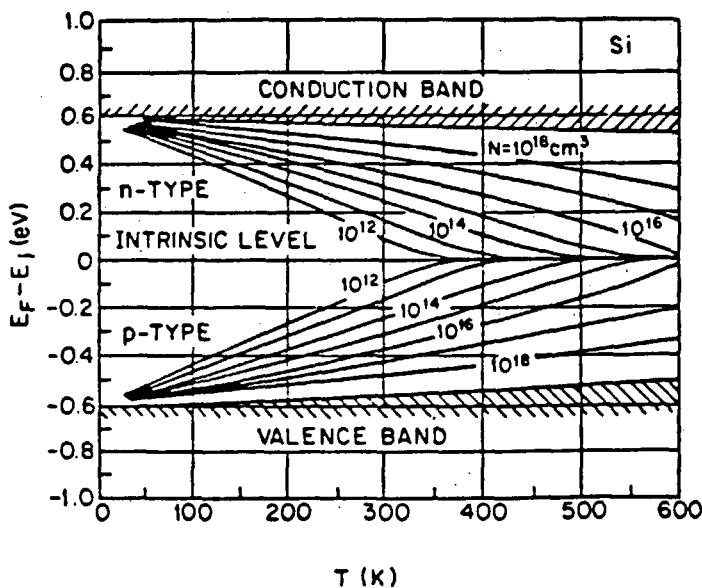
Hatmodellen

Når det kemiske potentielle skal udtrykkes som funktion af temperaturen, beskriver man ofte ændringen i forhold til grundniveaet μ_i :

$$\mu_n = \mu_i + kT \cdot \ln \left\{ y \sqrt{1 + \frac{1}{y^2}} \right\}$$

$$Y = \frac{N_d - N_a}{2 n_i} \quad [3.2.b]$$

P-type silicium: I en p-type silicium vil eksitation af elektroner fra valensbåndet til ledningsbåndet bevirket, at det kemiske potentielle (μ_p) hæves. Også her gælder det, at μ_p ved temperaturstigning nærmer sig det kemiske potentielle for intrinsic silicium.



Figur 3.2.a Ændring i forskelligt podede n- og p-typers kemiske potentiiale som funktion af temperaturen.

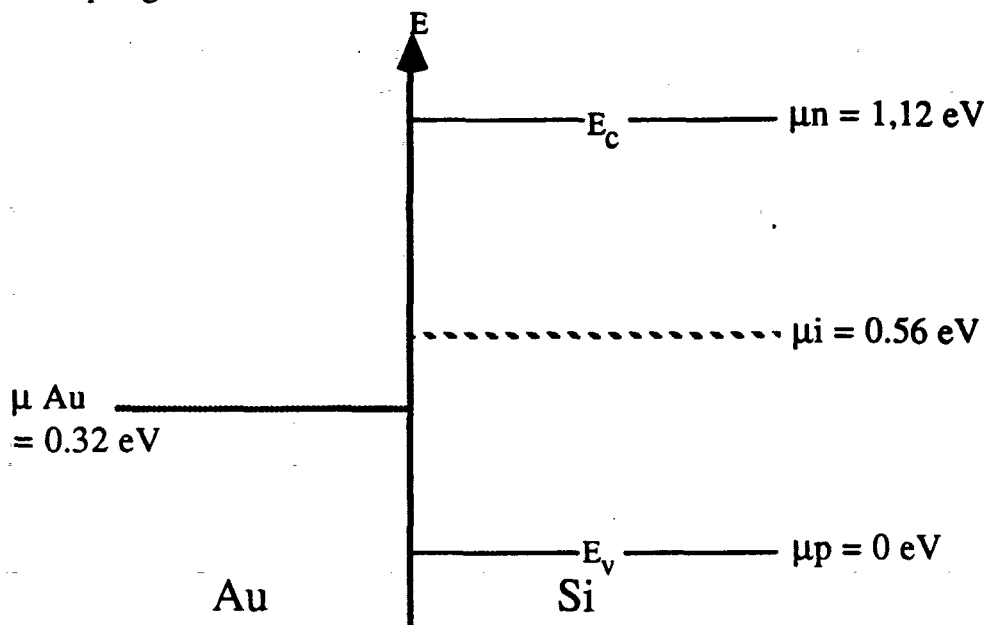
For en p-type fås sammenhængen:

$$\mu_p = \mu_i + kT \cdot \ln \left(y \sqrt{1 + \frac{1}{y^2}} \right),$$

$$y = \frac{N_a - N_d}{2 n_i} \quad [3.2.c]$$

Hatmodellen

Au/Si - overgang: I vores prøver vil de kemiske potensialer i guld og silicium relativt være placeret som på figur 3.2.b.



Figur 3.2.b. Relativ placering af kemiske potensialer i guld og silicium ved 0K. For at skabe et fælles reference-niveau er energi-værdierne her relateret til valensbåndet i silicium.

Betrugter vi en Au/Si_n - overgang, kan det konkluderes, at $\Delta\mu$ (Au - Si_n) vil falde, når temperaturen stiger (100K ->) Gulds kemiske potensiale er konstant, mens n-typens kemiske potensiale falder. Når det kemiske potensiale har nået grundniveauet μ_i , må man forvente en konstant $\Delta\mu$ givet ved $\Delta\mu(Au - Si_i)$. Faldet i kemisk potensiale vil medføre en formindskelse af depletionlagets tykkelse (jvf. formel 3.2.a), hvilket igen vil medføre en tilsvarende forøgelse af C_d ($C_d = \epsilon_0 \epsilon_r \cdot A / W$). Ved $\mu_n = \mu_i$ bør man få en konstant bredde af depletion-zonen, og dermed en konstant C_d -værdi.

I en Au/Si_p-overgang vil $\Delta\mu$ ligeledes aftage med temperaturen, og derved forårsage en stigning i depletionlagets kapacitans. Dog vil μ_p ved en given temperatur være identisk med μ_{au} . Herved eksistere der ingen forskel i kemisk potensiale og depletion vil ophøre!! Stiger det kemiske potensiale i p-halvlederen så meget, at det nu ligger over det kemiske potensiale for guld, kan der ingen depletion registreres. Dette skyldes, at elektroner nu vil være i stand til at vandre fra p-halvlederen og ud i guldet. Denne proces skaber en forøgelse af ladningsbærer (huller) i p-halvlederens overflade, hvilket blot opfattes som en udvidelse af elektroden. Halvlederens overflade har nu fået en ledningsevne svarende næsten til metallets. For en p-type må det konkluderes, at C_d stiger med temperaturen, for så pludselig at forsvinde ($\mu_{Au} = \mu_p$).

Hatmodellen

Om grænsetilfældene $\mu_p = \mu_{Au}$ og $\mu_n = \mu_i$ vil nå at indtræde i vores måleområde, kan afgøres v.h.a. lidt regnearbejde. Hvis prøvernes n_{tot} - værdier kendes, kan man beregne placeringen af henholdsvis μ_n og μ_p ved 300K. Ved 300 K har man beregnet, at $n_i = 1,45 \cdot 10^{16} \cdot m^{-3} = 1,45 \cdot 10^{10} cm^{-3}$, og man kan derfor udvide formel 3.2.b og formel 3.2.c:

$$\mu_{n/p} = \mu_i \pm kT \cdot \ln \left\{ y \sqrt{1 + \frac{1}{y^2}} \right\} \quad Y = \frac{|N_d - N_a|}{2 n_i}$$

$$\mu_{n/p} = 0,56 \pm 8,617 \cdot 10^{-5} \cdot 300 \ln \left\{ \frac{|N_d - N_a|}{2 \cdot 1,45 \cdot 10^{10}} \sqrt{1 + \frac{(2 \cdot 1,45 \cdot 10^{10})^2}{|N_d - N_a|^2}} \right\}$$

Hvor: k : Boltzmanns konstant = $8,617 \cdot 10^{-5} eV/K$

Fra senere udregninger ved vi faktisk, at $(N_d - N_a)$ vil ligge i området $10^{18} m^{-3} = 10^{12} cm^{-3}$. En tilnærmet, gennemsnitlig værdi af μ_n og μ_p ved 300 K kan derfor bestemmes. For en mere præcis udregning, må man have de eksakte værdier af $(N_d - N_a)$.

$$\mu_{n/p} = 0,56 \pm 8,617 \cdot 10^{-5} \cdot 300 \cdot \ln \left\{ \frac{10^{12}}{2 \cdot 1,45 \cdot 10^{10}} \sqrt{1 + \frac{(2 \cdot 1,45)^2}{10^{24}}} \right\}$$

$$\mu_{n/p} = 0,56 \pm 0,0915 eV$$

$$\mu_n \approx 0,65 eV \quad (\mu_i = 0,56 eV)$$

og

$$\mu_p \approx 0,47 eV \quad (\mu_{Au} = 0,32 eV)$$

OBS: I disse beregninger er størrelserne af μ_n , μ_p og μ_i relateret til det øverste energiniveau i siliciums valensbånd.

Ud fra denne beregning ses, at μ_n teoretisk set ikke har nået μ_i -værdien ved 300 K. I forsøget skal vi derfor ikke forvente en konstant C_d i n-typer. Derimod har μ_p oversteget det kemiske potentiale i guld, hvorved vi bør tagge en pludseligt "uddødende" C_d i p-typer.

Hatmodellen

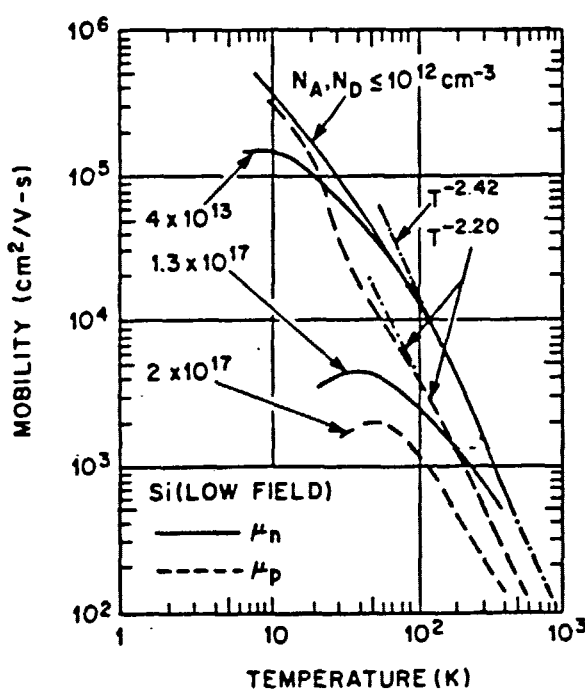
Selvom depletionlagets tykkelse ændres, har dette meget ringe indflydelse på tykkelsen af selve bulk-zonen. Depletionlagets tykkelse ligger i området 10^{-5} m. mens selve prøven har en bredde på ca. $2,2 \cdot 10^{-3}$ m. Ud fra dette størrelsesforhold, er det forsvarligt at antage, at bredden - og dermed også kapacitansen - af bulk er konstant ved alle temperaturer. Af størrelsesforholdet kan det samtidig ses, at C_d må være betydeligt større end C_b - jo større bredde, desto lavere kapacitans.

Modstandsværdier.

Modstandsværdierne i prøven er givet ved:

$$R = \frac{d}{\sigma \cdot A} = \frac{d}{n_{n+p} \ln \lambda A} \quad [3.2.d]$$

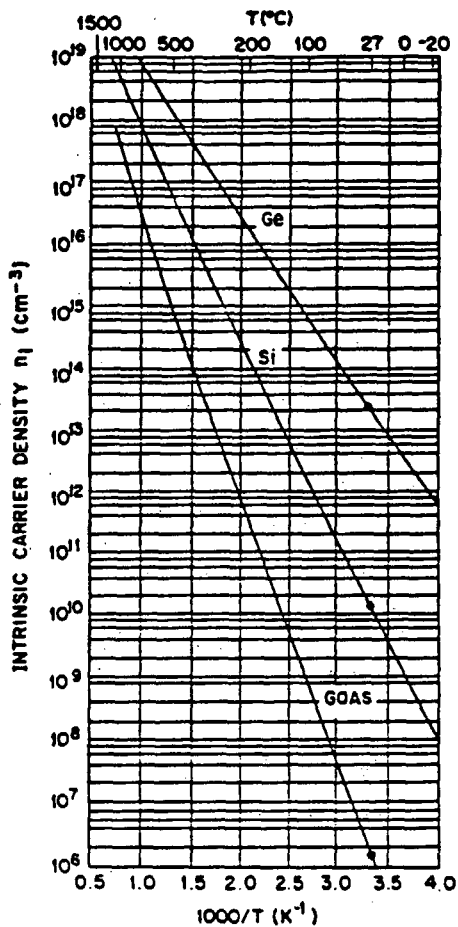
I bulk-zonen varierer længden af området som sagt ikke med temperaturen. Når bulkmodstanden R_b alligevel er temperaturafhængig, skyldes det ændringer i mobilitet (λ) og ladningsbærerdensitet (n_{n+p}). Ved temperaturstigning vil de termiske bevægelser i gitteret besværliggøre elektronernes vandring igennem materialet. Herved forringes elektronernes mobilitet. Fig.3.2.c illustrerer hvorledes temperaturen indvirker på mobiliteten i forskelligt dopet silicium.



Figur 3.2.c Mobilitetens temperaturafhængighed i forskelligt dopet Si. $N_a, N_d \leq 10^{12} \text{ cm}^{-3}$ er her den interessante kurve.

Hatmodellen

Samtidig med at mobiliteten falder, vil antallet af frie elektroner stige med temperaturen. Jo højere temperatur, desto flere elektroner eksiteres op i ledningsbåndet, hvorved ledningsevnen øges.



Figur 3.2.d. Antallet af intrinsic atomer i Si som funktion af temperaturen.

I vores tilfælde, hvor $|N_d - N_a| = 10^{18} m^{-3}$, må vi dog konstatere, at n_i ingen relativ indflydelse har på antallet af frie ladningsbærer. Selv ved 300K udgør n_i kun 1% af det samlede antal ladningsbærer ($n_i = 1,45 \cdot 10^{16} m^{-3}$). Først ved temperaturer omkring 370K vil n_i medføre en væsentlig ladningsbærer-forøgelse ($n_i \approx |N_d - N_a| \approx 10^{18} m^{-3}$). Se fig.3.2.d.

Ud fra disse overvejelser må det konkluderes, at bulkzonens modstand falder med temperaturen (i temperatur-intervallet: 80 - 300K) - mobiliteten falder en faktor 10, mens antallet af ladningsbærere forbliver næsten konstant.

Depletionlagets tykkelse aftager derimod med temperaturen . Vi må derfor formode, at R_d falder, når temperaturen stiger.

Hatmodellen

Den specifikke modstand i bulk er langt mindre end den specifikke modstand i depletion-området (her er næsten ingen ladningsbærer) Bulk har derimod en væsentlig større udbredelse, hvilket gør det problematisk at udtales sig om størrelsесforholdet mellem R_b og R_d .

Efter denne gennemgang kan man nu opstille et skema over R- og C-værdiernes forventede karakteristika ved temperaturstigninger.

N-type / P-type	R_d	R_b	C_d	C_b
80 K ↓ 300 K	Faldende	Stigende	Stigende p-type: Bør bræt forsvinde.	Konstant



Kapitel 4

Dette lille kapitel , er en overgang fra teori til eksperiment i . Vi er nu kommet igennem den teori, der er nødvendig for at opstille en "strategi" for eksperimentet og den videre bearbejdning af måleresultaterne. I det følgende vil vi kort beskrive denne strategi.

Fra teori til eksperiment

I kapitel 2 viste vi hvordan koncentrationen af doping-atomer, N_{dop} , kan bestemmes ud fra kendskab til forskellige parametre, bl.a. bredden af depletionlaget, W .

I kapitel 3 opstillede vi en matematisk/elektrisk model - hatmodellen - for ladningsfordelingen af en silicium prøve med guldelektroder. Og vi forudså hvordan de forskellige modelementer, vil ændre sig med temperaturen.

Vi vil i kapitel 5 opstille et forsøg, der gør det muligt at sammenkæde model og virkelighed. Strategien for dette forsøg er som følgende:

1) Eksperiment

Vi vil måle impedansen af 6 Siliciumprøver, ved forskellige frekvenser og temperaturer.

2) Model tilpasning

Udfra forsøgsdata'erne vil vi finde størrelserne af de forskellige R og C værdier, der indgår i den matematiske model. Vi vil altså finde værdierne af R_d , R_b , C_d og C_b i modellen. For at bestemme disse værdier, benytter vi en "fitte-metode".

3) Fortolkning

Næste trin bliver at se, om de fundne værdier af R_d , R_b , C_d og C_b afhænger af temperaturen som vi ud fra vores teori, har forudsagt de skal gøre.

Fra teori til eksperiment

Vi vil derefter fortolke R og C værdierne på det mikroskopiske plan. Vi vil gennem kendskab til R og C værdierne, bestemme antallet af donorer og acceptorer. Mere specifikt vil vi gå ud fra sammenhængen:

$$N_{dop} = \frac{2 \epsilon_0 \epsilon_r \Delta\mu(\text{Au-Si})}{e^2 W^2} \quad [4.a]$$

Vi kender på forhånd ϵ_0 , ϵ_r og lel . Disse er konstante og givet ved tabelværdier. Vi mangler nu udtryk for hhv. $\Delta\mu(\text{Au-Si})$ og W .

Forskellen i de kemiiske potensialer, $\Delta\mu(\text{Au-Si})$ er forskellig for N- og P-type halvledere. Men vi kan på nuværende tidspunkt sige at, det ved lave temperaturer (omkring 80 K), gælder at:

$$\Delta\mu(\text{Au-Si}) \text{ for n-type} = 0.7 \text{ eV}^*$$

$$\Delta\mu(\text{Au-Si}) \text{ for p-type} = 0.2 \text{ eV}$$

Vi mangler nu at bestemme W , og denne kan vi bestemme ud fra kendskab til kapacitansen i depletionzonen. W er givet ved udtrykket:

$$W = \epsilon_0 \epsilon_r \frac{A}{2C_d} \quad C_d = \frac{1}{2} C_{d1} = \frac{1}{2} C_{d2} \quad [4.b]$$

Vi kan nu, ud fra vores fundne C_d (ved lav temperatur), bestemme tykkelsen af depletionlaget, W og herigennem ladningsbærerdensiteten N_{dop} , men kun hvis vi enten antager det er en n-type eller en p-type. Dvs. vi vil få to mulige resultater, ét med beregninger foretaget med $\Delta\mu(\text{Au-Si})$ for n-type og et med $\Delta\mu(\text{Au-Si})$ for p-type.

Disse to resultater, kan vi nu sammenligne med resultaterne fra en anden metode til udregning af ladningsbærerdensiteten.

Den anden metode, er baseret på kendskab til bulk resistansen R_b ved 300 K.

Det gælder at:

$$N_{dop} = \frac{1}{lel R_b \lambda} \frac{d}{A} \quad [4.c]$$

* Ved lave temperaturer er $n_{p+n} = N_{dop}$, idet de frie ladningsbærere kun stammer fra podningsatomerne.

hvor e er elektronens ladning, R_b er bulkresistansen fundet ved 300 K og λ er mobiliteten for ladningsbærerne. Eftersom ladningsbærerne i en n-type er elektroner og i en p-type er huller, vil også mobiliteten være afhængig af halvledertypen. Vi har at ved stuetemperatur (300 K) :

λ for elektroner (N-type)	= 0.14 m ² V ⁻¹ s ⁻¹
λ for huller (P-type)	= 0.048 m ² V ⁻¹ s ⁻¹

Hvis vi så foretager udregningerne af N_{dop} , med hhv. mobiliteten for huller og elektroner, vil vi igen have to værdier for ladningsdensiteten.

Resultaterne fra udregningerne baseret på kendskab til C_d , og resultaterne baseret på R_b , kan nu sammenlignes. Vi skulle så være i stand til at bestemme, om der er tale om n-type eller p-type, samt hvad ladningsbærerdensiteten N_{dop} måtte være.

4) Sammenligning af resultater:

Det skulle så være muligt at sammenligne vores resultater, med resultater fra andre målinger, foretaget med en optisk baseret metode (FTIR), som Topsil har fået udført.



Kapitel 5

I dette kapitel vil vi beskrive de data vi kender om prøverne. Hvordan vi har pådampet elektroderne til at skabe den elektriske kontakt, som er nødvendig for at måle på prøverne. Der vil blive beskrevet, hvordan vi har målt og hvordan måleopstillingen fungerer. Til sidst vil der være en oversigt over den forsøgsgang vi har fulgt.

5.1 Præsentation af prøverne.

De 6 silicium-prøver vi har målt på, har vi fået tilsendt fra firmaet Topsil. Silicium-prøverne er ultra rene én-krystaller. Dvs. at de uddover at være blevet renset meget grundigt ved produktionen, samtidigt også er (næsten) perfekte krystaller. Hver prøve er i principippet een regelmæssig krystal.

Da det er umuligt at fremstille helt rene én-krystaller, uden at der vil være enkelte fremmede atomer tilstede, er de 6 prøver vi måler på også n-og p-typer. Vi har fået at vide af Topsil, at 3 af prøverne er n-typer og de andre 3 p-type. I hver prøver er der præget et nummer, og vi har i vores beregninger været nødt til at antage, at denne uregelmæssighed ikke har nogen særlig betydning for halvlederens elektriske egenskaber.

De pådampede guldelektroder har samme diameter på alle prøverne.

Type	Præget nr	Diameter	Tykkelse	Guld diameter
n	1	9.90	2.30	9.00
n	94	9.85	2.30	9.00
n	11	9.85	2.25	9.00
p	19	9.70	2.20	9.00
p	26	9.90	2.25	9.00
p	92	9.80	2.25	9.00
		m^{-3}	m^{-3}	m^{-3}

Forsøgsbeskrivelse

5.2 Pådampning af elektroder.

Som tidligere beskrevet er der adskillige muligheder for etablering af pålidelig elektrisk kontakt mellem et halvledekrystal og det elektriske kredsløb det indgår i.

Vi valgte af rent praktiske årsager pådampningsmetoden.

Før pådampningen kan finde sted er rengøring af krystallet af yderste vigtighed for et godt resultat. Blot den mindste fedtfinger vil forhindre guldet i at hæfte på overfladen af krystallet.

Rengøringen foregik i fire omgange :

- Først blev emnerne renset i et rystebad af freon i fem min.
- Derefter poleredes de i ethanol med en gennemvædet blød klud.
- Derefter yderligere fem min. i freon-rystebad.
- Endelig kom de efter at have tørret, fem min i rystebad i demineraliseret vand.

Selve apparaturet til pådampningen af guld på krystallet, består af et vacuumkammer, hvori der er monteret en prøveholder, der samtidig fungerer som maske, og under denne en smelteigel .

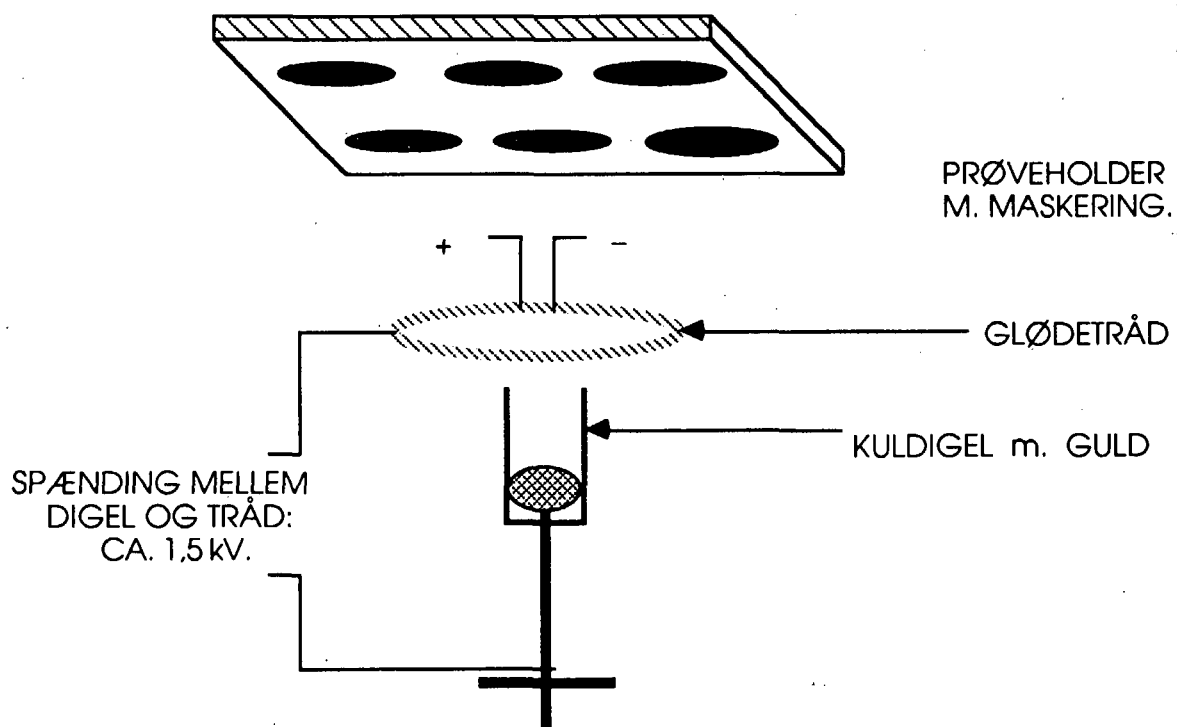
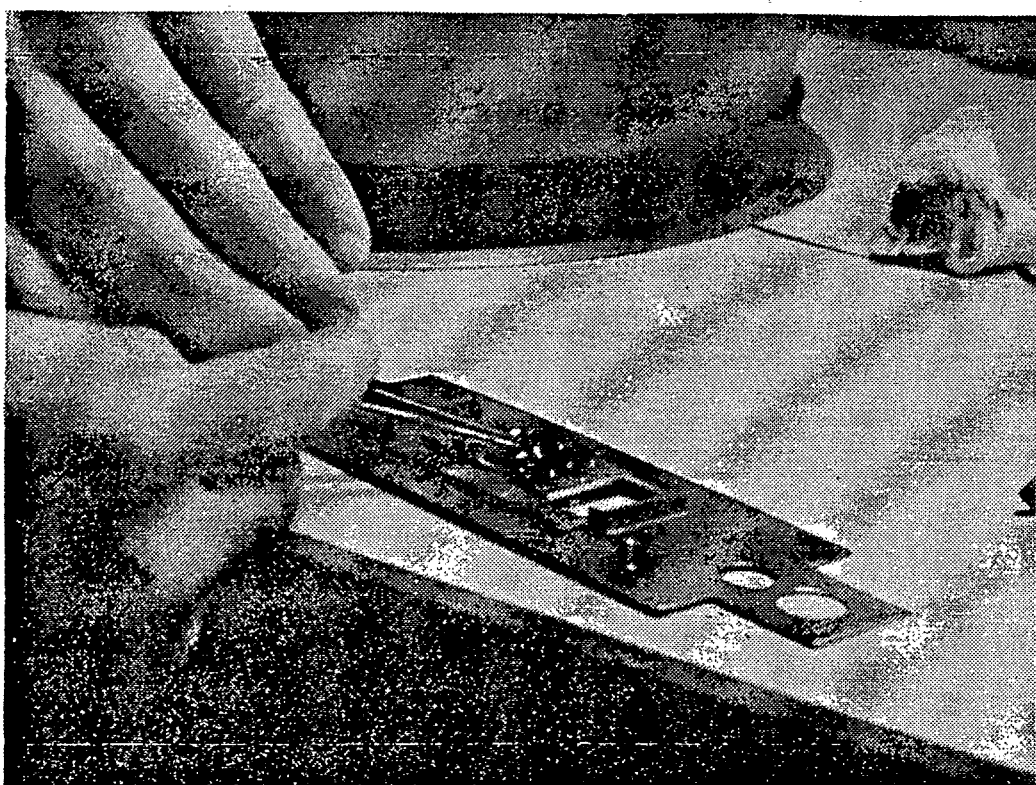


Fig. 5.2.a Pådampningsopstillingen.

Forsøgsbeskrivelse

Princippet er, at man efter evakueringen af kammeret, opvarmer diglen elektrisk til guldet smelter.

Selv opvarmningen af diglen, foregår ved at sende strøm gennem glødetråden, til denne er hvidglødende. Den vil da være omgivet af en sky af emmitede elektroner. Ved derefter at lægge en sekundær spænding mellem glødetråden og diglen, tvinges elektron-skyen til at danne en strøm fra glødetråden, gennem kulstofdiglen, der pga. sin relativt høje modstand, vil opvarmes.



Siliciumprøverne efter pådamping af guld. Prøverne er placeret i en "maske", hvis funktion er at sørge for, guldelektroderne bliver pådampet det rigtige sted.

På grund af det meget lave tryk (ca. 1×10^{-6} torr), vil den del af guldet der fordamper fra overfladen, i praksis uhindret brede sig ud i rummet som en dampstråle. Hver enkelt partikel vil ikke vil miste nævneværdig energi. Det betyder fortsat at guldet først vil afkøles i det øjeblik det får kontakt med et andet objekt, hvor det omgående kondenserer til en tynd film. Det er denne tynde film vi benytter som kontaktskaber mellem krystallet og målebroen.

Denne arbejdsgang medfører selvsagt visse antagelser.

- Den første antagelse er at guldfilmen hæfter over hele fladen.
- Den anden er at guldatomerne ikke er ladede idet de kondenserer på krystallet.
- Den tredie er at guldatomerne ikke går ind i krystallet, men lægger sig pænt på overfladen..
- Den fjerde er at guldlaget ikke yder nogle elektrisk modstand.

Forsøgsbeskrivelse

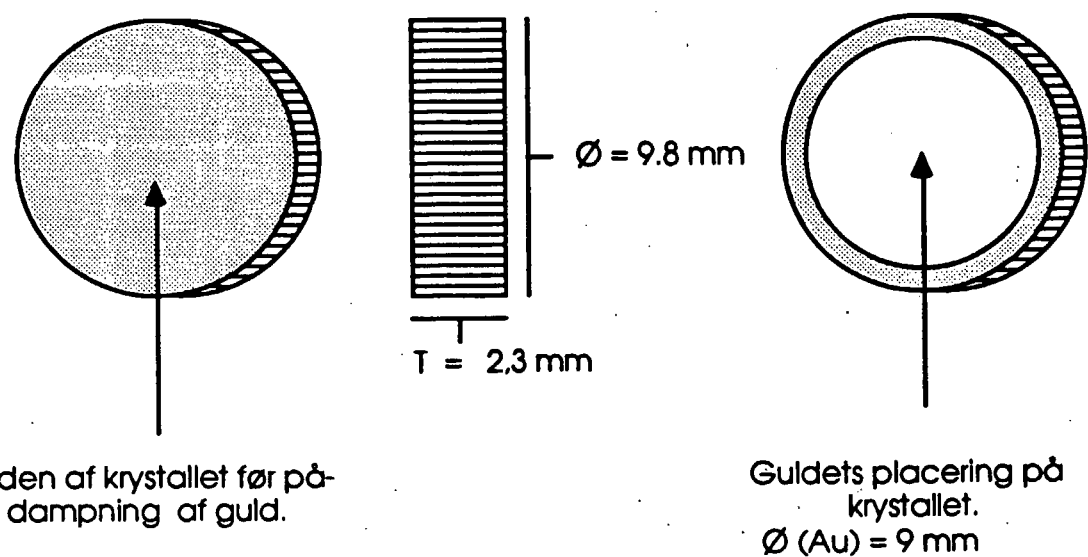


Fig. 5.2.b Krystallets og guldlagets dimensioner. (Se også afsnit 5.1)

5.3 Beskrivelse af måleopstillingen og dens virkemåde.

Måleopstilling.

Som vist på figur 5.3.a består måleopstillingen af følgende instrumenter:

HP-Impedance-Analyzer (HP'eren), Personal Computer (PC'eren), temperaturregulator samt kryostat. Følgende gennemgang af de enkelte instrumenter, vil kun være af kvalitativ art, udelukkende for at redegøre for principperne i opstillingen.

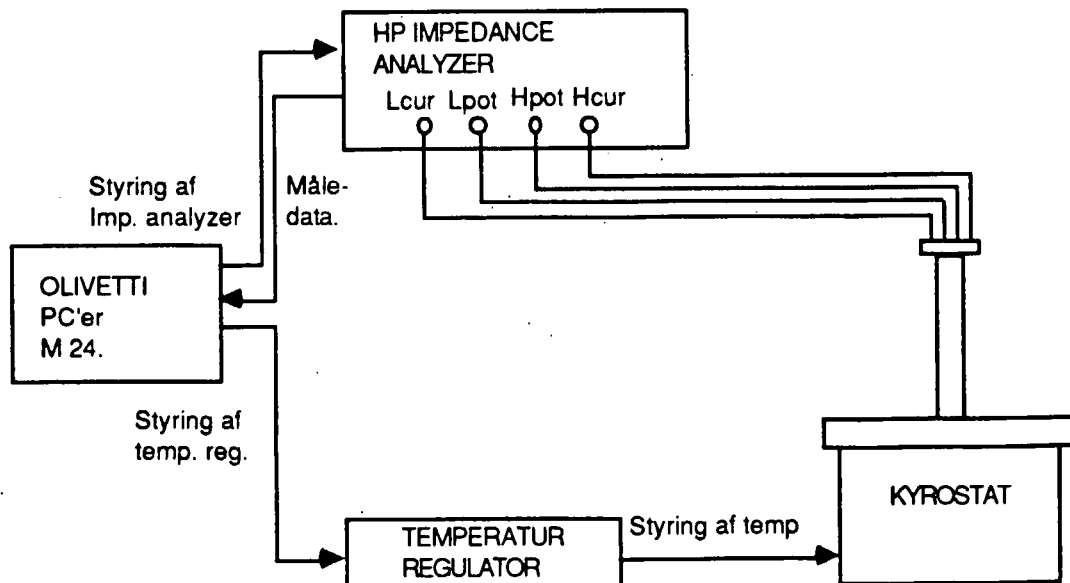


Fig. 5.3.a Måleopstilling.

Forsøgsbeskrivelse

HP'eren er kernen i opstillingen. Den foretager den egentlige måling af prøvens impedans ved en række frekvenser. HP'eren er indrettet som en avanceret målebro. I det følgende redegøres kort for principper i en målebro.

Vekselstrømsmålebro og impedansmåling.

Vekselstrømsmålebroen på tegningen på fig. 5.3.b er i principippet opbygget på samme måde som en almindelig Wheatstonebro. Blot er alle fire kredsløbselementer erstattet af fire komplekse impedanser Z_1-Z_4 .

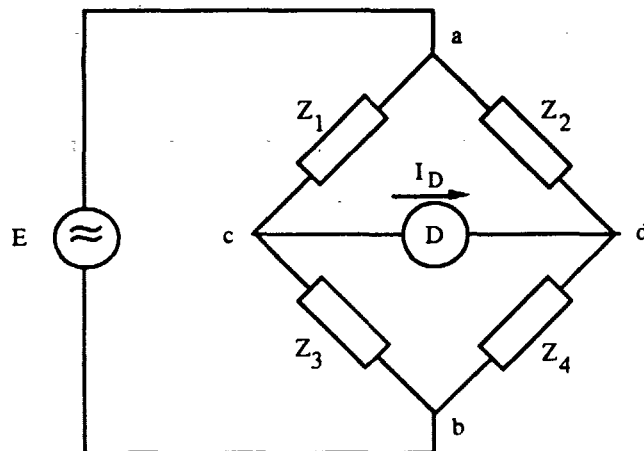


Fig. 5.3.b Impedansmålebro.

Ved indstilling af kredsløbselementerne kan man opnå ligevægt i målebroen, hvilket vil sige at detektorstrømmen I_D (fra pkt. c til d) er nul. I denne tilstand vil der være etableret bestemte bånd mellem de enkelte kredsløbselementer. Således er det muligt at bestemme værdierne for en enkelt impedans, udtrykt v.h.a. de tre andre. Ved ligevægt gælder at : $I_D=0 \Rightarrow U_{cd}=0$
Udtrykket for U_{cd} er givet ved :

$$U_{cd} = \frac{Z_3}{Z_1 + Z_3} \cdot E - \frac{Z_4}{Z_2 + Z_4} \cdot E = \frac{Z_2 Z_3 - Z_1 Z_4}{(Z_1 + Z_3)(Z_2 + Z_4)} \quad [5.3.a]$$

Forsøgsbeskrivelse

Hvis U_{cd} skal være nul, må det altså gælde at :

$$Z_2 Z_3 - Z_1 Z_4 = 0 \Leftrightarrow \frac{Z_1}{Z_2} = \frac{Z_3}{Z_4} \Leftrightarrow Z_1 = Z_2 \frac{Z_3}{Z_4} \quad [5.3.b]$$

Indsættes en ukendt impedans på eksempelvis Z_1 's plads, kan denne altså bestemmes, hvis de tre andre impedanser er kendte. Kredsløbet kan yderligere simplificeres ved at gøre Z_3 og Z_4 til reelle impedanser, dvs rent ohm'ske modstande $Z_3=R_3$ og $Z_4=R_4$.

Nu opnås følgende udtryk :

$$Z_1 = Z_2 \frac{Z_3}{Z_4} = Z_2 \frac{R_3}{R_4} \quad [5.3.c]$$

Den ubekendte impedans Z_1 vil nu have samme impedans, som Z_2 ganget med forholdet mellem de to modstande R_3 og R_4 .

HP'eren er som sagt blot en avanceret målebro, men den bygger på samme principper som beskrevet ovenfor. Istedet for at indstille de enkelte kredsløbselementer manuelt for at opnå ligevægt, gør HP'eren det automatisk.

På fig. 5.3.c ses måleprincippet som HP'eren benytter sig af. Det er en såkaldt fire-terminal-måling, hvilket medfører at der føres fire koaksialkabler helt frem til prøven.

Til venstre på tegningen sidder en sinusgenerator, der sender strøm gennem prøven (DUT=Device Under Test). Strømmen sendes gennem den ene inderleder (H_{cur}) til prøven, og videre gennem en anden inderleder (L_{cur}) tilbage til HP'eren. (cur=current). Såvel strømmens amplitude som fase måles af fintfølende elektronik, og sendes retur til sinusgeneratoren via yderlederne (strømpen) på de to kabler.

Det magnetiske felt der måtte blive induceret af strømmen i inderlederen, modvirkes derfor af en nøjagtig lige så stor modsat rettet strøm i yderlederen. Resultatet er at der undgås målefejl, som følge af selv- eller gensidig induktion mellem de enkelte testkabler.

De to potentielle-terminaler (H_{pot} , L_{pot}) detekterer spændingsfaldet over prøven (DUT).

Den elektronik der mäter dette spændingsfald, er så høj-impedanset, at der reelt ikke går nogen strøm i de to potentielle-måle-kabler (H_{pot} , L_{pot}).

Forkortelsen H refererer til det høje potentielle (H=high), der hvor strømmen drives fra, i forhold til det lave potentielle (L=low) hvor strømmen måles.

Forsøgsbeskrivelse

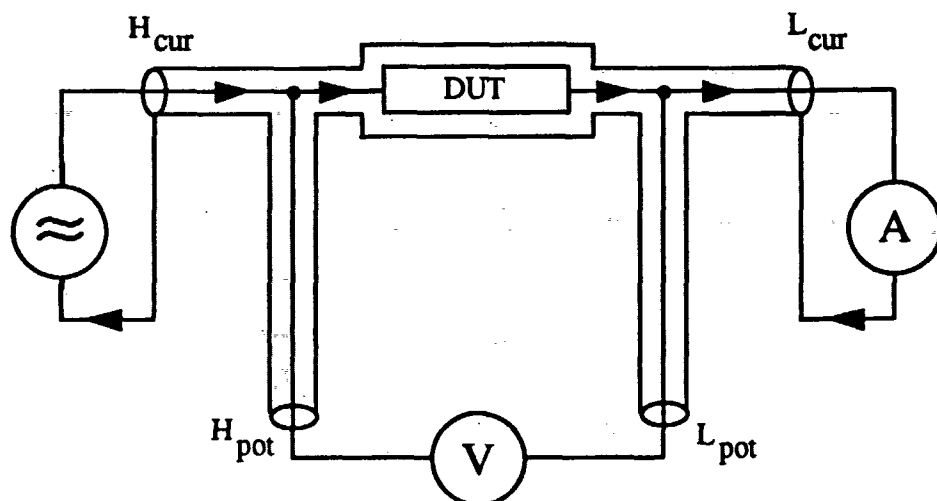


Fig. 5.3.c Princip for fire-terminal-måling.

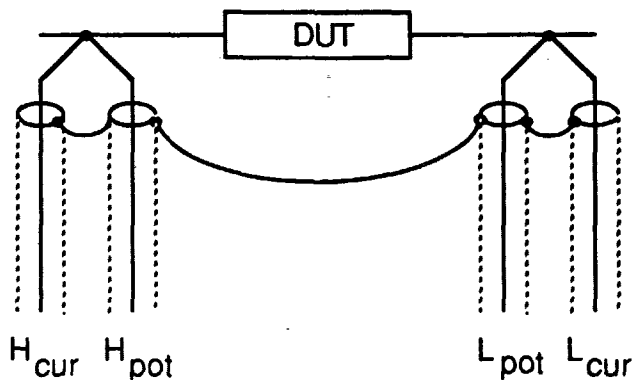


Fig. 5.3.d Tilledninger til prøven (DUT) ved fire-terminal-måling.

Når HP'eren ved en given frekvens har målt forholdet mellem målestrøm og målespændingsfald, udregner den forholdet mellem dem, hvilket er impedansen. Herefter ændres frekvensen med et givet logaritmisk spring (20 log-spring pr. decade), og der foretages en ny impedansmåling. Således fortsættes til hele frekvensområdet fra 10Hz til 13MHz er dækket ind. Alle relevante data sendes til PC'eren, som lagrer dem på en diskette.

Prøveholder.

På figur 5.3.e er det vist hvorledes prøveholderen er udformet, og hvordan de fire ledninger fra HP'eren er forbundet til prøven. Hver ledning er 1.00 m lange, idet HP'eren er indrettet til at kompensere for tab og faseforskydning af kabler med netop denne længde. Inderlederne af coaksialkablene er forbundet to og to sammen (Low og High) til to stykker lakisoleret kobbertråd, der er limet fast til messinghovedet. I trådenes anden ende er to guldfjedre

Forsøgsbeskrivelse

fastloddet. Imellem disse fjedre sættes vores prøver i spænd, så de sidder fast under målingerne.

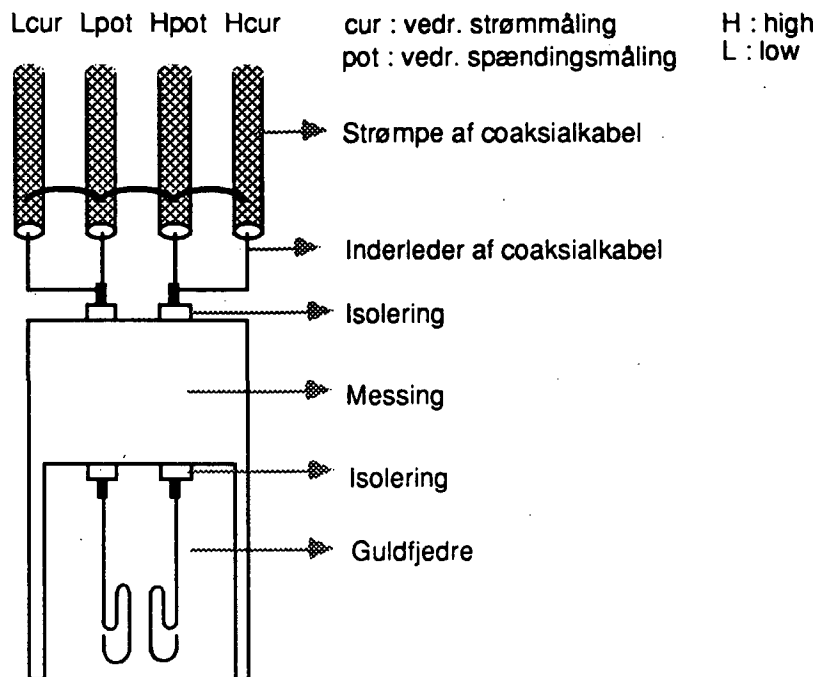


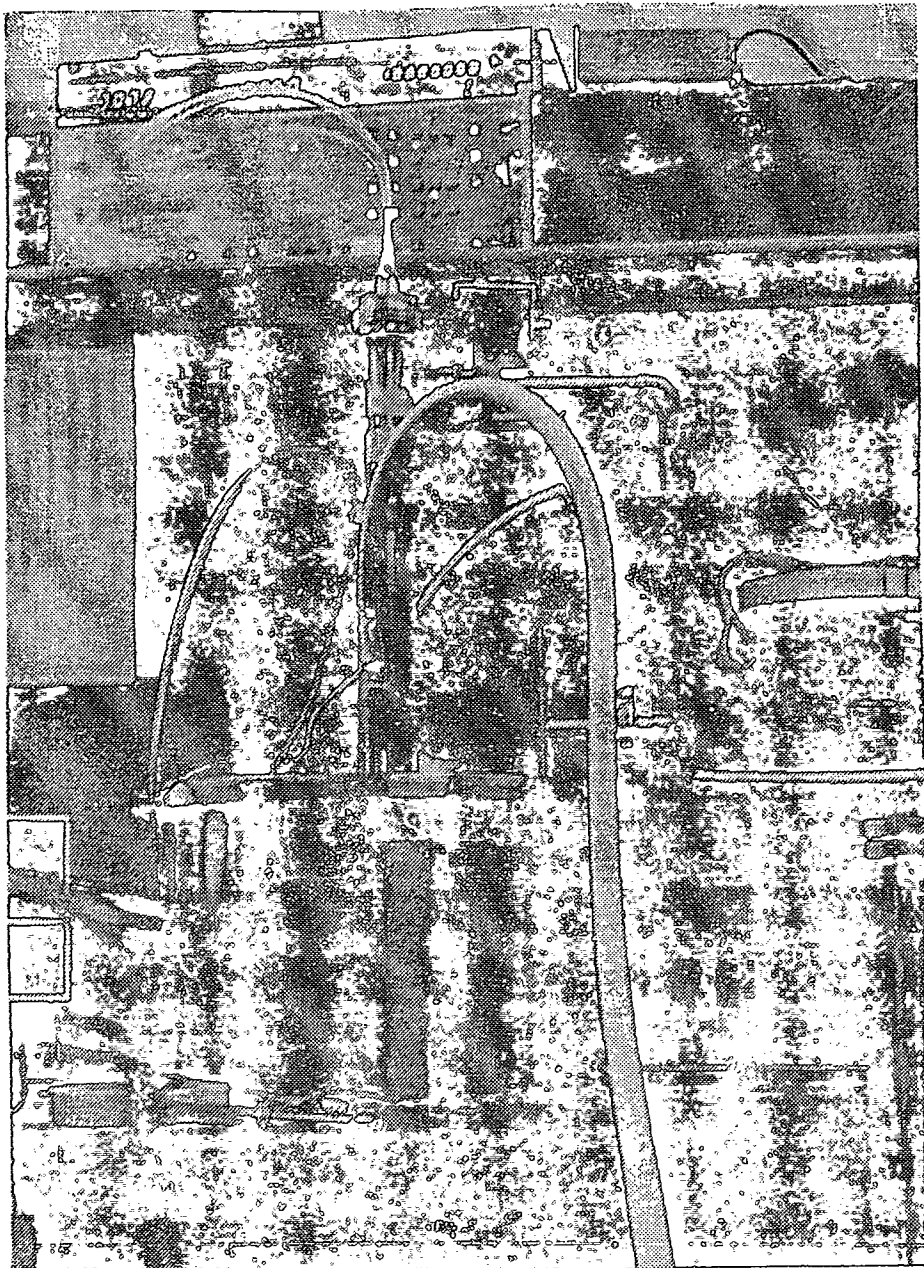
Fig. 5.3.e Prøveholder med tilledninger.

Temperaturregulator og kryostat.

Vores formodning om at bl.a. depletionlagets tykkelse er temperaturafhængig, kan kun undersøges ved at mæle prøvens impedanspekter for flere forskellige temperaturer. Hertil benyttede vi en såkaldt kryostat (fig. 5.3.f) (kryo=kulde, stat=konstant,stabil), der i princippet er en beholder, hvori det er muligt at holde temperaturen konstant.

Som det ses af tegningen fig. 5.3.f, indeholder kryostaten flere adskilte kamre. Mellem den yderste metalcyylinder og den indre ringformede beholder, er der vacuum. Dette er opnået via udsugningen på kryostatens "hals". Undertrykket bevirker at der kun findes få luftmolekyler pr. volumenenhed. Dette medfører at varmestrålningen fra den ydre cylinder til den indre ringformede beholder minimeres. Den ringformede beholder er fyldt med flydende kvælstof, som har en temperatur på 77K. Ydre temperaturpåvirkninger er endvidere søgt nedsat, idet den indre beholder kun er ophængt i de to små rør, hvorigennem påfyldning af kvælstof kan ske. Fra kvælstofbeholderens bund er der ført en slange til et lille kammer udenpå det lange rør i midten af kryostaten. I toppen af dette kammer er der ført endnu en slange, der er forbundet til en regulerbar pumpe i temperatur-regulatoren.

Forsøgsbeskrivelse



Kryostat med tilslutning til HP-analyzer.

Ved at pumpe kvælstof fra beholderen op omkring røret i midten, og videre ud af kryostaten, er det altså muligt at fjerne energi fra prøvekammeret i bunden af røret. Dette medfører at prøvekammerets og dermed prøvens temperatur falder. Den laveste temperatur der kan opnås på denne måde, er kvælstoffets temperatur : 77K.

Der kan ikke slippe lys ned til prøven i prøvekammeret, hvorved mulighed for optisk generering i halvledermaterialet elimineres.

Forsøgsbeskrivelse

En lang metalstang er fastgjort til prøveholderen, således at denne kan nedsænkes til prøvekammeret i bunden af røret.

Omkring prøvekammeret findes en bevikling af isoleret metaltråd, der bliver varm, når der sendes strøm igennem. På denne måde er det muligt at hæve temperaturen i prøvekammeret. For at holde styr på prøvens eksakte temperatur (vi antager at prøve og prøvekammer har samme temperatur), sidder der et termoelement fast uden på prøvekammeret. Et tilsvarende element er nedsænket i flydende kvælstof, og fungerer som reference. Spændingsforskellen mellem de indbyrdes forbundne termoelementer er udtryk for prøvens temperatur i forhold til 77K.

Både slangen fra det lille kammer omkring røret i midten, og ledningerne til termoelementer og varmetråd, er forbundet til temperaturregulatoren. Med instruktioner fra PC'eren sendt via et interface til temperaturregulatoren, er det muligt at indstille temperaturen til en konstant værdi mellem 77K og ca. 300K (Stuetemperatur.)

Personal Computer - styring af målingerne.

Som det er fremgået af de foregående afsnit, styres målingerne fra PC'eren. Når såvel HP'eren og temperaturregulatoren er tilsluttet, er det muligt at fastsætte følgende måleparametre : starttemperatur for målingerne, temperaturspring fra måling til måling, frekvensområdets størrelse samt om frekvensspring skal være logaritmiske eller lineære. Amplituden af den spænding der påtrykkes prøven, vælges manuelt på HP'eren.

Forsøgsbeskrivelse

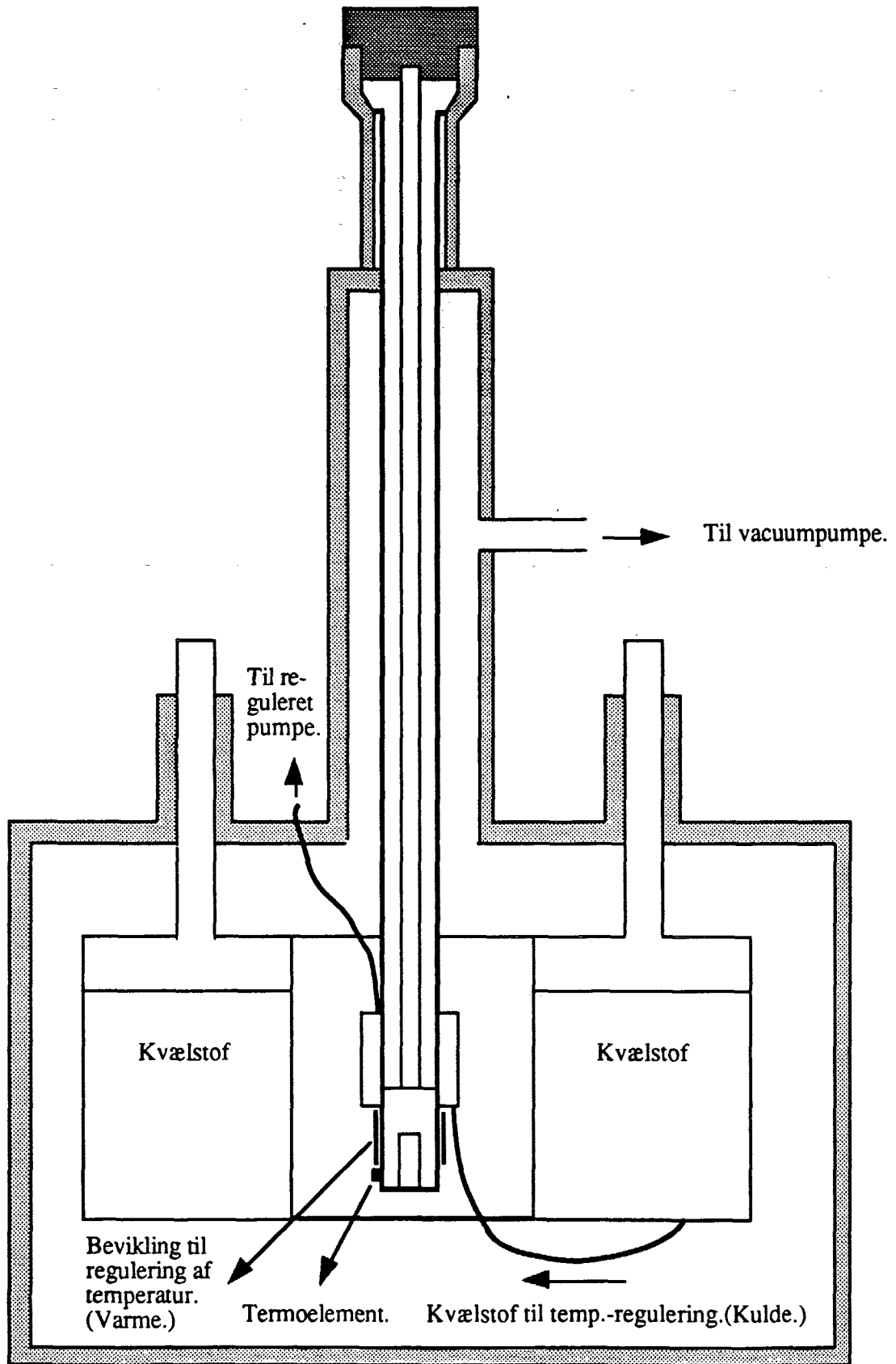


Fig.5.3.f Kryostatens opbygning.

Forsøgsbeskrivelse

5.4 Forsøgsrækken.

I dette afsnit vil der blive beskrevet den endelige forsøgsrække.

Da det er frekvensafhængigheden ved forskellige temperaturer vi er ude efter, blev målingerne foretaget ved temperaturer mellem 80-300K, med temperaturspring på 11K. Der blev således foretaget 20 målinger pr. prøve. For hver måling stabiliseres temperaturen i kryostaten i løbet af 10 minutter, hvorefter en måleserie foretages.

Ved hver temperatur blev der målt fra 10 Hz til 10 MHz, hvor frekvensmålingerne foregår med logaritmiske spring, 20 log pr. dekade. Ved hvert målpunkt foretager HP'eren 10 målinger og finder gennemsnitsværdien. Bias-spændingen (DC-spændingen) over prøven er 0V, og den påsatte amplitude er på 0.1 V.

Forsøgsrækken er ens for alle 6 prøver og ser således ud :

Start temperatur	300 K
Slut temperatur	80 K
Temperatur spring	-11 K
Kryostatens stabiliserings tid	10 min.
Antal målinger pr. prøve	20
Frekvens område	10 Hz til 10 MHz
Antal log spring pr. dekade	20
Amplitude	0.1 V
Bias	0 V
Maksimal målbar modstand	10 MΩ (serieforbindelse)
Maksimal målbar ledningsevne	10 ⁻⁹ S (parallelforbindelse)



Kapitel 6

Dette kapitel handler om bearbejdningen og fortolkningen af vores måleresultater.

6.1 Graferne og hvad man kan læse ud af dem

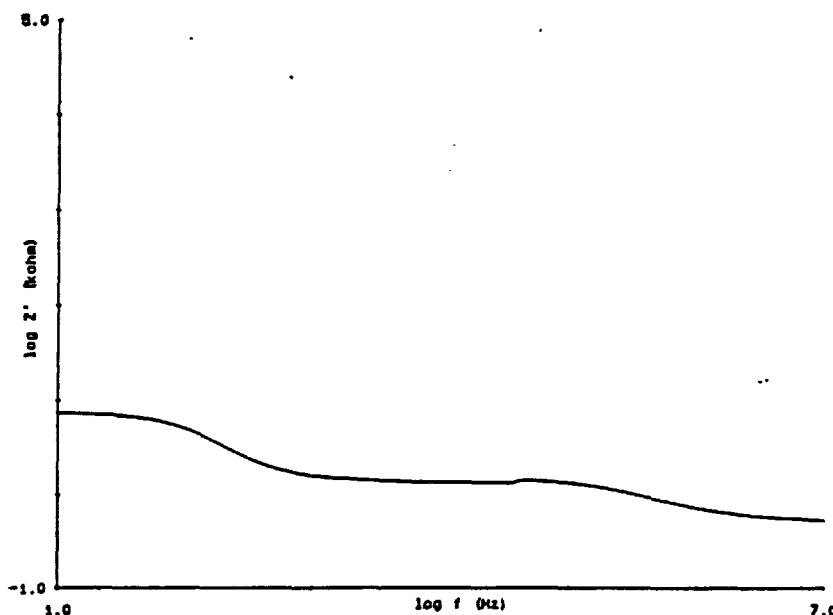
De data, HP-frekvensanalysatoren målte på hver prøve var 121 målinger af impedansen ved 20 forskellige temperaturer. Vi har skrevet disse admittanser ud i form af følgende to kurvetyper :

- realdelen af impedansen som funktion af frekvensen $Z'(f)$
- realdelen af kapacitansen som funktion af frekvensen $C'(f)$

Disse kurver kan lettere give os de informationer vi er ude efter, nemlig :

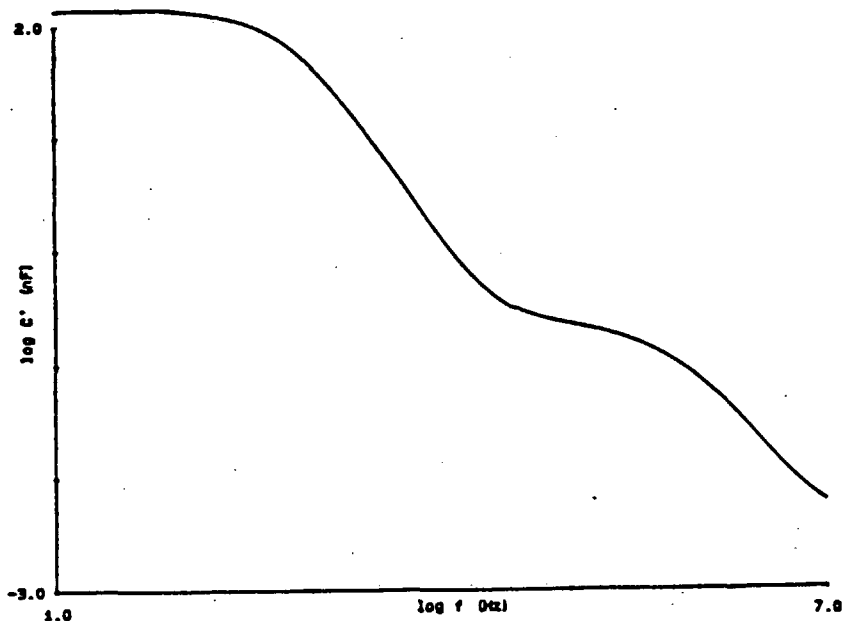
- Om to-ledsmodellen i den nuværende form (2 RC-led) holder!!!
- R- og C-værdierne for de RC-led, der indgår i vores model.

Som eksempel på de typer kurver, vi fik ud, er her medbragt impedanskurven og kapacitanskurven ved h.h.v. høj og lav temperatur for prøve 26.



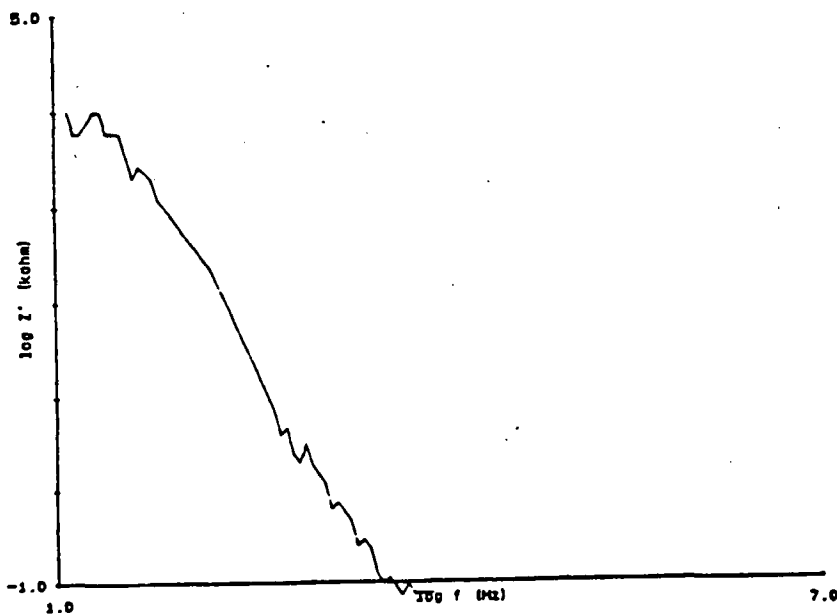
Figur 6.1.a. Impedans Z' total for $T = 300K$.

Fortolkning af måleresultater



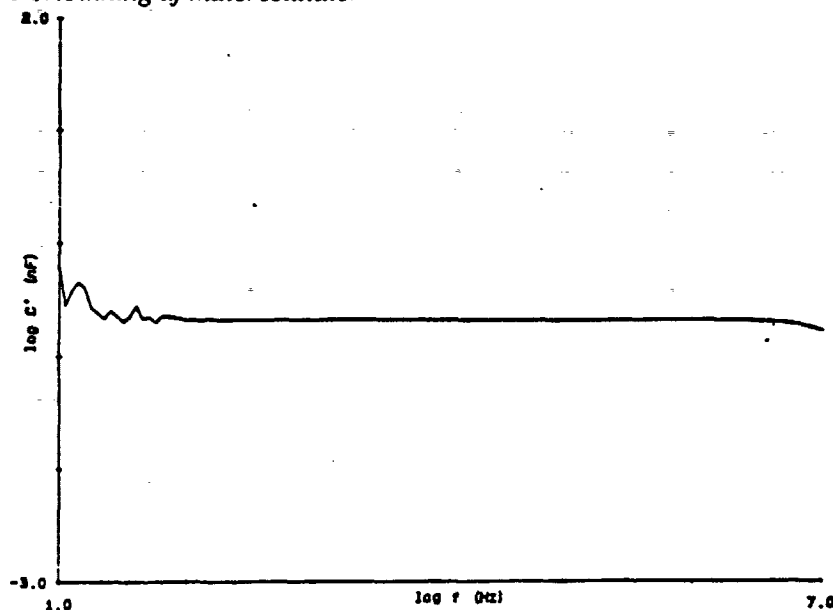
Figur 6.1.b Kapacitanskurve C_{total} ved 300 K

Ved lave temperaturer opfører kurverne sig derimod noget anderledes, idet de tre niveauer nu flyder mere ud.



Figur 6.1.c. Impedans Z_{total} for $T = 91\text{K}$.

Fortolkning af måleresultater



Figur 6.1.d. Kapacitans C' total for $T = 91K$.

6.1.1 Sammenhæng mellem niveauer på grafen og antal RC-led i modellen

Ved at betragte $Z'(f)$ og $C'(f)$ kurverne ses for de høje temperaturer tre niveauer eller i det mindste antydning af tre niveauer. Det er nødvendigt at undersøge om vores to-ledsmodel (to RC-led i serie) kan forklare tilstedeværelsen af tre niveauer. For at kunne se sammenhængen mellem grafernes udseende - antallet af niveauer - og vores matematiske model, må vi se nærmere på udtrykkene for impedans og kapacitans, afhængige af vinkelfrekvensen ω^* . Vi vil, med udgangspunkt i modellen, søge at opnå en kvantitativ tolkning af niveauerne på graferne. Derved kan R-værdierne og C-værdierne af de enkelte RC-led bestemmes.

6.1.2 Udledning af Z_{total} og Z'^{total}

For at kunne forstå hvad der sker på de to grafer må vi undersøge udtrykkene for impedansen og kapacitansen Z'^{total} og C'^{total} af n RC-led i serie.

Impedansen for et enkelt RC-led findes som den inverse admittans Y^{**} :

$$Z = \frac{1}{Y} = \frac{1}{\frac{1}{R} + j\omega C} = \frac{R}{1 + j\omega\tau}, \quad \tau = RC \quad [6.1.2.a]$$

* Man bedes bemærke at vinkelfrekvens ω og frekvens f er proportionale med en faktor 2π til forskel.

Derfor kan man udmærket beskrive $Z'(f)$ kurver ved at studere et matematisk udtryk for $Z'(\omega)$.

** Gennem hele dette afsnit forudsættes kendskab til komplekse tal i almindelighed og kompleks symbolsk metode i særdeleshed, da udregningerne ellers vil virke meningsløse (hvad det jo godt kan være de er alligevel).

Fortolkning af måleresultater

Det bemærkes at tidskonstanten τ sættes lig RC . Det vil senere vise sig at tidskonstanten for et RC-led spiller en afgørende rolle for grafens udseende.

Ved at gange (6.1.2.a) igennem med den komplekse konjugerede fås en reel nævner, hvorved realdelen og imaginærdelen af Z kan adskilles.

[6.1.2.b]

$$Z = \frac{R(1 - j\omega\tau)}{(1 + j\omega\tau)(1 - j\omega\tau)} = \frac{R - j\omega\tau R}{1 + \omega^2\tau^2} = \frac{R}{1 + \omega^2\tau^2} - j \frac{\omega\tau R}{1 + \omega^2\tau^2}$$

Da det gælder at den samlede impedans af n impedanser i serie er :

$$Z_{\text{total}} = Z_1 + Z_2 + Z_3 + \dots + Z_n$$

fås den samlede impedans af n serieforbundne impedanser ved at summere formel (6.1.2.b) fra 1 til N . For at finde Z'_{total} skal man så blot tage realdelen af denne :

[6.1.2.c]

$$Z_{\text{total}} = \sum_{i=1}^n \frac{R_i}{1 + \omega^2\tau_i^2} - j \sum_{i=1}^n \frac{\omega\tau_i R_i}{1 + \omega^2\tau_i^2} \Rightarrow Z'_{\text{total}} = \sum_{i=1}^n \frac{R_i}{1 + \omega^2\tau_i^2}$$

6.1.3 Udledning af C_{total} og C'

For at finde C' uden det helt store regnearbejde, må man sjovt nok starte med at udlede admittansen. Der gælder nemlig at :

$$Y = \text{Re}(Y) + j \text{Im}(Y) = \frac{1}{R} + j\omega C$$

$$C = \frac{\text{Re}(Y)}{j\omega} + \frac{j\text{Im}(Y)}{j\omega} - \frac{1}{j\omega} = \frac{\text{Im}(Y)}{\omega} + \frac{\text{Re}(Y)}{j\omega} - \frac{1}{Rj\omega}$$

$$C' = \text{Re}(C) = \frac{\text{Im}(Y)}{\omega}$$

[6.1.3.a]

Fortolkning af måleresultater

Vi må altså bestemme imaginærdelen af admittansen. Dette gøres ved at udnytte $Y = 1/Z$ endnu en gang :

$$\begin{aligned}
 Y_{\text{total}} &= \frac{1}{Z_{\text{total}}} = \frac{1}{\sum_{i=1}^n \frac{R_i}{1 + \omega^2 \tau_i^2} - j \sum_{i=1}^n \frac{\omega \tau_i R_i}{1 + \omega^2 \tau_i^2}} \\
 &= \frac{\sum_{i=1}^n \frac{R_i}{1 + \omega^2 \tau_i^2} + j \sum_{i=1}^n \frac{\omega \tau_i R_i}{1 + \omega^2 \tau_i^2}}{\left[\sum_{i=1}^n \frac{R_i}{1 + \omega^2 \tau_i^2} \right]^2 + \left[\sum_{i=1}^n \frac{\omega \tau_i R_i}{1 + \omega^2 \tau_i^2} \right]^2} \quad [6.1.3.b]
 \end{aligned}$$

Dette er jo ikke noget videre kønt syn, men der er der for øjeblikket ikke noget at gøre ved. Udtrykket [6.1.3.b] kan skrives på formen :

$$Y = \frac{a + jb}{a^2 + b^2}$$

Realdelen og imaginærdelen af Y bliver således :

$$\text{Re}(Y) = \frac{a}{a^2 + b^2} \quad \text{Im}(Y) = \frac{b}{a^2 + b^2}$$

Af [6.1.3.a] og [6.1.3.b] fås realdelen af kapacitansen for n RC-led i serie :

[6.1.3.c]

$$C'_{\text{total}} = \frac{\text{Im}(Y_{\text{total}})}{\omega} = \frac{1}{\omega} \frac{\sum_{i=1}^n \frac{\omega \tau_i R_i}{\omega^2 \tau_i^2}}{\left[\sum_{i=1}^n \frac{\omega \tau_i R_i}{\omega^2 \tau_i^2} \right]^2 + \left[\sum_{i=1}^n \frac{R_i}{\omega^2 \tau_i^2} \right]^2}$$

Fortolkning af måleresultater

6.1.4 Sammenhæng mellem antal niveauer og antal RC-led

Det næste skridt er at undersøge, hvordan Z' opfører sig når tidskonstanterne τ er langt fra hinanden : $\tau_1 \gg \tau_2 \gg \dots \gg \tau_n$ og ω går mod forskellige værdier. I både C'_{total} og Z'_{total} indtræder ω i nævnerne af formen $1 + \omega^2 \tau^2$. Denne nævner går hurtigt mod $\omega^2 \tau^2$ ved store vinkelfrekvenser og mod 1 ved lave vinkelfrekvenser, og dette er en *meget* nytig iagttagelse at gøre sig.

Vi vil i første omgang kigge lidt på udtrykket for Z'_{total} - impedansen af n RC-led i serie:

[6.1.4.a]

$$Z'_{total} = \sum_{i=1}^n \frac{R_i}{1 + \omega^2 \tau_i^2} = \frac{R_1}{1 + \omega^2 \tau_1^2} + \frac{R_2}{1 + \omega^2 \tau_2^2} + \dots + \frac{R_n}{1 + \omega^2 \tau_n^2}$$

og se hvad der sker med leddene i denne, når vinkelfrekvensen ω ændres.

Hvis $\omega \rightarrow \infty$, går alle nævnerne $(1 + \omega^2 \tau^2)$ mod ∞ , således at der kommer til at stå

$$Z'_{total} = 0 + 0 + \dots + 0 = 0$$

Idet vi husker antagelsen om at tidskonstanterne ligger langt fra hinanden ($\tau_1 \gg \tau_2 \gg \dots \gg \tau_n$) lader vi vinkelfrekvensen ω gå nedaf. På et tidspunkt bliver denne så lille, at $\omega \tau_n$ bliver mindre end 1 $\Rightarrow \omega^2 \tau_n^2 < 1$. Hvis frekvensen sænkes yderligere vil nævneren i det n'te led nærme sig 1, mens de andre led stadigvæk er for små til at have nogen betydning. I dette område vil den totale impedans således være :

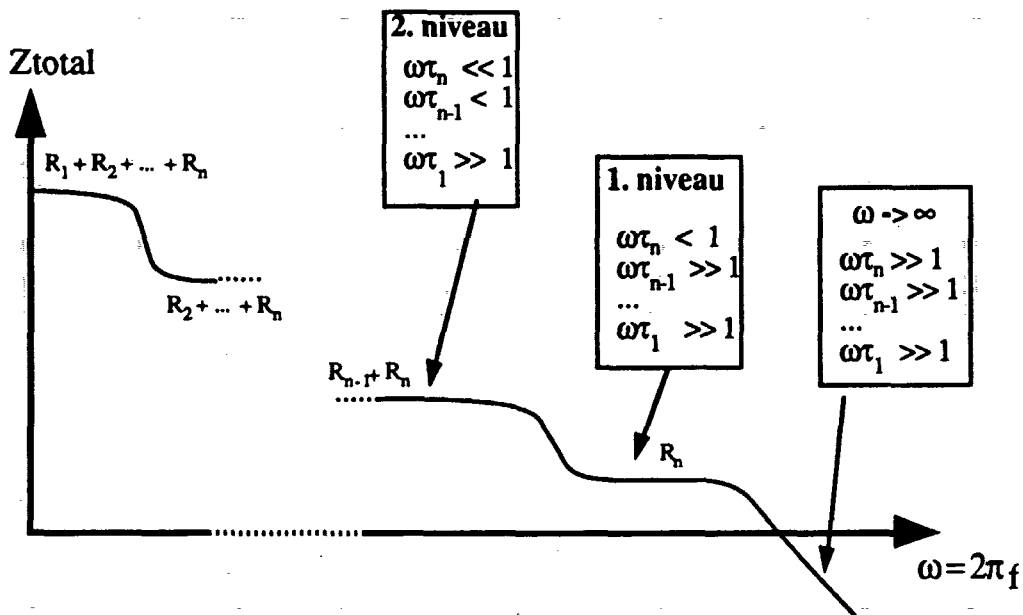
$$Z'_{total} = 0 + 0 + \dots + \frac{R_n}{1} = R_n$$

Hvis så frekvensen sænkes yderligere, vil der på et tidspunkt ske det samme for ledet (n-1) som der skete for n : størrelsen $\omega^2 \tau_{(n-1)}^2$ kommer under 1 og begynder at gå mod nul, således at nævneren $1 + \omega^2 \tau_{(n-1)}^2$ begynder at gå mod 1. De andre led vil endnu ikke have nogen betydning, da deres tidskonstanter τ , og dermed deres nævnerne er langt større end for R_n og $R_{(n-1)}$.

$$Z'_{total} = 0 + 0 + \dots + \frac{R_{(n-1)}}{1} + \frac{R_n}{1} = R_{n-1} + R_n$$

Fortolkning af måleresultater

Med den information vi har nu, kan vi tegne kurveforløbet for de ω vi har undersøgt :



Figur 6.1.4.a. Her ses hvilke niveauer der optræder i Z' total diagrammet afhængigt af vinkelfrekvensens størrelse.

Efterhånden som man sænker frekvensen vil alle leddene bidrage til den realdelen af den totale impedans, således at Z'_{total} ved $\omega \rightarrow 0$ (jævnstrøm) bliver summen af R -værdierne :

$$Z'_{total} = R_1 + R_2 + \dots + R_n$$

Hvis tidskonstanterne ligger langt fra hinanden, vil der altså komme et niveau for hver enkelt RC-led. Og dermed n niveauer i Z' diagrammet for n RC-led.

Da der er tre niveauer i nogle af Z -diagrammerne, kan 2-lagsmodellen altså ikke forklare kurvernes udseende. For at kurverne skal kunne forklaries må vi arbejde med 3 RC-led i serie i vores model (det bliver således en admiral-hat model).

Det kan selvfølgeligt ikke udelukkes at der er tale om endnu flere lag, som enten har tidskonstanter der får niveauerne til at overlappe med de tre vi ser i forvejen, eller tidskonstanter, der gør at niveauerne kommer til at optræde uden for det frekvensområde vi har kunnet måle i. Vi håber dog at have undgået dette, ved at måle i et temmeligt stort frekvensområde (10 Hz – 10 MHz). Men vi har en hypotese om at det tredie lag er et oxid-lag, dvs et tyndt lag af oxideret silicium. Se afsnit 6.1.5 om oxidlag.

Fortolkning af måleresultater

Nu ved vi nok til at opstille en udgave af impedansen Z_{total} af n forskellige RC-led (se [6.1.4.a]), som gælder for vores 3 forskellige RC-led.

[6.1.4.b]

$$Z'_{\text{total}} = \sum_{i=1}^3 \frac{R_i}{1 + \omega^2 \tau_i^2} = \frac{R_1}{1 + \omega^2 \tau_1^2} + \frac{R_2}{1 + \omega^2 \tau_2^2} + \frac{R_3}{1 + \omega^2 \tau_3^2}$$

6.1.5 Oxidlag ?

Generelt for alle prøverne er, at de tydeligt viser 3 niveauer på impedans-kurverne ved høje temperaturer. Der er en tendens til, at aflæsningen bliver mindre entydig ved lave temperaturer.

Hvad der forårsager det tredie niveau, er et problem som stadig nager os en del. Vi har forløbig opstillet den hypotese, at der er tale om et oxidlag, der er dannet på prøvens overflade før guldpådampningen, og som derfor ligger mellem krystallen og gulddaget. Det er rimeligt at antage, at et sådant lag ville være ens i begge ender af krystallen. Eftersom to ens RC-led kan ækvivaleres med et RC-led, vil et oxid-lag med samme geometri i begge ender af prøven resultere i et tredie RC-led. Det ekstra led sidste afsnit påviste.

Ledning i oxidlaget.

I kapitel 3.2 var vi inde på, hvordan depletion-og bulkzonens resistans og kapacitans afhænger af temperaturen. Inden vi går videre med graftolkningen, er det nødvendigt lige at ridse op hvordan ladningstransporten foregår i oxidlaget.

Oxidlaget udgør som de to andre lag en kapacitans. Vi kan slå fast, at geometrien i oxidlaget ikke ændrer sig med temperaturen. Under den antagelse, at dielektrisitets-konstanten ikke ændrer sig synderligt med temperaturen, vil Co i teorien ikke være temperaturafhængig.

SiO_2 er glas. Glas er en isolator. Ikke destomindre observerer vi en ohmsk modstand på $10^4 \Omega$ i oxidlaget ved 300°K . Dette kan forklares ved hjælp af et kvantemekansk fænomen kaldet tunnelling. Det betyder billedeligt, at partikler under specielle omstændigheder kan passere gennem en energibarriere uden at modtage energi først. Forudsætningen for at dette kan ske, er at der findes et energiniveau på den modsatte side af barieren, hvor partiklen kan falde til hvile. Partiklen passerer gennem et forbudt energiområde istedet for at hoppe over.

Tunnelleringsstrømmen afhænger kraftigt af temperaturen. Jo højere temperaturen bliver, jo mindre bliver modstanden i oxidlaget. Man kan ud fra symetribetragtninger vise, at tunnelerings-strømmen er ens i begge ender af krystallen, hvilket er afgørende for at oxidlaget kan ækvivaleres med et RC-led.(Se appendix D).

Fortolkning af måleresultater

6.2 Aflæsning af grafer

Dette afsnit beskriver kort hvordan man udleder værdier for R og C i de tre RC-led ud fra niveauerne på graferne. Aflæsning af resistanserne er ganske let, idet niveauet ved den højeste frekvens er R_3 , ved den midterste frekvens er $R_2 + R_3$, og ved den laveste frekvens er $R_1 + R_2 + R_3$.

Faktisk er det lettere at finde C -værdierne på impedanskurvene end på kapacitanskurven. Idet udtrykket for den totale kapacitans er meget svært at analysere - det er ikke til at se hvordan dette udtryk opfører sig ved forskellige frekvenser*.

Hvis vi endnu engang lader frekvensen dale fra uendelig og nedefter, kommer der et tidspunkt hvor $\omega\tau_3 = 1$ for det tredie lag. Dette medfører at den totale impedans bliver :

$$Z'_{\text{total}} = 0 + 0 + \frac{R_3}{1+1} = \frac{R_3}{2}$$

Dette gælder når:

$$\omega\tau_3 = 1 \Rightarrow \omega R_3 C_3 = 1 \Rightarrow C_3 = \frac{1}{R_3 \omega} = \frac{1}{R_3 2\pi f_3}$$

C_3 findes altså ved at aflæse den frekvens f_3 på førstakseen, hvor Z'_{total} er lig $R_3 / 2$, og indsætte i ovenstående.

Hvis frekvensen daler yderligere vil nævneren i det tredie led ganske som før gå mod 1. Hvis den daler til $\omega\tau_2 = 1$ vil real-delen af den totale impedans blive :

$$Z'_{\text{total}} = 0 + \frac{R_2}{2} + \frac{R_3}{1} = \frac{R_2}{2} + R_3$$

* For $\omega \rightarrow \infty$ er C'_{total} udtrykt ved

$$\left(\frac{1}{C_1} + \frac{1}{C_2} + \frac{1}{C_3} \right)^{-1}$$

Dette kan man overbevise sig om, ved at analysere udtrykket for C_{total} på samme måde som Z_{total} .

Fortolkning af måleresultater

C_2 findes ved at aflæse den frekvens f på førsteaksen, hvor Z'_{total} denne gang er lig $R_2 / 2 + R_3$, og indsætte i :

$$C_2 = \frac{1}{R_2 2\pi f_2}$$

Ved $\omega\tau_1=1$ bliver impedansen

$$Z'_{total} = \frac{R_1}{2} + R_2 + R_3 \quad [6.2.a]$$

C_1 findes analogt med C_2 og C_3 ved at indsætte den f_3 , der findes ved at aflæse hvor kurven skærer $R_1 / 2 + R_2 + R_3$, i følgende udtryk :

$$C_1 = \frac{1}{R_1 2\pi f_1}$$

6.3 Identifikation af parametre.

Vi vil ved at lave et overslag over størrelsen af de enkelte kapacitanser sandsynliggøre, at τ_1 hidrører fra oxidlaget, τ_2 fra depletionlaget, og τ_3 fra bulkzonen. Vi anslår oxidlagets tykkelse til at være mindre end 50 Å (F.Lukes, Surface Science 30 (1972),91).

Dielektricitetskonstanten for SiO_2 er 3,9 og dielektricitetskonstanten for Si er 11,9. Vi antager at oxidlaget består af Si i mere eller mindre oxideret form (SiO_x), og anslår derfor ϵ_{ox} til at være ca.8. Herefter beregner vi en meget tilnærmet værdi for C_0 .

$$C_0 = \epsilon_0 \epsilon_{ox} \times \frac{A}{l} = \epsilon_0 8 \times \frac{\pi 0,2}{50 \times 10^{-10}} = 10^{-6} F$$

Vi kan også ud fra bulkzonens proportioner og ϵ_{Si} beregne en tilnærmet værdi for bulk-kapacitansen.

$$C_3 = \epsilon_0 \epsilon_b \times \frac{A}{l} = \epsilon_0 3,9 \times \frac{\pi 0,2}{0,2} = 10^{-12} F$$

C_d (depletionkapacitansen) kan vi ikke sige noget om på forhånd, idet den afhænger af flere parametre, -f.eks.temperaturen og donor/acceptor-densiteten. Vi vil nu sammenligne med målte værdier.

Fortolkning af måleresultater

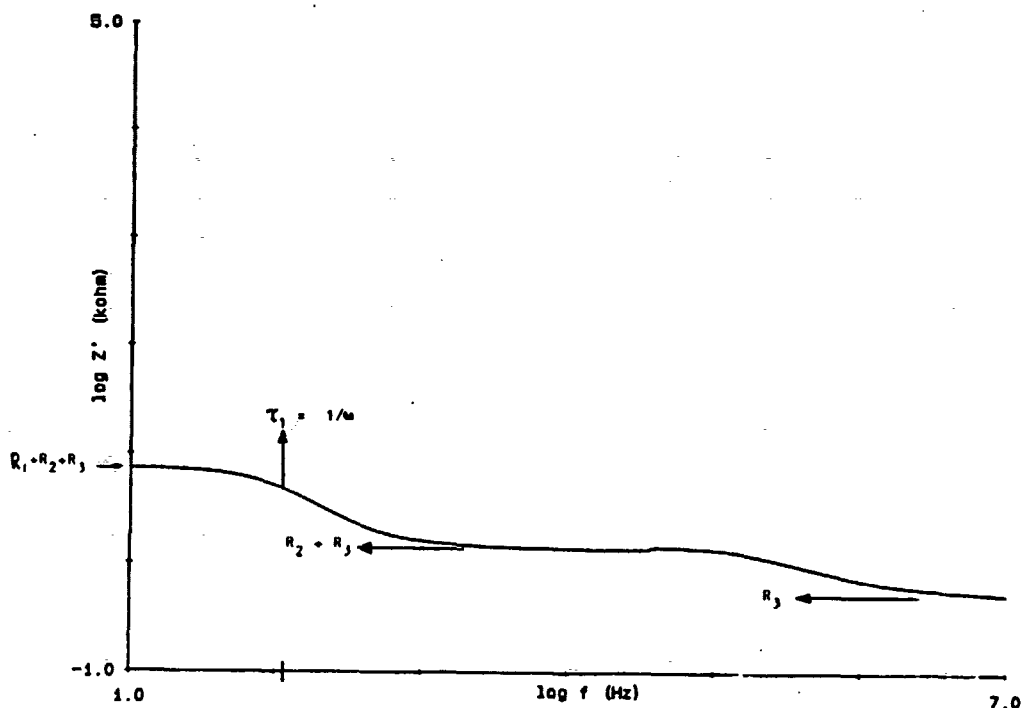


Fig 6.3.a. Prøve 26 ved 300 K. Realdelen af impedansen som funktion af frekvensen.

På impedansplottet kan vi aflæse de tre modstande $R_1 = 5.5 \times 10^2 \Omega$, $R_2 = 7.8 \times 10^2 \Omega$ og $R_3 = 6 \times 10^2 \Omega$ ved 300°K . R_3 aflæses direkte som værdien af Z' på det sidste niveau på kurven. R_2 aflæses ved at aflæse det andet niveau, og trække det fra, - og så fremdeles. (Se iøvrigt afsnit 6.2).

Vi ved, at hvis der er tre adskildte niveauer på $Z'(\omega)$, så er der mindst 3 RC-led med 3 meget forskellige tidskonstanter. Da de 3 modstande er næsten ens, kan vi udlede, at den forskel som der nødvendigvis må være mellem τ_1 , τ_2 og τ_3 , må stamme fra C_1 , C_2 og C_3 .

Vi ved fra det forgående, at der for et enkelt led i formlen gælder at $Z_j' \approx R_j$, når ω går mod 0, og at $Z_j' \approx 0$, når ω går mod ∞ . Hvis $\omega R_j C_j = 1$, er $Z_j' = R_j / 2$. Vi kalder det punkt hvor $Z_j = R_j / 2$ for "Halveringspunktet for Z_j' ". Ved at aflæse ω i halveringspunktet kan vi finde τ_j . ($\tau_j = 1/\omega$).

Vi aflæser det første halveringspunkt ved at dividere R_1 med 2, og lægge den sammen med R_3 og R_2 . Vi kan derefter aflæse hvilken frekvens denne Z' - værdi ligger på: $f = 130 \text{ Hz}$, hvilket svarer til at $\omega = 2\pi \times 130 \text{ Hz}$. Man skal lige passe på, idet det er en logaritmisk afbildning. (Se formel 6.2.a)

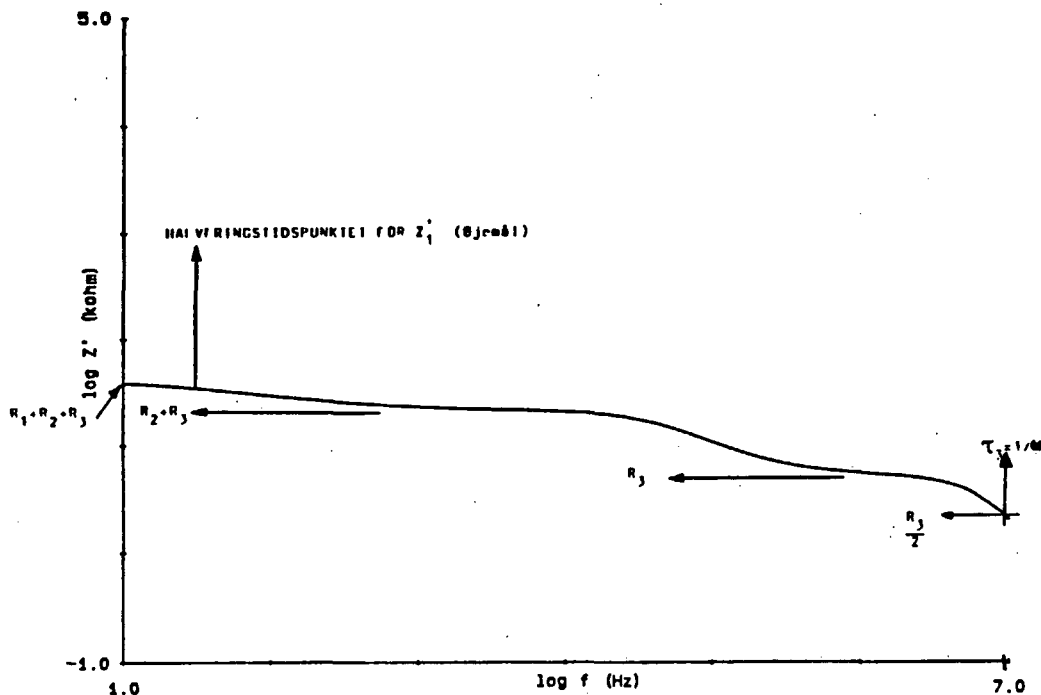
Da $\omega CR = 1$ ved denne frekvens, og vi ved at $R_1 = 550 \Omega$, kan vi bestemme C_1 :

$$C_1 = 1/(2\pi \times 130 \times 550) = 2 \times 10^{-7} \text{ F.}$$

Fortolkning af måleresultater

Dette er nogenlunde den størrelsesorden, som vi forventer at C_0 skal have.

Hvis oxidlaget var repræsenteret af det andet led på kurven, ville ω være tre dekader større. Dette svarer til at oxidlaget skulle være 50.000 Å ($5\mu\text{m}$) tykt, hvilket der ikke er empirisk belæg for. Det er ekstremt uheldigt, at at det tredje led på den valgte graf ligger uden for frekvensområdet. Derfor vedlægger vi endnu en graf (se figur 6.3.b).



Figur 6.3.b Prøve 19, ved 300 Kelvin. Realdelen af impedansen.

Aflæsning af R₃, R₂ og R₁:

$$R_3 = 5,1 \times 10^3 \Omega$$

$$R_2 = 15,1 \times 10^3 \Omega$$

$$R_1 = 18,1 \times 10^3 \Omega$$

Vi finder det punkt hvor $\omega\tau_3=1$ ved at dividere R₃ med 2:

$$R_3/2 = 2,5 \times 10^2$$

Z' har denne værdi når $f = 8,3 \times 10^6 \text{ Hz}$. Halveringspunktet for Z' aflæser vi med øjet til at være ca. $10^{1,5} \text{ Hz}$. Dette bliver vi nødt til fordi den svage hældning på kurven ikke kan stamme fra vores impedansfunktion alene. Vi mener, at den underlige udfladning på grafen stammer fra en eller anden form for resistans og kapacitans, som nødvendigvis må resulterre i en stigning af Z'. Derfor anslår halveringspunktet for Z' til at ligge lidt til venstre fra det "knæk" som vi ser på kurven.

Fortolkning af måleresultater

Vi beregner nu kapacitanserne ud fra kendskabet til R og ω .

$$C = \frac{1}{R} = \frac{1}{\omega R} = \frac{1}{f^2 \pi R}$$

Eksperiment	"Beregnde" værdier.
$C_1 = 3,8 \times 10^{-12} F$	$C_b = 10^{-12} F$
$C_3 = 2,7 \times 10^{-7} F$	$C_o = 10^{-6}$

Disse kapacitanser svarer jo forbløffende godt til dem vi havde beregnet ud fra geometrien. Vi må nu formode, at C_1 og R_1 repræsenterer henholdsvis C_o og R_o (kapacitansen og resistansen i oxidlaget), samt at C_3 og R_3 repræsenterer hhv. C_b og R_b (kapacitansen og resistansen i bulkzonen). Denne iagttagelse kan underbygges, hvis de eksperimentelle R_1, R_3, C_1 og C_3 -værdier kan fastlægges således, at deres temperaturafhængighed svarer til det formodelde temperaturforløb for henholdsvis oxid og bulk.

Vi antager nu, at det miderste niveau på kurven repræsenterer depletionområdet. For at kontrollere rigtigheden af denne antagelse, må vi undersøge, om kurvernes R_2 og C_2 -værdier udviser samme temperaturafhængighed som den "forventede" R_{dep} og C_{dep} .

Før prøvernes temperaturafhængighed behandles, vil vi kort resumere delkomponenternes forventede temperaturafhængighed:

P/N-TYPE	R_1	R_2	R_3	C_1	C_2	C_3
80K ↓ 300K	Faldende	Faldende	Stigende	Konstant	Stigende (P-type bør brat forsvinde)	Konstant

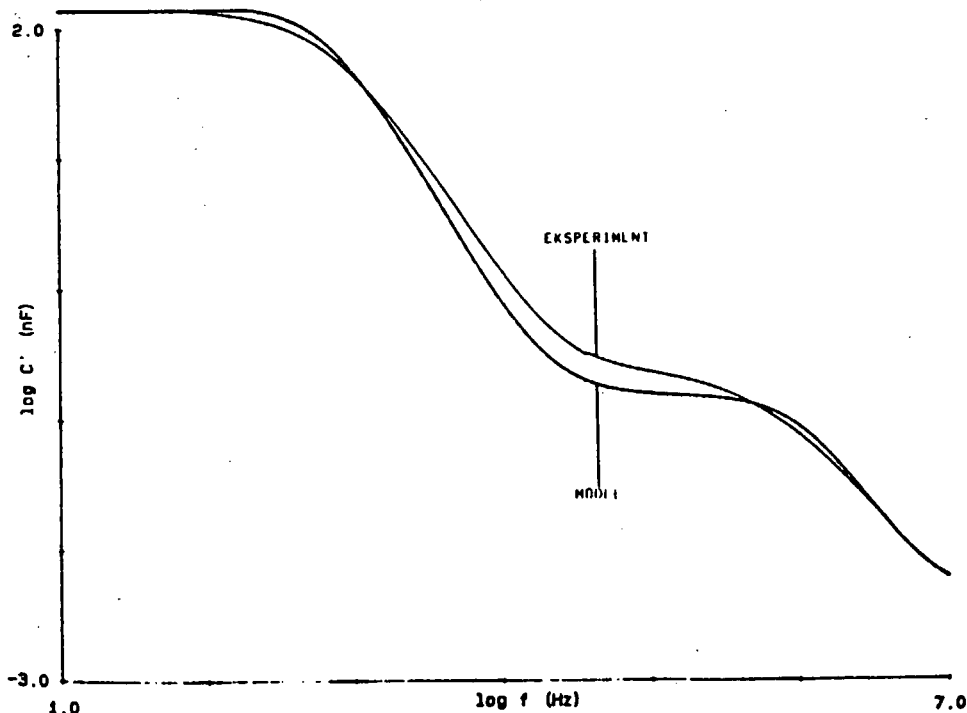
6.4 Kurvefitning og temperaturafhængighed.

Når de enkelte modelparametres temperaturafhængighed skal bestemmes er det både kompliceret og tidskrævende, at aflæse de mange R - og C -værdier direkte fra graferne. Derfor har vi benyttet os af kurvefitning. Kurvefitningen består i at benytte et computerprogram, hvor

Fortolkning af måleresultater

impedans-funktionen og kapacitans-funktionen for en 3-ledet RC-model er indlagt. Programmet * er konstrueret således, at man kan hente måledata ind fra en diskette, og tegne dem som en graf på skærmen, f.eks. $Z'(\omega)$ eller $C'(\omega)$. Samtidig kan man tegne de tilsvarende model-funktioner. Der er mulighed for at justere modelparametrene således, at modellen svarer til måleresultatene. Når man har tilpasset modelgrafen til den eksperimentelle graf, kan man gå ind og læse de 6 modelparametre. Vi har forsøgt at gennemføre denne procedure på alle temperaturer for en formodet n-type og en formodet p-type silliciumprøve. (Prøve 19 og prøve 26)

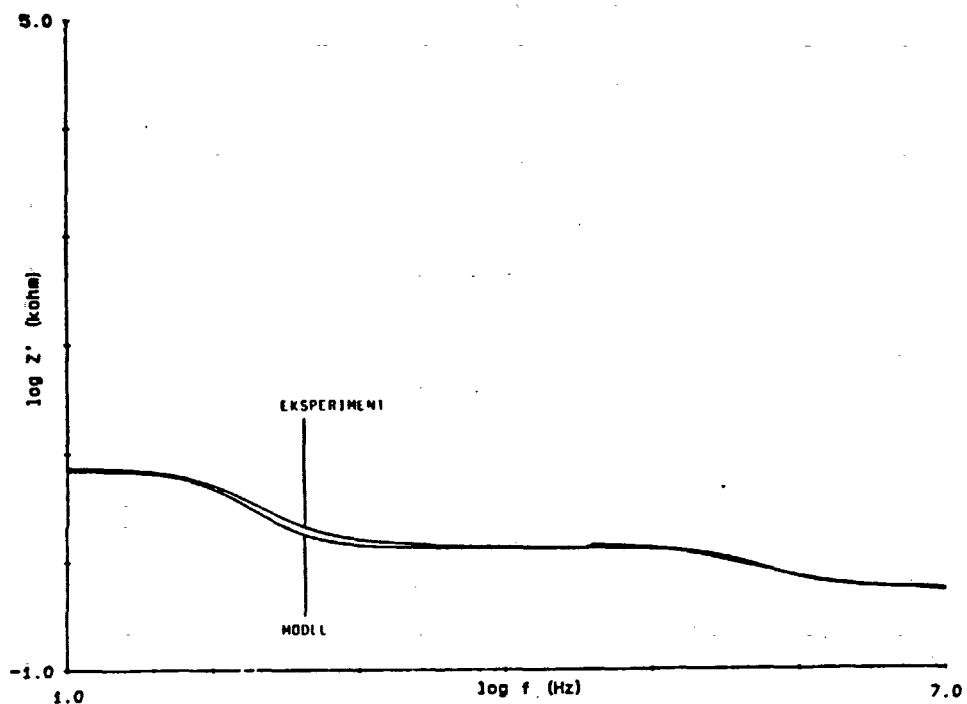
Metoden er særlig anvendelig, idet man kan aflæse et niveau på en kurve med en nøjagtighed på $\pm 5\%$. For at opnå denne nøjagtighed i aflæsningen af modelparametrene skal der selvfølgelig være et niveau på grafen, som kan aflæses entydigt, hvilket bestemt ikke er tilfældet i alle vores målinger. Under kurvefitningen bevarer man let overblikket over hvordan den enkelte parameter indvirker på kurven. Generelt er det lettest først at tilpasse modstandene ved hjælp af realdelen af impedansen, da de tre niveauer kun afhænger af R_1 , R_2 og R_3 . Derefter fitter man kapacitanser, hvilket indvirker på modellen på en mere kompliceret måde. Først når både modellens impedans- og kapacitanskurver så vidt mulig viser overensstemmelse med måledata, er kurven "fittet" færdig.



Figur 6.4.a Prøve 23, ved 300 Kelvin. Realdelen af kapacitansen $C'(\omega)$ for . Den flade linie er måledata, og den stejle linie er en tilpasset kurve.

* Programmet er lavet af Jan Vedde, IMFUFA.

Fortolkning af måleresultater

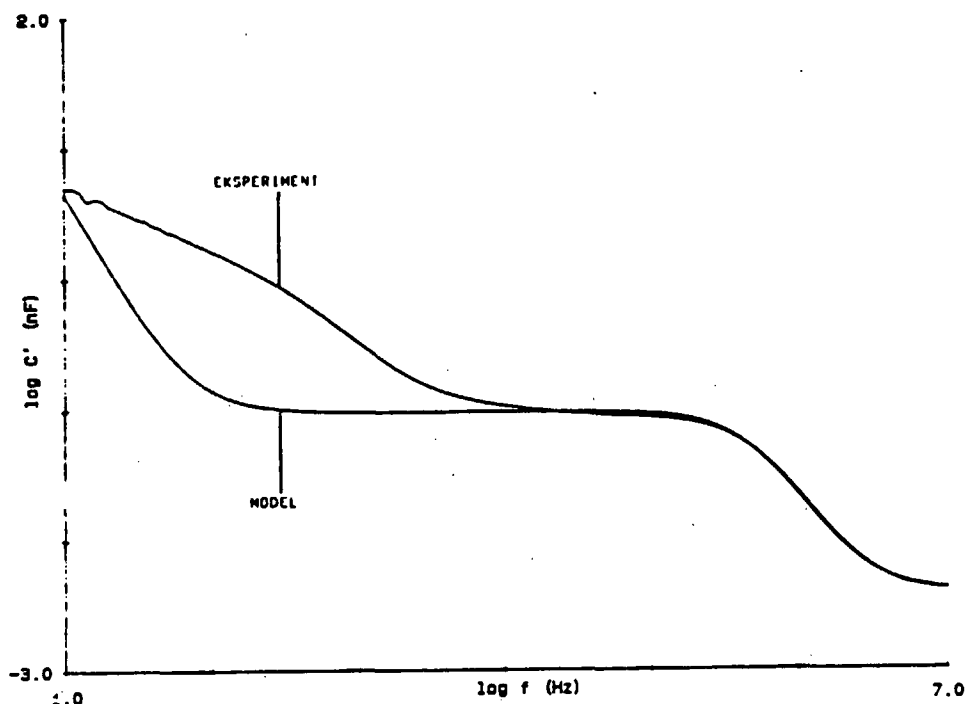


Figur 6.4.b Prøve 26 ved 300 Kelvin. Kurveslutning på $Z'(\omega)$.

Der er to modelparametre som ikke bør være temperaturafhængige: Bulk-kapacitansen og oxidkapacitansen. (C_3 og C_1). Det kunne selvfølgelig være raret at eftervise, at det forholder sig sådan. Der er imidlertid det problem, at τ_1 ved lave temperaturer ($T < 250K$) bliver så stor, at knækket på kapacitans-kurven ligger uden for det frevensområde-område som vi arbejder med. Samtidig sker der det, at overgangen fra det område af grafen hvor oxidlaget dominerer, til det område hvor depletionlaget dominerer bliver forstyrret ved faldende temperaturer. Det bliver således svært at skelne de to niveauer. Vi ved ikke rigtig hvad det er som giver denne flade overgang fra det første til det andet niveau, men man kunne jo forestille sig, at det er hatmodellens utilstrækkelighed, som spiller ind. Vi har jo forudsat, at der er en brat overgang fra depletion-til bulk-zonen. Og det kunne jo godt være, at det at der er en blød overgang, resulterer i lidt "snusk" i måleresultaterne.

C_1 udviser tendens til at forblive konstant i prøve 26. Her kan man aflæse C_1 og R_1 entydigt fra 300-256 K. Vi bliver nødt til at antage, at C_1 holder sig konstant i hele temperaturspekteret. Vi aflæser C_1 ved høje temperaturer, hvor den er nogenlunde entydig. Under kurve-fitningen holder vi simpelthen C_1 konstant. For at få τ_1 til at stige med faldende temperaturer, bliver man nødt til at hæve R_1 kraftigt. Dette stemmer kvalitativt overens med teorien om, hvordan R_1 afhænger af temperaturen. Se fig. 6.4.d.

Fortolkning af måleresultater



Figur 6.4.c Prøve 19 ved 300 Kelvin. Hældningskoefficienten på kapacitanskurven kan ikke efterlignes ved at justere parametrene i modellen. Og det første niveau kan ikke aflæses entydigt.

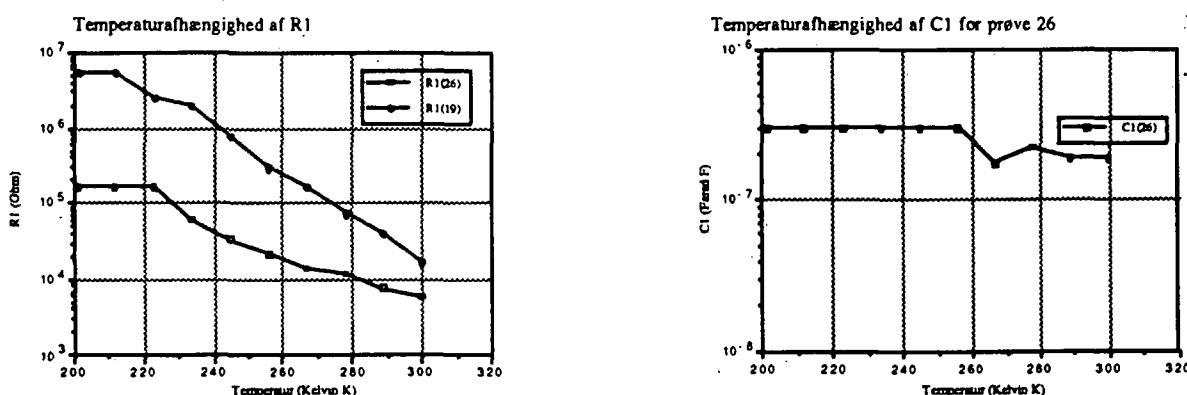


Fig.6.4.d. R1 og C1 afbildet som funktion af temperaturen. Kun de fem første C1-værdier i prøve 26 er målte værdier (300K-256K). De resterende er sat til at være konstante.

I den anden ende af frekvensspektret sker der for prøve 26 det, at τ_3 bliver så lille, at det ikke lader sig gøre at bestemme C3. Til gengæld viser prøve 19 entydigt at C3 er konstant ved alle temperaturer. Se fig.6.4.e. Endnu en gang er der kvalitativ overensstemmelse mellem teori og praksis, idet bulk-zonens kapacitans bør være den samme ved alle temperaturer.

Fortolkning af måleresultater

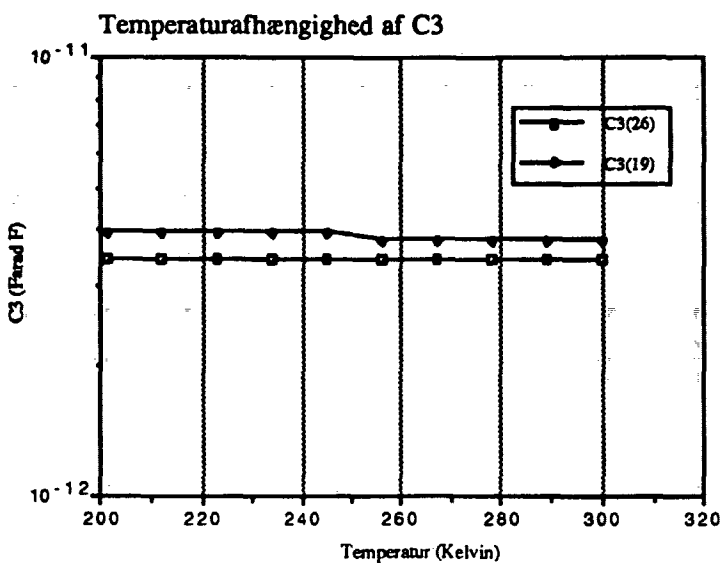


Fig.6.4.e. C3 afbildet som funktion af temperaturen.

Niveaueret for R3 lader sig let aflæse i alle tilfælde. I begge prøver stiger R3, som forventet , med temperaturen - bulk-zonens modstand stiger.

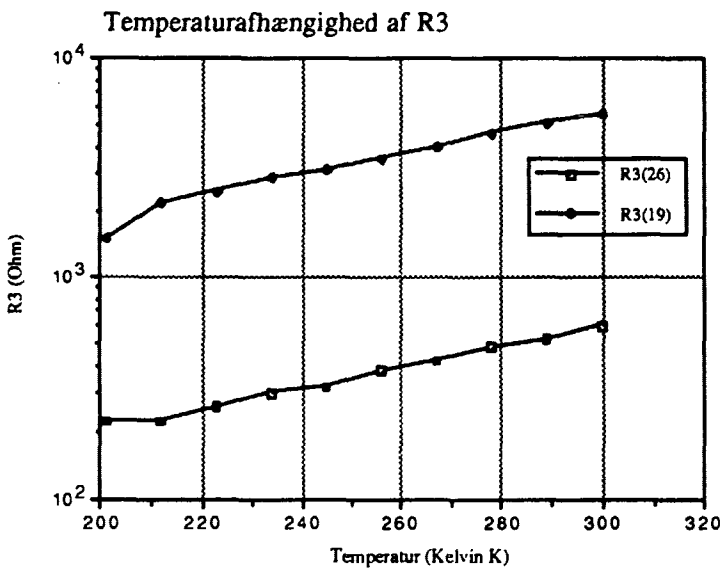


Fig.6.4.f. R3 som funktion af temperaturen.

C2 og R2 er forholdsvis lette at aflæse ved alle temperaturer. Når temperaturen stiger kan det konstateres, at modstanden falder, mens kapacitansen stiger (fig.6.4.g) Dette forløb indikere kraftigt, at C2 og R2 repræsenterer henholdsvis C_{dep} og R_{dep} . Dog konstaterer vi ikke den bratte forsvinden af C_{dep} i den formodede p-halvleder. Dette kan skyldes mange faktorer. Den mest nærliggende forklaring er, at prøven i virkeligheden er en n-type! (Dette fænomen uddybes i kap.7)

Fortolkning af måleresultater

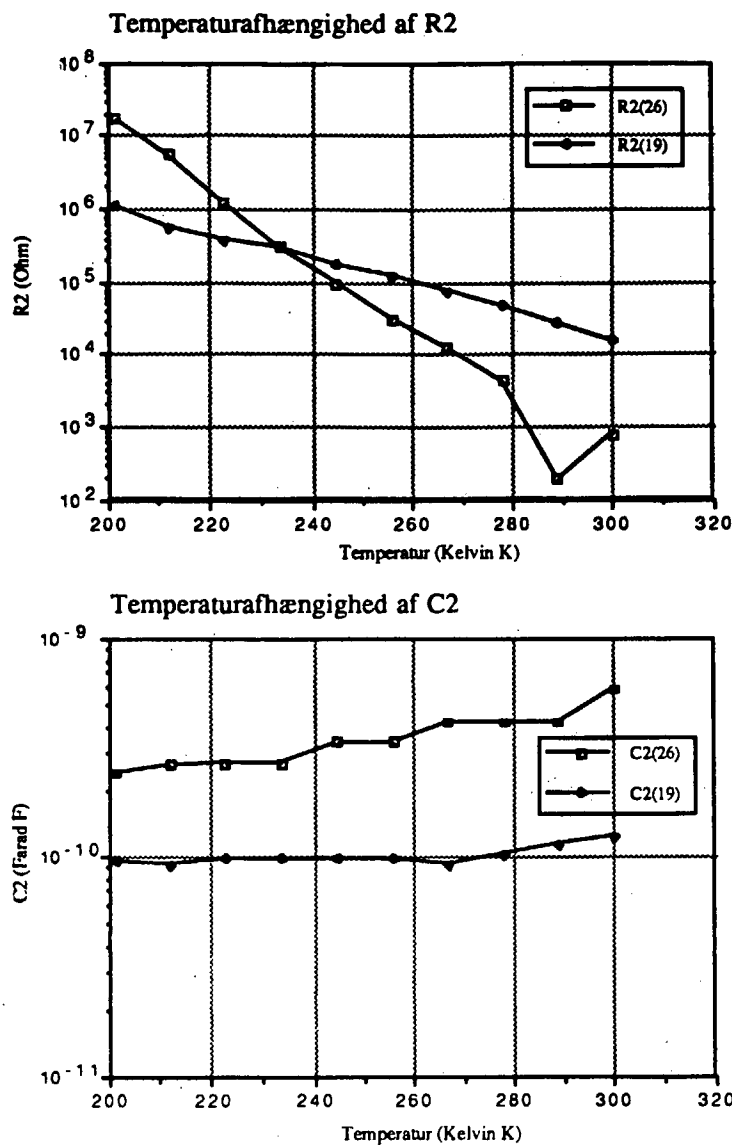


Fig.6.4.g. C2 og R2 som funktion af temperaturen.

Det er specielt R_3 og C_2 vi er interesserede i at finde, idet disse parametre skal bruges til at beregne donor/acceptor-densiteterne. Derfor er disse to parametre fittet for alle prøverne - R_3 ved 300K og C_2 ved 80K.

Når nu både temperaturafhængigheden og størrelsesordenen af de enkelte parametre passer med forudsigelseerne, kan vi endeligt konkludere at de lag vi mäter på, er oxidlag, depletionlag og bulkzone.



Kapitel 7

*Kapitlet hvor densiteten af podningsatomer bestemmes for de enkelte siliciumprøver.
Sidst i kapitlet findes diskussion og perspektivering.*

7.1 Udregning af koncentration af podningsatomer.

Vi vil nu beregne koncentrationen af podningsatomer (N_{dop}), ud fra de fittede værdier for R_b og C_d . Selve udregningen af N_{dop} kan foretages på to uafhængige måder. Enten ud fra kendskab til R_b , eller ud fra kendskab til C_d . Disse to metoder vil i det følgende blive gennemgået.

" C_d -metoden".

Ud fra den opstillede strategi i kapitel 4, kan vi med kendskab til C_d udregne depletionområdets bredde (W), og derigennem ladningsdensiteten (n_{tot}). Da vi tidligere har antaget at ladningsdensiteten hovedsageligt afhænger af antallet dopingatomer (jvf. kap 2), kan n_{tot} opfattes som et direkte udtryk for N_{dop} :

[7.1.a]

$$N_{dop} = \frac{2 \epsilon_0 \epsilon_r \Delta\mu(\text{Au-Si})}{e^2 W^2}$$

Som det ses indgår bredden af depletionområdet (W) i udtrykket. Heldigvis kender vi opskriften på W :

[7.1.b]

$$W = \epsilon_0 \epsilon_r \frac{A}{2 C_d}$$

Kapacitansen af depletionzonen har vi fundet ud fra målingerne ved 91 K. Når vi har valgt at benytte den laveste måletemperatur, skyldes det bl.a. at antallet af intrincsic ladningsbærere her er ubetydeligt. Endvidere er det kemiske potentiale bedre defineret i dette temperatur-område (se kap 3). Ud fra de målte kapacitanser ved 91 K, samt med kendskab til prøvernes geometri (tværsnitsareal : A), kan vi nu endelig bestemme N_{dop} . (Ved kombination af formel 7.1.a og 7.1.b).

Bearbejdning af måleresultater og konklusion

"R_b-metoden".

N_{dop} kan også bestemmes ved hjælp af helt andre parametre, idet N_{dop} optræder i udtrykket for bulkmodstanden :

[7.1.c]

$$N_{dop} = \frac{1}{lel \cdot \lambda \cdot R_b} \cdot \frac{d}{A}$$

I denne metode benytter vi R_b fundet ved 300K, idet mobiliteten (λ) her er kendt.

Prøvens tværsnitsareal A og tykkelse d er på forhånd kendte størrelser. N_{dop} kan nu udregnes.

P-type eller N-type ?

Både mobiliteten (λ) og forskellen i kemisk potentiale ($\Delta\mu$), er forskellig for n- og p-halvledere. Derfor er det muligt, at bestemme om den enkelte prøve er en n- eller p-type. For at der skal være konsistens i udregningerne, må der nødvendigvis være overensstemmelse mellem de to forskellige metoders N_{dop}-værdier. Når prøvetypen skal bestemmes, indsættes værdier der knytter sig til n- og p-silicium (λ og $\Delta\mu$). Den typeantagelse der giver bedst overensstemmelse mellem de to metoders N_{dop}-værdier, afgører prøvens art.

	N-type	P-type	Enhed
$\Delta\mu(\text{Au-Si})$	0.7	0.2	[eV]
$\lambda(300 \text{ K})$	0.14	0.048	[m ² V ⁻¹ s ⁻¹]

Udregning af N_{dop}.

Inden N_{dop} beregnes vha. de to metoder, vil vi præsentere de fittede værdier for R_b og C_d, samt prøvernes geometri:

Prøve	d	A	C _d	R _b
19	2,20·10 ⁻³	7,39·10 ⁻⁵	8,05·10 ⁻¹¹	5,63·10 ³
92	2,25·10 ⁻³	7,54·10 ⁻⁵	8,43·10 ⁻¹¹	4,86·10 ³
11	2,25·10 ⁻³	7,62·10 ⁻⁵	6,44·10 ⁻¹¹	8,28·10 ³
94	2,30·10 ⁻³	7,70·10 ⁻⁵	2,07·10 ⁻¹⁰	5,63·10 ³
26	2,30·10 ⁻³	7,62·10 ⁻⁵	9,99·10 ⁻¹¹	5,44·10 ²
1	2,25·10 ⁻³	7,69·10 ⁻⁵	7,82·10 ⁻¹¹	2,75·10 ³
	m	m ²	F	Ω

Tabel 7.1.a De målte parametre.

Bearbejdning af måleresultater og konklusion

Ud fra disse data, kan vi nu beregne N_{dop} og samtidig undersøge overensstemmelsen mellem værdierne udregnet vha. de to metoder. Derudover kan prøvernes type bestemmes, ved indsættelse af tabelværdier for henholdsvis en n- og p-type silicium.

Tabelværdierne er givet ved:

[ΔN_{dop}]	Beregnet med N-type parametre		Beregnet med P-type parametre		Relativ afvigelse		
	Prøve	$N_{dop}(C_d)$	$N_{dop}(R_b)$	$N_{dop}(C_d)$	$N_{dop}(R_b)$	N-type	P-type
19		$3,99 \cdot 10^{17}$	$2,36 \cdot 10^{17}$	$1,12 \cdot 10^{17}$	$6,88 \cdot 10^{17}$	40	83
92		$4,13 \cdot 10^{17}$	$2,74 \cdot 10^{17}$	$1,18 \cdot 10^{17}$	$7,98 \cdot 10^{17}$	34	85
11		$2,36 \cdot 10^{17}$	$1,59 \cdot 10^{17}$	$6,75 \cdot 10^{17}$	$4,64 \cdot 10^{17}$	33	31
26		$2,39 \cdot 10^{18}$	$2,45 \cdot 10^{18}$	$6,84 \cdot 10^{17}$	$7,14 \cdot 10^{18}$	2	90
94		$5,69 \cdot 10^{17}$	$4,89 \cdot 10^{17}$	$1,63 \cdot 10^{17}$	$1,43 \cdot 10^{18}$	14	87
1		$3,42 \cdot 10^{17}$	$1,79 \cdot 10^{17}$	$9,76 \cdot 10^{16}$	$5,21 \cdot 10^{17}$	47	82
		m^{-3}	m^{-3}	m^{-3}	m^{-3}	%	%

Tabel 7.1.b Ladningsbærer densiteten udregnet på baggrund af den kemiskepotentiale forskel mellem Si og Au. ($\Delta\mu(Au-Si)$ for n-type = 0,7 eV $\Delta\mu(Au-Si)$ for p-type = 0,2 eV). De relative usikkerheder er beregnet ud fra den største værdi.

Af de udregnede værdier, ser vi, at alle seks prøver (med undtagelse af prøve 11) er n-typer, idet der ved "n-type-antagelse" opnås mindst afvigelse mellem de to metoders resultater. Afvigelsen er for en formodet n-type op til 50%, mens den for en formodet p-type er helt op til 90% Dog ved vi, fra Topsil's egne målinger, at tre af Si-prøverne er formodede p-typer. For at give denne uoverensstemmelse en mulig forklaring, undersøgte vi en ny hypotese.

7.2. "Overflade-hypotese".

Vi går ud fra, at de værdier for R_b og C_d , som vi har fundet frem til vha. fitningen er korrekte. Ud fra disse værdier kan det ses, at depletionlaget ikke opfører sig, som vi havde forventet. I følge teorien burde depletionlaget i p-halvlederen være forsvundet ved stigende temperaturer. Dette er ikke tilfældet!

En forklaring kunne være, at vi har regnet med en forkert forskel i kemisk potentiale. Silicium er nemlig kendt for at have betydelige overfladeeffekter (kilde 14, s.822). Disse overfladeeffekter kan resultere i tilladte energiniveauer i båndgabet. Se fig.7.2.a.

Bearbejdning af måleresultater og konklusion

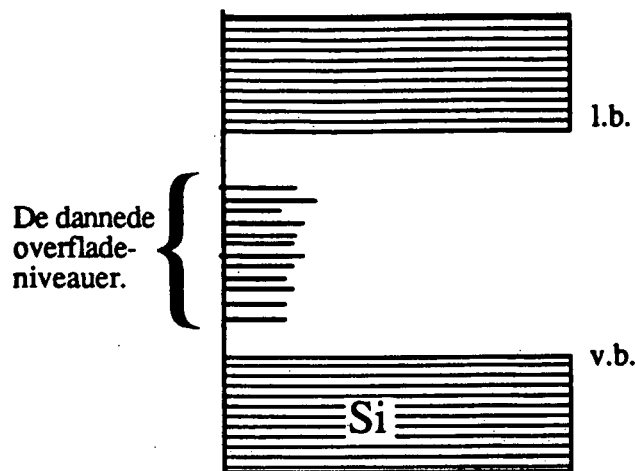


fig 7.2.a. De dannede overflade niveauer i energigabet.

Forskellen i kemisk potentielle skal derfor regnes som forskellen mellem det kemiske potentielle i henholdsvis silicium og overflade. Det kemiske potentielle i overfladen (μ -overflade) anslås, iflg. vores vejleder Petr Viscor, til at ligge ca. 4,4 eV under vacuum-niveau.

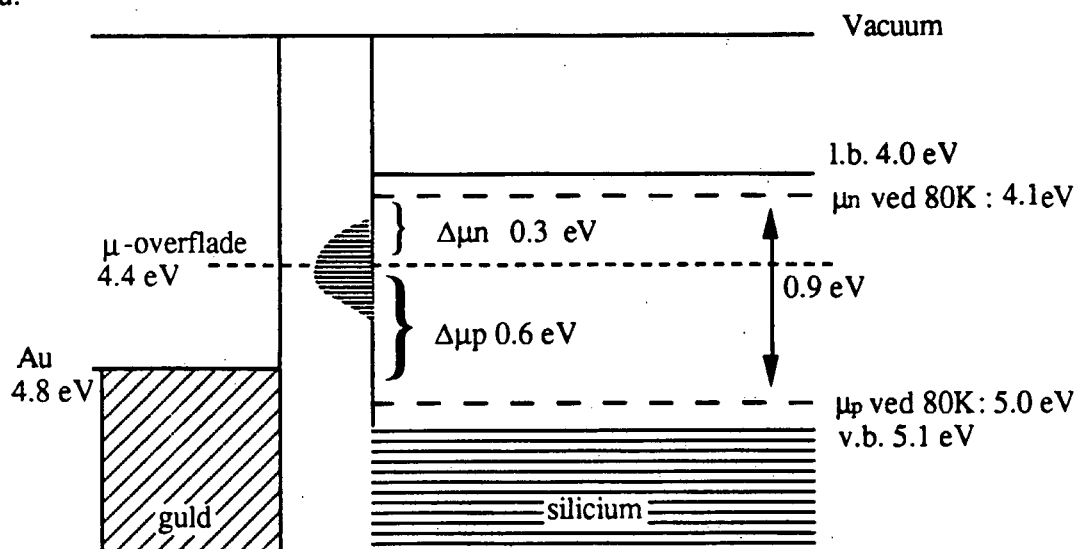


Fig. 7.2.b. Viser det kemiske potentielle relateret til vacuum niveau, før sammensætning.

P.g.a ændringerne i kemisk potentielle må udregningern af N_{dop} vha. C_d -metoden revideres. Forskellen i kemisk potentielle er nu :

	N-type	P-type	Enhed
$\Delta\mu(\text{Au-Si})$	0.3	0.6	[eV]

Bearbejdning af måleresultater og konklusion

Resultatet af udregningerne:

Prøve	Beregnet med N-type parametre		Beregnet med P-type parametre		Relativ afvigelse [ΔN_{dop}]	
	$N_{dop}(C_d)$	$N_{dop}(R_b)$	$N_{dop}(C_d)$	$N_{dop}(R_b)$	N-type	P-type
19	$1,69 \cdot 10^{17}$	$2,36 \cdot 10^{17}$	$3,37 \cdot 10^{17}$	$6,88 \cdot 10^{17}$	28	51
92	$1,80 \cdot 10^{17}$	$2,74 \cdot 10^{17}$	$3,54 \cdot 10^{17}$	$7,98 \cdot 10^{17}$	34	56
11	$1,01 \cdot 10^{17}$	$1,59 \cdot 10^{17}$	$2,03 \cdot 10^{17}$	$4,64 \cdot 10^{17}$	36	56
26	$1,03 \cdot 10^{18}$	$2,45 \cdot 10^{18}$	$2,05 \cdot 10^{18}$	$7,14 \cdot 10^{18}$	58	71
94	$2,44 \cdot 10^{17}$	$4,89 \cdot 10^{17}$	$4,88 \cdot 10^{17}$	$1,43 \cdot 10^{18}$	50	66
1	$1,46 \cdot 10^{17}$	$1,79 \cdot 10^{17}$	$2,93 \cdot 10^{17}$	$5,21 \cdot 10^{17}$	18	43
	m^{-3}	m^{-3}	m^{-3}	m^{-3}	%	%

Tabel 2.a Ladningsbæredensiteten udregnet på baggrund af den kemiske potentielle forskel mellem Si og overfladelaget. ($\Delta\mu(\text{Si-overflade})$ for n-type = 0,3 eV og $\Delta\mu(\text{Si-overflade})$ for p-type = 0,6 eV).

Ved denne nye udregning er forskellen mellem $N_{dop}(C_d)$ og $N_{dop}(R_b)$ for en formodet n-type blevet væsentligt forøget. Den relative afvigelse (ΔN_{dop}) ligger nu i intervallet: 40 - 220 %. For en formodet p-type er ΔN_{dop} derimod stærkt formindsket (80 - 250 %). Da afvigelsen for henholdsvis n- og p-beregninger nu er af samme størrelsesorden, er det vanskeligt at afgøre, om de enkelt prøver er enten n eller p-typ. Resultaterne er ikke entydige, men det ses dog, at ΔN_{dop} , i alle prøverne, er mindst ved n-beregningerne. Meget tyder altså stadigvæk på, at vi udelukkende har målt på n-typer! Vi vil nu sammenligne vores beregnede N_{dop} -værdier med Topsil's egne resultater:

Prøve	Beregnet med N-type parametre		Beregnet med P-type parametre		N_{dop}
	$N_{dop}(C_d)$	$N_{dop}(R_b)$	$N_{dop}(C_d)$	$N_{dop}(R_b)$	
19	$3,99 \cdot 10^{17}$	$2,36 \cdot 10^{17}$	$1,12 \cdot 10^{17}$	$6,88 \cdot 10^{17}$	$7,44 \cdot 10^{17}$ p-type
92	$4,13 \cdot 10^{17}$	$2,74 \cdot 10^{17}$	$1,18 \cdot 10^{17}$	$7,98 \cdot 10^{17}$	$1,05 \cdot 10^{18}$ p-type
11	$2,36 \cdot 10^{17}$	$1,59 \cdot 10^{17}$	$6,75 \cdot 10^{17}$	$4,64 \cdot 10^{17}$	$5,0 \cdot 10^{16}$ n-type
26	$2,39 \cdot 10^{18}$	$2,45 \cdot 10^{18}$	$6,84 \cdot 10^{17}$	$7,14 \cdot 10^{18}$	$1,98 \cdot 10^{17}$ n-type
94	$5,69 \cdot 10^{17}$	$4,89 \cdot 10^{17}$	$1,63 \cdot 10^{17}$	$1,43 \cdot 10^{18}$	$2,98 \cdot 10^{16}$ n-type
1	$3,42 \cdot 10^{17}$	$1,79 \cdot 10^{17}$	$9,76 \cdot 10^{16}$	$5,21 \cdot 10^{17}$	$2,98 \cdot 10^{16}$ n-type
	m^{-3}	m^{-3}	m^{-3}	m^{-3}	m^{-3}

Tabel 7.2.b Sammenligning af ladningsbærer densiteten udregnet på baggrund af det kemiskepotentielle forskel mellem Si og Au. ($\Delta\mu(\text{Au-Si})$ for n-type = 0,7 eV $\Delta\mu(\text{Au-Si})$ for p-type = 0,2 eV) og ladningsdensiteten målt ved FTIR.

7.3 Diskussion.

Disse måleresultater tyder på at vi har målt 5 n-type-silliciumkrystaller. Hvorvidt prøve 11 er p- eller n-type kan vi ikke afgøre ud fra målingerne. Ligemeget hvordan vi vender og drejer det, kan der ikke blive overensstemmelse mellem Topsils og vores målinger. Vi kan ikke tage stilling til, hvilke af måleresultaterne der er mest nøjagtige. I det følgende vil vi kort diskutere hatmodellens svage og stærke sider.

Modellen.

Beregningen af N_{dop} (C_d) indebærer en modelantagelse om, at depletion-området er fuldstændig udtømt for ladningsbærer, og at der eksisterer en brat overgang mellem bulk og depletion. Vi ved, at dette ikke er tilfældet. Samtidig er det ikke muligt, nøjagtigt at bestemme forskellen i kemisk potentiale til en given temperatur. I udtrykket for R_b indgår der en mindre veldefineret parameter, mobiliteten. Man er i tvil om, hvorledes denne størrelse opfører sig ved lav doping-densitet. Pga. dette kan vi ikke udtale os om, hvilken af de to beregningsmetoder, der er den mest korrekte.

Modellen er selvkonsistent. Hvis vi udelukker hypotesen om overfladetilstande, ser vi en relativ afvigelse mellem N_{dop} (C_d) og $N_{dop}(R_b)$ på højst 50%. I "denne branche" er dette faktisk en lille relativ afvigelse. Dette overbeviser os om, at en nuancering af hatmodellen kan føre til bedre resultater. F.eks. kunne man udbygge modellen mht. udtrykket for depletion-områdets bredde.

Vi har i realiteten målt bulk-resistiviteten i alle seks prøver. Modstanden R_b er givet næsten entydigt ved fitningen, og samtidig kan prøvernes geometri bestemmes med stor nøjagtighed. Den specifikke modstand kan da udregnes som:

$$\frac{1}{\sigma_b} = R_b \cdot \frac{A}{d} \quad [7.3.a]$$

Derimod kan vi ikke udtale os om doping-atomernes antal og art. For at kunne gøre dette er det nødvendigt, at undersøge fænomenet overfladetilstande nøjere.

Bearbejdning af måleresultater og konklusion

Prøve	d	A	R_b	σ^{-1}
19	$2,20 \cdot 10^{-3}$	$7,39 \cdot 10^{-5}$	$5,63 \cdot 10^3$	$1,89 \cdot 10^2$
92	$2,25 \cdot 10^{-3}$	$7,54 \cdot 10^{-5}$	$4,86 \cdot 10^3$	$1,63 \cdot 10^2$
11	$2,25 \cdot 10^{-3}$	$7,62 \cdot 10^{-5}$	$8,28 \cdot 10^3$	$2,80 \cdot 10^2$
94	$2,30 \cdot 10^{-3}$	$7,70 \cdot 10^{-5}$	$5,63 \cdot 10^3$	$1,88 \cdot 10^2$
26	$2,30 \cdot 10^{-3}$	$7,62 \cdot 10^{-5}$	$5,44 \cdot 10^2$	$1,80 \cdot 10^1$
1	$2,25 \cdot 10^{-3}$	$7,69 \cdot 10^{-5}$	$2,75 \cdot 10^3$	$9,40 \cdot 10^1$
	m	m^2	Ω	Ωm

Tabel 7.3.a Den specifikke modstand i bulk, udregnet vha. formel 7.3.a.

7.4 Perspektivering.

Perspektiverne af de resultater vi har opnået ved brug af hatmodellen, kan måske forkomme uvedkommende. Som målinger, er de da heller ikke at betragte som andet end et første forsøg på at anvende en ny målemetode, med alle de muligheder det medfører for fejl. Omvendt bekræfter resultaterne hatmodellens anvendelighed, i en grad der giver håb om, at modellen indenfor en overskuelig tidsramme kan udvikles og forfines til et nyt og slagkraftigt værktøj inden for faststoffsikken. Perspektiverne heraf er meget svære at overskue, men det kan muligvis betyde et gennembrud for udforskningen af højresistive materialers indre elektriske egenskaber. Ikke mindst fordi metoden giver mulighed for bestemmelse af både densitet og mobilitet af ladningsbærerne på en gang. En anden fordel er at metoden er meget billigere, end tilsvarende metoder (f.eks. FTIR), og er meget lettere at udføre.

Hvis der er andre studerende, der ønsker at beskæftige sig med faststoffsik, giver de forliggende resultater mulighed for et væld af projektmuligheder, der kan være medvirkende til yderligere undersøgelse af hatmodellens muligheder.

De emner der specielt tænkes på er:

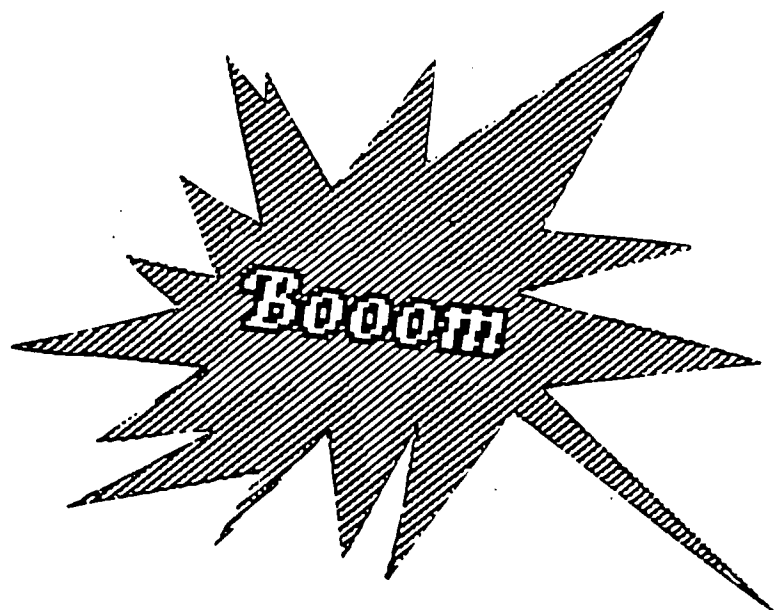
- Undersøgelse og sammenligning af forskellige målegeometriens betydning for de enkelte værdier- hvordan prøvernes form og størrelse indvirker på deres elektriske egenskaber.
- Undersøgelse af forskellige elektrodematerialers betydning for depletionlagets tykkelse, med henblik på videre undersøgelse af overflade-energilstanden betydning.

Bearbejdning af måleresultater og konklusion

- Undersøgelse af lavfrekvent AC-strøm og forskellige typer biasspændingers betydning for den rummelige fordeling af ladningsbærere. Dette ville vi godt have nået, hvis vi havde haft lidt mere tid.
- Undersøgelse af oxidlags betydning for de indre elektriske egenskaber. F.eks. hvordan oxidlaget påvirker depletionlagets tykkelse og resistivitet.
- Undersøgelse af, hvorledes selve pådampningen af guldet indvirker på krytaloverfladen.
- Undersøgelse af, hvordan oxidlagets impedans opfører sig ved lave frekvenser. Lavere end f.eks. 10 hz.

God fornøjelse

Med Venlig Hilsen Gruppe 8, P1, forår 1989.



APPENDIKS A

Hvor vi vil beskrive de grundlæggende egenskaber ved en kondensator, ved at tage udgangspunkt i en pladekondensator.

To elektriske ledende parallelle plader, påtrykkes en spændingsforskel, V.

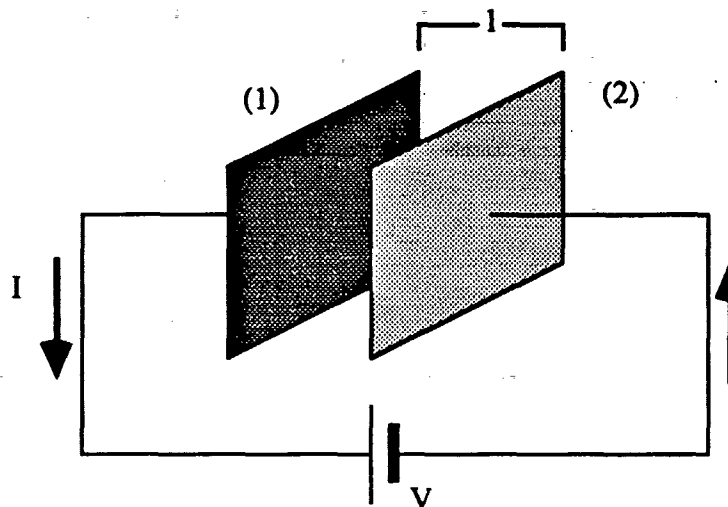


Fig. A.a Pilene på tegningen viser strømmens retning fra plus til minus, som er defineret modsat af elektronernes bevægelsesretning.

Elektronerne vil nu begynde at vandre fra spændingskildens negative pol og over til pladen (1). Et tilsvarende antal elektroner trækkes fra plade (2) og mod spændingskildens positive pol. Plade (1) har nu en ladning svarende til $-Q$ mens, plade (2) har ladningen Q . Hvis V ændres, vil ladningsforskydningen ligeledes ændres. Denne ladningsforskydning medfører dannelse af et elektrisk felt, E .

En kondensators kapacitans (C) er et udtryk for hvor stor en ladningsophobning, der fås ved en given spænding. Jo større kapacitans, desto bedre er kondensatoren til at "holde" på ladninger. Enheden for kapacitans er Farad [F], og er defineret som forholdet mellem den ladning [q] der er ophobet på kondensatorpladerne, pr. spændingsfald [V].

$$C = \frac{Q}{V}$$

Kapacitansen afhænger af kondensatorens uformning samt af materialet mellem pladerne kaldet dielektriket. Sammenhængen mellem kapacitansen (C), pladernes areal (A), afstanden mellem pladerne (d), og dielektrikets polarisations-egenskaber (ϵ), er givet ved:

$$C = \frac{\epsilon A}{d}$$

Når arealet øges vil kondensatoren kunne rumme flere ladninger til sammen spændingsforskel. Derimod vil det elektriske felt aftage med afstanden.

Kondensatoren

Dielektricitetskonstanten, ϵ_r .

Hvis man placerede en perfekt isolator mellem en kondensators to plader, ville man få en kondensator mod en uendelig stor parallelkoblet tabsmodstand. Ingen elektroner ville nu være i stand til at vandre fra den negativt til den positivt ladede plade. En stor ladningsophobning er hermed opnået. Modsat, ville en kondensator med et mellemliggende ledende materiale, have en lille tabsmodstand, hvorved ladningstransport mellem pladerne er mulig. Herved skabes en dårlig kondensator.

Et materiales egenskab som dielektrikum, opgives normalt i forhold til dielektricitetskonstanten for vacuum, ϵ_0 .

$$\epsilon_s = \epsilon_0 \epsilon_r \quad \epsilon_0 = 8,95 \cdot 10^{-12} \text{ F/m}$$

Som eksempel kan nævnes at for Silicium er $\epsilon_r = 11,9$. Den samlede dielektricitetskonstant er følgelig ; $11,9 \epsilon_0 \text{ F/m}$.

Forskydningsstrøm

Holder man spændingen konstant over pladerne, vil der ingen strøm løbe. Begynder man derimod at variere spændingen, vil ladningsfordelingen ændres. Sænkes spændingen vil plade (1) nu afgive elektroner med plade (2) vil optage elektroner. Dette vil i principippet medfører at plade (1) modtager en strøm, $I(t)$, svarende til den afgivne strøm fra plade (2).

$$I(t) = \frac{dQ}{dt} = C \frac{dV}{dt}$$

P.g.a. denne strømændring ser det nu ud som om kondensatoren gennemløbes af strømmen I . Denne fiktive strøm gennem kondensatoren kaldes også forskydningsstrømmen. Bemærk at forskydningsstrømmen er tidsafhængig, og at det er et resultat af det tidligere spændingsforløb.

Kompleks symbolisk metode

APPENDIKS B

Kompleks symbolisk metode

I tidssproget kan man beskrive en sinusformet varieret strøm ved funktionen $I(t)$

$$I(t) = I_{\max} \sin(\omega t + \beta) \quad [B.a]$$

hvor $I(t)$ er øjebliksstørmmen til tiden t ,
 t er tiden,
 I_{\max} er maksimalstrømmen,
 ω er vinkelhastighed og
 β er fasevinklen

Strømmen kan dog også repræsenteres ved en kompleks notation, man kan bruge den komplekse eksponentialfunktion som overgangsled. Det gælder at:

$$e^{jx} = \cos x + j \sin x \quad [B.b]$$

$\cos x$ udgør den reelle del af e^{jx} og $j \cdot \sin x$ udgør den imaginære del. Ligeledes gælder det at:

$$e^{j\omega t} = \cos \omega t + j \sin \omega t \quad [B.c]$$

her udgøres realdelen af $\cos \omega t$ og imaginær delen af $j \cdot \sin \omega t$. Da der for funktionen $I(t)$ indgår $\sin(\omega t + \beta)$ kan vi benytte den imaginære del af $e^{j\omega t}$ til at udtrykke $I(t)$.

$I(t)$ kan beskrives som den imaginære del af $I_{\max} e^{j(\omega t + \beta)}$ eller skrevet på en anden måde:

$$I(t) = \text{Im}[I_{\max} e^{j(\omega t + \beta)}] \quad [B.d]$$

$$\Rightarrow I(t) = \text{Im}[I_{\max} e^{j\beta} e^{j\omega t}] \quad [B.e]$$

Den tidsuafhængige del, $I_{\max} e^{j\beta}$, kalder vi den komplekse strøm

$$\hat{I} = I_{\max} e^{j\beta} \quad [B.f]$$

Sammenholdes dette med [A.e] fås:

$$I(t) = \text{Im}[\hat{I} e^{j\omega t}] \quad [B.g]$$

Kompleks symbolsk metode

Hvis vi har en sinus formet varieret spænding, kan denne, i tidssproget, udtrykkes ved funktionen $U(t)$.

$$U(t) = U_{\max} \sin(\omega t + \alpha) \quad [B.h]$$

Analogt med strømmen, vil spændingen, $U(t)$, ved kompleks notation, være udtrykt som:

$$U(t) = \text{Im}[U_{\max} e^{j(\omega t + \alpha)}] \quad [B.i]$$

Som før, indfører vi nu denn komplekse spænding, \hat{U} .

$$\hat{U} = U_{\max} e^{j\alpha} \quad [B.j]$$

Sammenholdes [B.j] med [B.i] ses det at det, ligeledes her, gælder at:

$$U(t) = \text{Im}[\hat{U} e^{j\omega t}] \quad [B.k]$$

Afbilder man $I(t)$ dvs. $I_{\max} \sin(\omega t + \beta)$ i et polært diagram, knytter der sig en vektor, med de polære kordinater (I_{\max}, β) dvs. længden af vektoren vil være I_{\max} og den vil være drejet β grader fra x-aksen.

Som ωt vokser vil vektoren bevæge sig i en cirkelbue omkring origo. Længden a af projktionen af vektoren ind på y-aksen, vil svare til øjebliksstømmen $I(t)$.

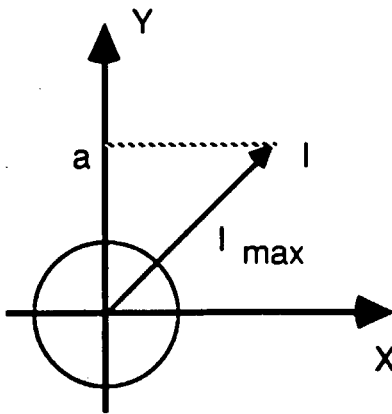


Fig B.a Afbildning af strømvektoren I .

Afbilder man ligeledes den komplekse strøm \hat{I} , og den komplekse spænding \hat{U} , i det komplekse plan, får man ligeledes at længden af vektorerne er hhv. I_{\max} og U_{\max} , samt at vinklerne til den reelle akse vil være hhv. β og α .

Kompleks symbolsk metode

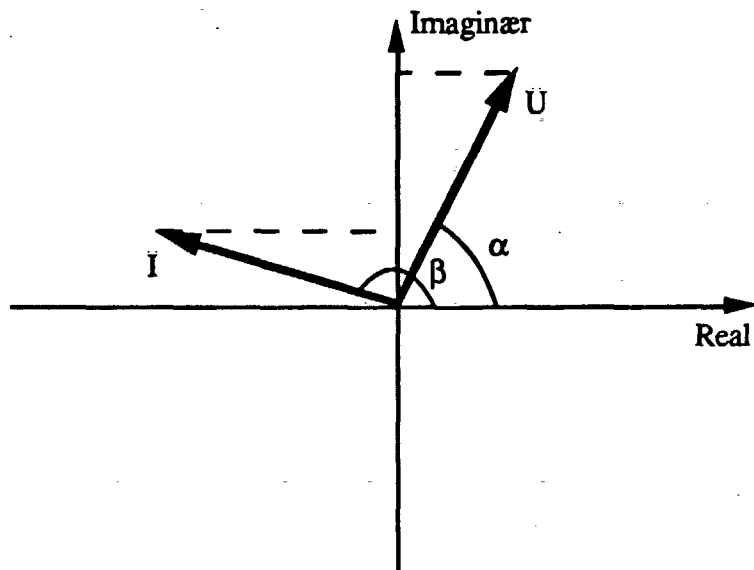


Fig. B.b Afbildning af den komplekse strøm og spænding i det komplekse plan.

Impedansen, Z , er defineret som forholdet mellem strøm og spænding. For et rent Ohm'sk kredsløb, gælder det at:

$$\frac{U}{I} = R \quad [B.1]$$

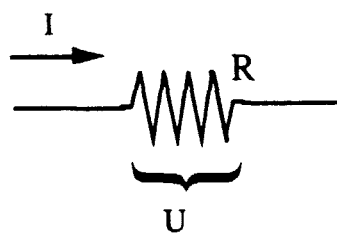


Fig B.c Strøm og spænding for en modstand.

dvs. impedansen af en modstand er R .

$$Z_{\text{modstand}} = R \quad [B.m]$$

Hvis vi ser på impedansen af en kondensator, er det lidt vanskeligere.

Kompleks symbolsk metode

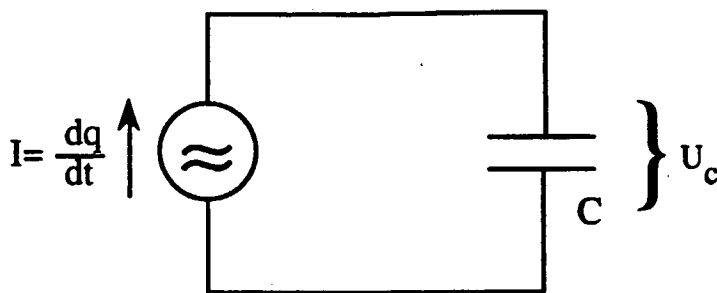


Fig. B.d Kredsløb med kondensator.

Det gælder at ændringen i ladning, dq , er proportional med ændringen i spændingen over kondensatoren, dU_C .

$$dq = C dU_C \quad [B.n]$$

Strømmen er defineret som ladningsændringen pr. tid:

$$I(t) = \frac{dq}{dt} \quad [B.o]$$

Denne differentialligning har løsningen:

$$U(t) = \frac{1}{C} \int I(t) dt + U_0 \quad [B.p]$$

Vi er ikke interesserede i indsvingningen, og kan se bort fra U_0 .

$$U(t) = \frac{1}{C} \int I(t) dt \quad [B.q]$$

Højre side af lighedstegnet integreres:

$$\frac{1}{C} \int \text{Im}[\hat{I} e^{j\omega t}] dt = \text{Im}\left[\frac{1}{j\omega} \hat{I} e^{j\omega t}\right] \quad [B.r]$$

og udtrykket kan skrives sammen til:

$$\text{Im}[\hat{U} e^{j\omega t}] = \text{Im}\left[\frac{1}{j\omega} \hat{I} e^{j\omega t}\right] \quad [B.s]$$

Kompleks symbolsk metode

eller på en kortere form:

$$\hat{U} = \frac{1}{j\omega} \hat{I} \quad [B.t]$$

Impedansen Z , for en kondensator er altså $1/j\omega C$.

$$Z_{\text{kondensator}} = \frac{\hat{U}}{\hat{I}} = \frac{1}{j\omega} \quad [B.u]$$

Vi kender nu impedanserne for både én kondensator og én modstand, lad os nu se på hvad der sker når flere impedanser sættes sammen i et kredsløb. Det kan vises at Kirchoffs love også gælder, når man regner med komplekse strømme og spændinger.

Hvis vi betragter to seriekoblede impedanser, Z_1 og Z_2 , vil der, ifølge Kirchoffs knudepunktslov, løbe den samme strøm gennem Z_1 og Z_2 .

$$I = I_1 = I_2 \quad [B.v]$$

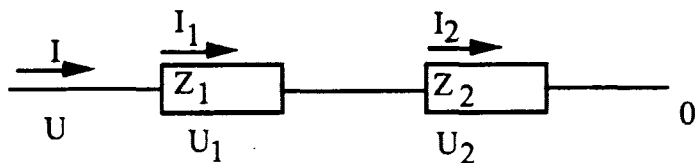


Fig B.e Serie forbindelse af impedanser.

Ifølge Kirchoffs maskelov, må det samlede spændingsfald U , være summen af spændingsfaldene over Z_1 og Z_2 .

$$U = U_1 + U_2 \quad [B.x]$$

Ved at indsætte de komplekse repræsentanter for strøm og spænding, ses det at:

$$\operatorname{Im}[\hat{U} e^{j\omega t}] = \operatorname{Im}[Z_1 + \hat{I} e^{j\omega t}] + \operatorname{Im}[Z_2 + \hat{I} e^{j\omega t}] \quad [B.y]$$

$$U(t) = \operatorname{Im}[(Z_1 + Z_2) \hat{I} e^{j\omega t}] \quad [B.z]$$

Kompleks symbolsk metode

Dvs. den samlede impedans i en serieforbindelse af impedanser, er lig med summen af de enkelte impedanser.

$$Z_{\text{serie}} = \sum_{i=0}^n Z_i \quad [B.\alpha]$$

Hvis vi ser på en parallelforbindelse af impedanserne Z_1 og Z_2 , vil spændingen over impedanserne være ens mens den samlede strøm vil være summen af strømmene gennem de to impedanser.

$$U = U_1 = U_2 \quad \text{og} \quad I = I_1 + I_2 \quad [B.\phi]$$

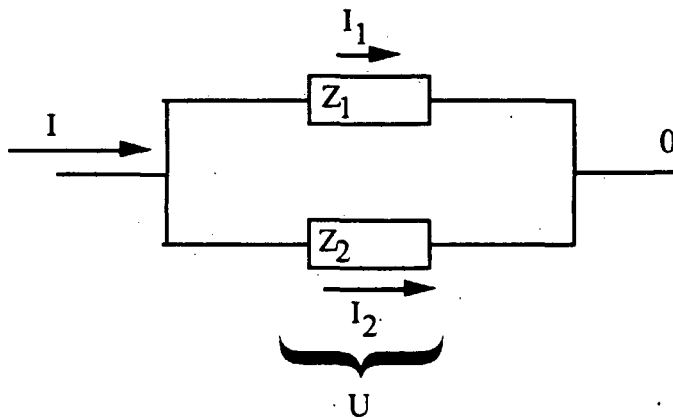


Fig. B.e Parallelforbindelse af impedanser.

Ved igen at indsætte de komplekse repræsentanter, fås at:

$$I(t) = \text{Im} \left[\frac{1}{Z_1} \hat{U} e^{j\omega t} \right] + \text{Im} \left[\frac{1}{Z_2} \hat{U} e^{j\omega t} \right] \quad [B.\ddot{\alpha}]$$

$$I(t) = \text{Im} \left[\left(\frac{1}{Z_1} + \frac{1}{Z_2} \right) \hat{U} \right] \quad [B.\text{aa}]$$

eller :

$$\hat{I} = \left(\frac{1}{Z_1} + \frac{1}{Z_2} \right) \hat{U} \quad [B.\text{ab}]$$

Kompleks symbolsk metode

Vi er interesserede i at finde \hat{U} / \hat{I} og får at:

$$Z = \frac{\hat{U}}{\hat{I}} = \left(\frac{1}{Z_1} + \frac{1}{Z_2} \right)^{-1}$$

[B.ac]

Heraf ses det, at den samlede impedans er summen af de reciprokke impedansværdier for de enkelte impedanser i minus første, såfremt impedanserne er parallelforbundet.

$$Z_{\text{parallel}} = \left(\sum_{i=0}^n \frac{1}{Z_i} \right)^{-1}$$

[B.ad]

Istedet for at beskrive forholdet mellem strøm og spænding ved impedanser, kan man vælge at gøre det med admittanser. Admittansen Y , er givet ved følgende udtryk:

$$Y = \frac{\hat{I}}{\hat{U}}$$

[B.ae]

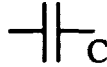
dette er blot det reciproke af Z , og vi har at:

$$Y = \frac{1}{Z}$$

[B.af]

Admittans kan oversættes med ledningsevne og impedans med ordet modstand. Men den komplekse impedans, Z , er ikke blot et tal der angiver hvor stor den Ohm'ske modstand er. Impedansen angiver dels den Ohm'ske modstand, men giver os også oplysninger om *faseforskydningen*.

Kompleks admittans værdier indeholder præcis de samme oplysninger om et system, som komplekse impedansværdier.

Netværks element	Y	Z
modstand 	$\frac{1}{R}$	R
kondensator 	$j\omega$	$\frac{1}{j\omega}$
serieforbindelse af	$Y = \left(\frac{1}{y_1} + \frac{1}{y_2} \right)^{-1}$	$Z = Z_1 + Z_2$
parallelforbindelse af	$Y = Y_1 + Y_2$	$Z = \left(\frac{1}{Z_1} + \frac{1}{Z_2} \right)^{-1}$

Tabel B.a

APPENDIKS C

Tunnellering gennem oxidlag

Dette afsnit tjener to formål :

- 1) At vise at modstanden er ens i de to oxidlag, og
- 2) at vise at R_{oxid} (R_1) falder med temperaturen

Tunnellering er et kvantemekanisk fænomen. Når en elektron passerer gennem en energibarriere, uden først at modtage energi, kaldes det tunnellering. Da silicium-oxid er en isolator, er tunnellering den eneste mulighed for elektrontransport gennem dette lag.

Tunnellering vil fortinsvis forekomme i et energiområde i bunden af ledningsbåndet i silicium, da tunnelleringssandsynligheden aftager stærkt, med energibarrierens højde (se figur C.a).

Den kvantemekaniske tunnelleringskoefficient A er givet ved følgende proportionalitetsforhold:

$$A = e^{-\frac{2}{\hbar} \int_0^1 \sqrt{2m[U(x)-E]} dx} \quad [\text{C.a}]$$

hvor $U(x)$: højden af barrieren som funktion af x ,

l : bredden af barrieren (se figur C.a),

$\hbar = 6,6 \cdot 10^{-34}$ eV·s : Plancks konstant

$m = 1 \cdot 10^{-30}$ kg : Elektronens masse

E : Elektronens energi

I vores tilfælde er $U(x)$ konstant, hvilket vil sige at potentialeforskellen over oxidlaget er nul.

Dette er i høj grad en antagelse, men skidt.

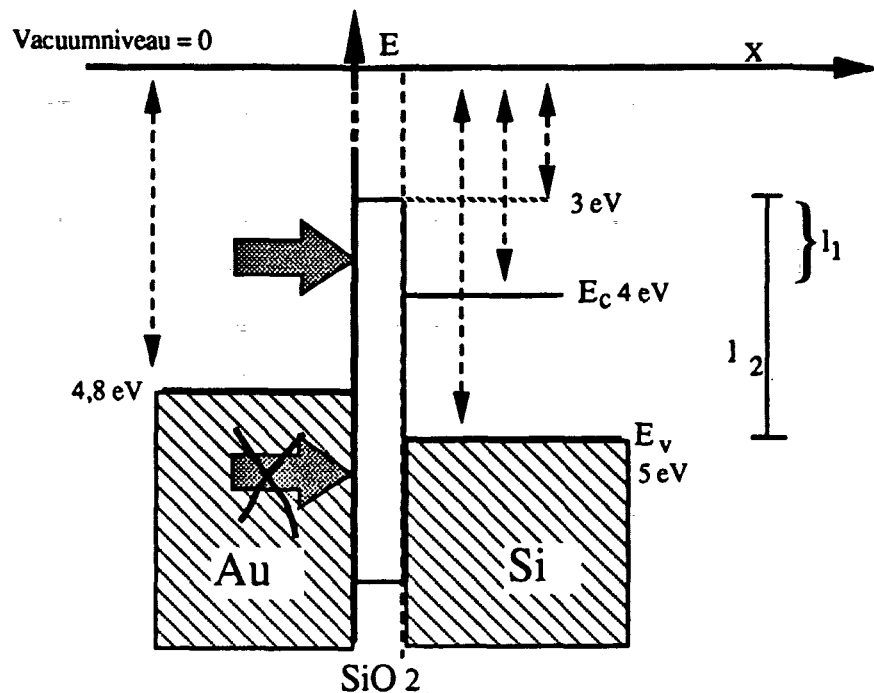
Vi definerer $U(E)$ som højden af energibarrieren, som elektronen med energien E skal passere :

$U(E) = U(x) - E$. Da $U(E)$ ikke ændrer sig i x -aksen, er :

$$A = e^{-\frac{2}{\hbar} \sqrt{2m} \sqrt{U(E)} \cdot l}$$

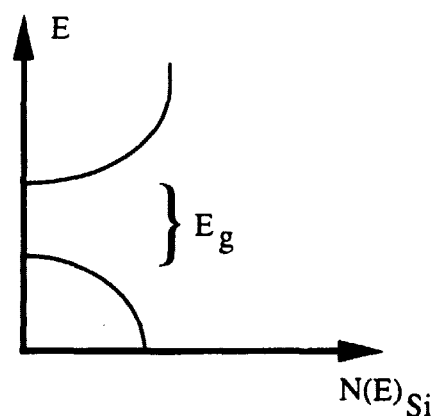
$$A = e^{-2 \cdot 10^8 \sqrt{U(E)}}$$

Oxidlag



Figur C.a Elektronerne bevæger sig igennem et område hvor de ikke har nogle energitilstande. Der foregår næsten ingen tunnelling mellem metallet og valensbåndet fordi L_2 er for stor.

Tunnelleringen ind i siliciumkristallen, kommer til at afhænge af elektrondensiteten i området over silliciums ledningsbånd i guldlaget, og af densiteten af ubesatte energiniveauer (ledige elektronpladser) over ledningsbåndet inde i krystallen. For at elektronen kan tunnellere, må der være et ubesat energiniveau på den anden side af barrieren, hvor den kan være. Funktionerne $N(E)_{\text{Si}}$ og $N(E)_{\text{Au}}$ bestemmer energiniveau-densiteten for hhv. silicium og guld.

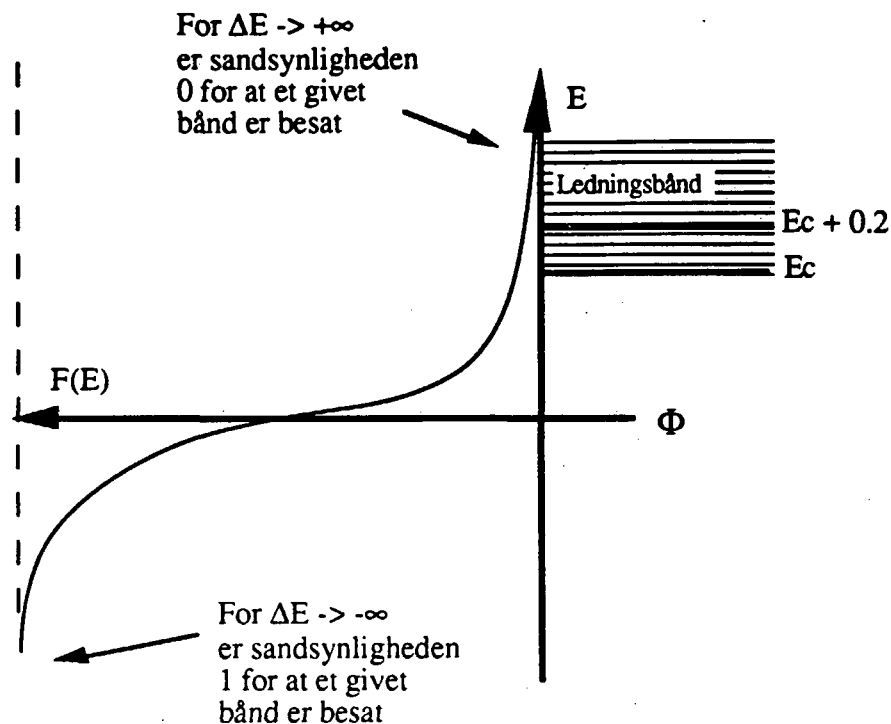


Figur C.b Energiniveau-densiteten i silicium. ($\text{eV}^{-1}\text{cm}^{-3}$)

Oxidlag

Sandsynligheden for at et bestemt energiniveau er besat, er bestemt af Fermi-Dirac-fordelingsfunktionen $F(E)$. Se formel (C.b).

$$F(E) = \frac{1}{e^{\Delta E/kT} + 1} \quad [C.b]$$



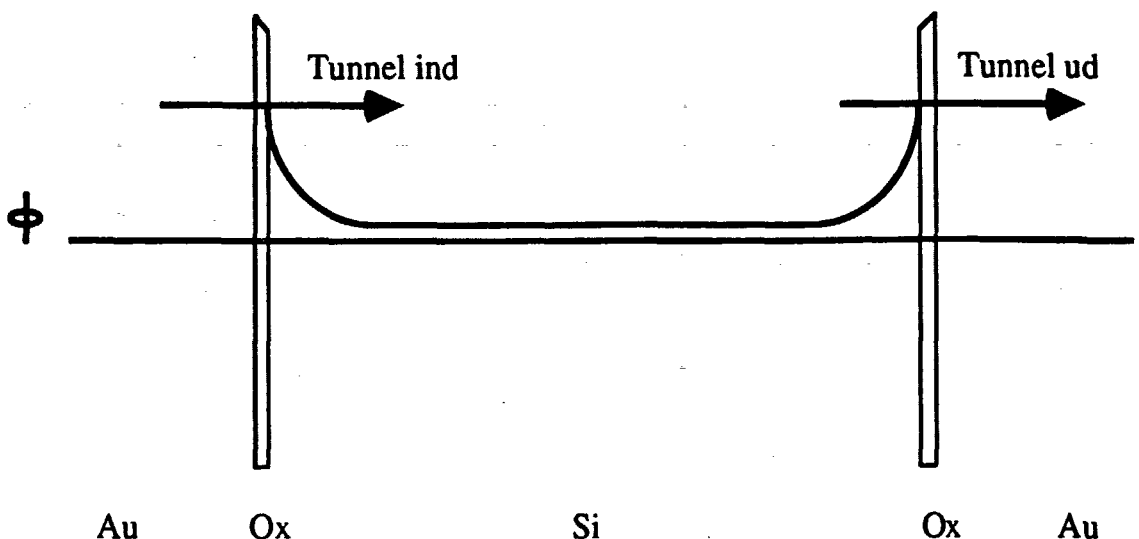
Figur C.c
E-

Figuren viser Fermi-Dirac fordelingen $F(E)$. Koordinatsystemet er tippet 90° , da det gør det lettere at sammenligne med andre grafer, hvor energiaksen tegnes opad. Bredden fra kurven til E -aksen udtrykker sandsynligheden for at et niveau er besat ved en given energi-højde. ΔE er energiniveauets afstand fra det kemiske potentiale ϕ i stoffet, k er Boltzmanns konstant ($8,62 \times 10^{-5}$ eV/K) og T er temperaturen i kelvin. Funktionen $(1-F(E))$ udtrykket sandsynligheden for at energiniveauet E ikke er besat.

Da ΔE skal ses i forhold til det elektrokemiske potentiale, har $F(E)$ altid den samme værdi for det samme energiniveau, hvis det elektrokemiske potentiale og temperaturen er ens. Det vil sige, at sandsynligheden for at et bestemt energiniveau er besat, er den samme på guld- og siliciumsiden, såfremt det elektrokemiske potential og temperaturen er ens. Det der adskiller elektrondensiteten i guld og silicium ved et bestemt sted på energiaksen, er derfor $N(E)_{Au}$ og $N(E)_{Si}$.

Se iøvrigt Physics Of Semiconductors v.2.s.271.

Oxidlag



Figur B.d Ledningsbåndet er afbøjet således, at der er en energibarriere for elektronerne både når de skal ud og når de skal ind i krystallen og ud af krystallen. Det elektrokemiske potentiale er det samme i guldlaget og i krystallen. Der sker ingen tunnelling gennem oxidlaget fordi det er ca 10^3 gang bredere end oxidlaget.

Kort efter pådampningen, når ligevægten er indtrådt (se afsnit 2.2), vil der altså gælde at $F(E)_{Au} = F(E)_{Si}$. Dette udnytter vi i det følgende.

Spørgsmålet er, om tunnelleringsstrømmen er lige stor ved tunnelling fra guld til silicium, som ved tunnelling fra silicium til guld.

Tætheden af elektroner et bestemt punkt på energiaksen, fås ved at gange sandsynligheden $F(E)$ for at et enkelt energiniveau er besat, med densiteten $N(E)$ af energiniveauer ved denne energi.

Ligeledes kan man opstille et udtryk for tætheden af ubesatte energiniveauer (ledige pladser) i et punkt på energiaksen, ved at gange densiteten $N(E)$ af energiniveauer med sandsynligheden $1-F(E)$ for at et energiniveau ikke er besat.

Tunnelleringsstrømmen (f.eks. fra guld til silicium) et bestemt punkt på energiaksen, er lig tætheden af elektroner $F(E) \cdot N(E)$ på guldsiden gange tætheden af "ledige pladser" $(1-F(E)) \cdot N(E)$ på siliciumsiden gange den kvantemekaniske tunnelleringskoefficient A .

Nu kan vi sammenligne tunnelleringsstrømmen fra guld ind i silicium med tunnelleringsstrømmen fra silicium ind i guld (se iøvrigt figur C.d).

[C.c]

$$F(E) \cdot N_{Au}(E) + (1-F(E)) \cdot N_{Si}(E) \cdot A \quad (Au \rightarrow Si) \\ = F(E) \cdot N_{Si}(E) + (1-F(E)) \cdot N_{Au}(E) \cdot A \quad (Si \rightarrow Au)$$

Man kan se af ovenstående at tunnelleringsstrømmen ved ligevægt er ens for de tunnelling ind og ud af krystallen.

Oxidlag

Af hensyn til det følgende vil vi gange venstresiden af (C.c) ud:

$$\begin{aligned} F(E) \cdot N_{Au}(E) &+ (1-F(E)) \cdot N_{Si}(E) = A \\ &= (-F^2(E) \cdot N_{Au}(E) \cdot N_{Si}(E) + F(E) \cdot N_{Au}(E) \cdot N_{Si}(E)) \cdot A \end{aligned}$$

(venstresiden er jo bekendt lig højresiden).

Det betyder at der er lige stor tunnelleringsstrøm, og dermed lige stor modstand i de to oxidlag ved ligevægt.

$F(E)$ ændres meget hurtigt ved ændringer i energiniveau E , idet kT i vores beregninger er meget lille (størrelsesorden $\approx 10^{-3}$).

Der kan som tidligere nævnt ikke foregå tunnelling i båndgabet. Og da $F(E)$ aftager kraftigt ved voksende E , begår vi ikke nogen stor fejl ved at sige at den væsentlige del af tunnellingen foregår i intervallet E_c til $E_c + 0.2\text{ eV}$. Vi antager endvidere at $N_{Au}(E)$, $N_{Si}(E)$ er konstante i dette lille interval (ellers bliver udregningerne alt for komplicerede).

Ledningsevnen i oxidlaget må være proportional med summen af alle tunnellerings-sandsynlighederne i intervallet : E_c til $E_c + 0.2\text{ eV}$.

$$\frac{1}{R} \sim \int_{E_c}^{E_c + 0.2\text{ eV}} N_{Au}(E) \cdot N_{Si}(E) \cdot (-F^2(E) + F(E)) \cdot A(E) \text{ d}E \quad [\text{C.d}]$$

[C.e]

$$\sim N_{Au}(E) \cdot N_{Si}(E) \int_{E_c}^{E_c + 0.2\text{ eV}} \left(\left(\frac{1}{e^{\Delta E/kT} + 1} \right)^2 + \frac{1}{e^{\Delta E/kT} + 1} \right) e^{-2 \cdot 10^{-8} \sqrt{1.8 - \Delta E}} \text{ d}E$$

I formlen er $U(E)$ skiftet ud med $U(1.8\text{ eV} - \Delta E)$, idet vi definerer E i forhold til det elektrokemiske potentiale. Forskellen mellem det elektrokemiske potentiale og højden af energibarrieren er netop 1.8 eV (Se figur C.a).

Da vi ved at ΔE er i størrelsesordenen 0.8 eV, og temperaturen 80-300 K kan se bort fra det første led i formlen. I det interval vi arbejder med (Ec til Ec + 0.2) er sidste led i (C.e) tilnærmelsesvis 1. Derfor kan (C.e) skrives :

$$\frac{1}{R} \sim \int_{Ec}^{\infty} \frac{1}{e^{\Delta E/kT} + 1} dE \quad [C.f]$$

Desuden er $e^{\Delta E/kT}$ så stor, at 1-tallet ikke har nogen betydning, hvilket leder frem til det gode og overskuelige resultat (og ekstremt rigtige) :

$$\frac{1}{R} \sim \int_{Ec}^{\infty} e^{\Delta E/kT} dE \sim kT e^{-\Delta E/kT}$$

Eksponentialfunktionen er uhyggelig følsom over for ændringer i T. I intervallet 80 til 300 K stiger den over 20 dekader. Koefficienten k·T er også temperaturafhængig, men ikke i samme grad. Ud fra disse lidt overfladiske betragtninger konkluderer vi at R falder kraftigt med temperaturen.

APPENDIKS D : Anvendt apperatur.

Kryostat med special måleprobe.

Helwett - Packard HP 4197 A

Olivetti M 24, PC.

Opsamlingsprogram i ASYST, lavet af Niels Boye Olsen og Jan Vedde.



Epilog

'And you're ready to give it to us?' urged Loonquawl.

'I am.'

'Now?'

'Now,' said Deep Thought.

They licked there dry lips.

'Though I don't think,' added Deep Thought, that you're going to like it.'

'Doesn't matter!' said Phouchg. 'We must know it! Now!'

'Now?' inquired Deep Thought.

'Yes now...'

'Allright,' said the computer and settled into silence again.

The two men fidgeted. The tension was unbearable.

'You're really not going to like it,' observed Deep Thought.

'Tell us!'

'Allright,' said Deep Thought. 'The answer to the Great Question...'

'Yes...!'

'Of Life, the Universe and Everything...' said Deep Thought.

'Yes...!'

'Is...' said Deep Thought, and paused.

'Yes...!'

'Is...'

'Yes...!!!...?'

'Forty-two,' said Deep Thought, with infinite majesty and calm.

.....

It was a long time before anyone spoke. Out of the corner of his eye Phouchg could see the sea of tense expectant faces down in the square outside.

'We're going to get lynched aren't we?' he whispered.

'It was a tough assignment,' said Deep Thought mildly.

'Forty-two!' yelled Loonquawl. 'Is that all you've got to show for seven and a half million years of work?'

Epilog

'I checked it very thoroughly,' said the computer, 'and that quite definitely is the answer. I think the problem, to be quite honest with you, is that you've never actually known what the question is.'

'But it was the Great Question! The Ultimate Question Of Life, the Universe and Everything,' howled Loonquawl.

'Yes said Deep Thought with the air of one who suffers fools gladly, 'but what actually is it?'

A slow stupified silence crept over the men as they stared at the computer and then at each other.

'Well, you know, it's just Everything ... Everything ...' offered Phouchg weakly.
'Exactly!' said Deep Thought. 'So when you do know what the Question actually is, you'll know what the answer means.'



Citatet er fra bogen 'The Hitch Hiker's Guide to the Galaxy' af Douglas Adams.
Som supplerende bemærkning kan vi oplyse, at vores idiomdige vejleder Petr Viszor er født i 1947 ...

Litteraturliste

Litteraturliste

Forfatter	Titel, forlag, år
1) Ashcroft, N.W Mermin, N.D	"Solid State Physics", Holt-saunders International Editions (1981).
2) Davydov, A.S	"Quantum Mechanics, 2nd Edition", Pergamon Press (1973).
3) Fraser, D.A	"The Physics of semicunductor devices", Clarendon press, Oxford (1984).
4) Hall, H.E	"Solid State Physics", John Wiley and sons (1974).
5) Harrison, W.A	"Elektronic Structure and the Properties of Solids", W.H. Freeman and company, San Francisco (1980).
6) Jonscher, A.K	"Dielectric Relaxation in Solids", Chelsea Dielectrics Press, London (1983).
7) Krag, E. m.fl.	"Anvendt elektricitetslære bind I", Danmarks Ingenørakademi Elektroafdelingen (1982).
8) Krag, E. m.fl.	"Anvendt elektricitetslære bind II", Danmarks Ingenørakademi Elektroafdelingen (1982).
9) Krag, E. m.fl.	"Elementær elektrostatik", Danmarks Ingenørakademi Elektroafdelingen (1979).
10) Krag, E. m.fl.	"Elementær Magnetismelære", Danmarks Ingenørakademi Elektroafdelingen (1979).
11) Knight, R.	"Mathematics for electronics",

Litteraturliste

- The Open University Press (1972).
- 12) Larsen, J.H. og Sørensen, Palle "Kredsløbsteknik - grundlæggende begreber og metoder, Noter i almindelig Elektroteknik nr. 19", Danmarks Ingeniørakademi Elektroafdelingen (1973).
- 13) Martin H. og Helligsøe j. "Maskintegning", Erhvervsskolernes forlag, Odense (1982).
- 14) Nicollian, E.H "M.O.S (Metal Oxide Semiconductor) physics and teknology", John Wiley and sons (1982).
- 15) Staffansson, E, Andersson, B. og Johansson, K.E "Fysik i grundtræk - 3A vekselstrøms elektronik", Munksgaard (1976).
- 16) Stowe, K "Introduction to statistical mechanics and thermodynamics", John Wiler and Sons (1984).
- 17) Sze, S.M. "Physics of Semiconductor Devices", John Wiler and Sons (1981).
- 18) Valkenburg, M.E "Network Analysis", Prentice-Hall, Inc. (1965).

SYMBOLISTE.

- A : Areal. [m^2]
C : Kapacitans. [F] Farad.
 C_b : Bulkkapacitans. [F]
 C_d : Depletionkapacitans. [F]
 C' : Realdelen af den komplekse kapacitans. [F]
 d : Afstanden mellem kondensatorpladerne. [m]
e : Elementarladningen : $1.602 \cdot 10^{-19} C$
E : Elektrisk felt. [$V \cdot m^{-1}$]
 E_c : Energiniveau for ledningsbånd. (c : conduction) [eV]
 E_g : Energigabets størrelse. ($E_g = E_c - E_v$) [eV]
 E_v : Energiniveau for valensbånd. (v : valens) [eV]
f : Frekvens [Hz] Hertz.
 $F(E)$: Fermi-Dirac sandsynlighedsfordelingen.
 \hbar : Reduceret Planck's konstant : $1.05458 \cdot 10^{-34} J \cdot s (h/2\pi)$
I : Strøm [A] Ampere.
j : Den imaginære enhed. ($j \cdot j = -1$)
 J_t : Tunnellerings-strømtæthed. [$A \cdot m^{-2}$]
k : Boltzmanns konstant : $1.381 \cdot 10^{-23} J/K$.
n : Koncentrationen af elektroner. [m^{-3}]
 n_{n+p} : Koncentrationen af ladningsbærere. [m^{-3}]
 N_a : Koncentrationen af acceptoratomer. [m^{-3}]
 N_d : Koncentrationen af donoratomer. [m^{-3}]
 $N(E)$: Tæthed af energiniveauer. [$eV^{-1} \cdot cm^{-3}$]
p : Koncentrationen af huller. [m^{-3}]
 Q, q : Elektrisk ladning. [C] Coulomb.
R : Resistans, modstand. [Ω] Ohm.
 R_b : Bulk-modstanden. [Ω]
 R_d : Depletion-modstanden. [Ω]
T : Den absolutte temperatur. [K] Kelvin.
V : Potentiale. [V] Volt.
W : Depletionlagets tykkelse. [m]
 x, dx : Refererer til aftande i matrialet. [m]
 x_d : Afstanden fra overfladen til depletionlagets ophør. [m]
 $-x_{Au}$: Tykkelsen på gulddaget. [m]

Symbolliste

- Y : Den komplekse admittans. [S] Siemens.
 Y' : Realdelen af den komplekse admittans. [S] Siemens.
 Z : Den komplekse impedans. [Ω] Ohm.
 Z' : Realdelen af den komplekse impedans. [Ω] Ohm.
 β : Fasevinkel mellem strøm og spænding. [rad]
 ϵ_0 : Vacuum-dielektricitetskonstanten : $8.85 \cdot 10^{-12}$ F/m.
 ϵ_r : Matriale dielektricitetskonstanten.
 ϵ_{pot} : Potentiel energi. [eV]
 Φ : Elektrokemisk potentiale. [eV]
 λ : Mobilitet. [$m^2 \cdot s^{-1} \cdot V^{-1}$]
 $\mu, \Delta\mu$: Kemisk potentiale, forskel i kemisk potentiale. [eV]
 ρ : Ladningsdensitet. (Ladningskoncentration). [$C \cdot cm^{-3}$]
 σ : Specifik ledningsevne. [S·m]
 τ : Tidskonstanten. ($R \cdot C = \tau$) [s]
 ω : Vinkelfrekvens : $\omega = 2 \cdot \pi \cdot f$ [s^{-1}]

- 1/78 "TANKER OM EN PRAKSIS" - et matematikprojekt.
Projektrapport af: Anne Jensen, Lena Linden-skov, Marianne Kesselhahn og Nicolai Lomholt.
Vejleder: Anders Madsen
- 2/78 "OPTIMERING" - Menneskets forøgede beher-skelsesmuligheder af natur og samfund.
Projektrapport af: Tom J. Andersen, Tommy R. Andersen, Gert Krenøe og Peter H. Lassen
Vejleder: Bernhelm Booss.
- 3/78 "OPGAVESAMLING", breddekursus i fysik.
Af: Lasse Rasmussen, Aage Bonde Kræmer og Jens Højgaard Jensen.
- 4/78 "TRE ESSAYS" - om matematikundervisning, matematiklæreruddannelsen og videnskabs-rindalismen.
Af: Mogens Niss
Nr. 4 er p.t. udgået.
- 5/78 "BIBIOGRAFISK VEJLEDNING til studiet af DEN MODERNE FYSIKS HISTORIE".
Af: Helge Kragh.
Nr. 5 er p.t. udgået.
- 6/78 "NOGLE ARTIKLER OG DEBATINDLEGG OM - lærer-uddannelse og undervisning i fysik, og - de naturvidenskabelige fags situation efter studenteroprøret".
Af: Karin Beyer, Jens Højgaard Jensen og Bent C. Jørgensen.
- 7/78 "MATEMATIKKENS FORHOLD TIL SAMFUNDSØKONOMIEN".
Af: B.V. Gnedenko.
Nr. 7 er udgået.
- 8/78 "DYNAMIK OG DIAGRAMMER". Introduktion til energy-bond-graph formalismen.
Af: Peder Voetmann Christiansen.
- 9/78 "OM PRAKSIS' INDFLYDELSE PÅ MATEMATIKKENS UD-VIKLING". - Motiver til Kepler's: "Nova Stereometria Doliorum Vinarium".
Projektrapport af: Lasse Rasmussen.
Vejleder: Anders Madsen.
-
- 10/79 "TERMODYNAMIK I GYMNASIET".
Projektrapport af: Jan Christensen og Jeanne Mortensen,
Vejledere: Karin Beyer og Peder Voetmann Christiansen.
- 11/79 "STATISTISKE MATERIALER".
Af: Jørgen Larsen.
- 12/79 "LINEÆRE DIFFERENTIALLIGNINGER OG DIFFERENTIALLIGNINGSSYSTEMER".
Af: Mogens Brun Heefelt.
Nr. 12 er udgået.
- 13/79 "CAVENDISH'S FORSØG I GYMNASIET".
Projektrapport af: Gert Kreinøe.
Vejleder: Albert Chr. Paulsen.
- 14/79 "BOOKS ABOUT MATHEMATICS: History, Philosophy, Education, Models, System Theory, and Works of".
Af: Else Høyrup.
Nr. 14 er p.t. udgået.
- 15/79 "STRUKTUREL STABILITET OG KATASTROFER i systemer i og udenfor termodynamisk ligevægt".
Specialeopgave af: Leif S. Striegler.
Vejleder: Peder Voetmann Christiansen.
- 16/79 "STATISTIK I KREFTFORSKNINGEN".
Projektrapport af: Michael Olsen og Jørn Jensen.
Vejleder: Jørgen Larsen.
- 17/79 "AT SPØRGE OG AT SVARE i fysikundervisningen".
Af: Albert Christian Paulsen.
- 18/79 "MATHEMATICS AND THE REAL WORLD", Proceedings af an International Workshop, Roskilde University Centre, Denmark, 1978.
Preprint.
Af: Bernhelm Booss og Mogens Niss (eds.)
- 19/79 "GEOMETRI, SKOLE OG VIRKELIGHED".
Projektrapport af: Tom J. Andersen, Tommy R. Andersen og Per H.H. Larsen.
Vejleder: Mogens Niss.
- 20/79 "STATISTISKE MODELLER TIL BESTEMMELSE AF SIKRE DOSER FOR CARCINOGENE STOFFER".
Projektrapport af: Michael Olsen og Jørn Jensen.
Vejleder: Jørgen Larsen
- 21/79 "KONTROL I GYMNASIET-FORMAL OG KONSERVENSER".
Projektrapport af: Crilles Bacher, Per S. Jensen, Preben Jensen og Torben Nysteen.
- 22/79 "SEMIOTIK OG SYSTEMEGENSKABER (1)".
1-port lineært response og støj i fysikken.
Af: Peder Voetmann Christiansen.
- 23/79 "ON THE HISTORY OF EARLY WAVE MECHANICS - with special emphasis on the role of relativity".
Af: Helge Kragh.
-
- 24/80 "MATEMATIKOPFATTELSER HOS 2.G'ERE".
a+b 1. En analyse. 2. Interviewmateriale.
Projektrapport af: Jan Christensen og Knud Lindhardt Rasmussen.
Vejleder: Mogens Niss.
- 25/80 "EKSAMENSOPGAVER", Dybdemodulet/fysik 1974-79.
- 26/80 "OM MATEMATISKE MODELLER".
En projektrapport og to artikler.
Af: Jens Højgaard Jensen m.fl.
- 27/80 "METHODOLOGY AND PHILOSOPHY OF SCIENCE IN PAUL DIRAC'S PHYSICS".
Af: Helge Kragh.
- 28/80 "DILLENTRISK RELAXATION - et forslag til en ny model bygget på væskernes viscoelastiske egen-skaber".
Projektrapport af: Gert Kreinøe.
Vejleder: Niels Boye Olsen.
- 29/80 "ODIN - undervisningsmateriale til et kursus i differentialalligningsmodeller".
Projektrapport af: Tommy R. Andersen, Per H.H. Larsen og Peter H. Lassen.
Vejleder: Mogens Brun Heefelt.
- 30/80 "FUSIONENERGIEN - - - ATOMSAMFUNDETS ENDESTATTION".
Af: Oluf Danielsen.
Nr. 30 er udgået.
- 31/80 "VIDENSKABSTEORETISCHE PROBLEMER VED UNDERSVINS-SYSTEMER BASERET PÅ MØNGELEIRE".
Projektrapport af: Troels Lange og Jørgen Karrebæk.
Vejleder: Stig Andur Pedersen.
Nr. 31 er p.t. udgået.
- 32/80 "POLYMERES STOFFERS VISCOELASTISCHE EGENSKABER - BELYST VED HJÆLP AF MEKANISCHE IMPEDANSMÅLINGER - GER MØSSBAUEREFPEKTMÅLINGER".
Projektrapport af: Crilles Bacher og Preben Jensen.
Vejledere: Niels Boye Olsen og Peder Voetmann Christiansen.
- 33/80 "KONSTITUERING AF FAG INDEN FOR TEKNISK - NATURVIDENSKABELIGE UDDANNELSER. I-II".
Af: Arne Jakobsen.
- 34/80 "ENVIRONMENTAL IMPACT OF WIND ENERGY UTILIZATION".
ENERGY SERIES NO. I.
Af: Bent Sørensen
Nr. 34 er udgået.

35/80 "HISTORISKE STUDIER I DEN NYERE ATOMFYSIKS UDVIKLING".
Af: Helge Kragh.

36/80 "HVAD ER MENINGEN MED MATEMATIKUNDERVISNINGEN?".
Fire artikler.
Af: Mogens Niss.

37/80 "RENEWABLE ENERGY AND ENERGY STORAGE".
ENERGY SERIES NO. 2.
Af: Bent Sørensen.

38/81 "TIL EN HISTORIETEORI OM NATURERKENDELSE, TECNOLOGI OG SAMFUND".
Projektrapport af: Erik Gade, Hans Hedal, Henrik Lau og Finn Physant.
Vejledere: Stig Andur Pedersen, Helge Kragh og Ib Thiersen.
Nr. 38 er p.t. udgået.

39/81 "TIL KRITIKKEN AF VÆKSTVKONOMIEN".
Af: Jens Højgaard Jensen.

40/81 "TELEKOMMUNIKATION I DANMARK - opslag til en teknologivurdering".
Projektrapport af: Arne Jørgensen, Bruno Petersen og Jan Vedde.
Vejleder: Per Nørgaard.

41/81 "PLANNING AND POLICY CONSIDERATIONS RELATED TO THE INTRODUCTION OF RENEWABLE ENERGY SOURCES INTO ENERGY SUPPLY SYSTEMS".
ENERGY SERIES NO. 3.
Af: Bent Sørensen.

42/81 "VIDENSKAB SAMFUND - En introduktion til materialistiske videnskabsopfattelser".
Af: Helge Kragh og Stig Andur Pedersen.

43/81 1. "COMPARATIVE RISK ASSESSMENT OF TOTAL ENERGY SYSTEMS".
2. "ADVANTAGES AND DISADVANTAGES OF DECENTRALIZATION".
ENERGY SERIES NO. 4.
Af: Bent Sørensen.

44/81 "HISTORISKE UNDERSØGELSER AF DE EKSPERIMENTELLE FORUDSENINGER FOR RUTHERFORDS ATOMMODEL".
Projektrapport af: Niels Thor Nielsen.
Vejleder: Bent C. Jørgensen.

45/82 Er aldrig udkommet.

46/82 "EKSEMPLARISK UNDERVISNING OG FYSISK ERKENDELSE - 1+11 ILLUSTRERET VED TO EKSEMPLER".
Projektrapport af: Torben O. Olsen, Lasse Rasmussen og Niels Dreyer Sørensen.
Vejleder: Bent C. Jørgensen.

47/82 "BARSEBÄCK OG DET VERST OFFICIELT-TENKELIGE UHELD".
ENERGY SERIES NO. 5.
Af: Bent Sørensen.

48/82 "EN UNDERSØGELSE AF MATEMATIKUNDERVISNINGEN PÅ ADGANGSKURSUS TIL KØBENHAVNS TEKNIKUM".
Projektrapport af: Lis Eilertzen, Jørgen Karrebæk, Troels Lange, Preben Nørregaard, Lissi Pedesen, Laust Rishøj, Lill Ron og Isaac Showiki.
Vejleder: Mogens Niss.

49/82 "ANALYSE AF MULTISPEKTRALE SATELLITBILLEDER".
Projektrapport af: Preben Nørregaard.
Vejledere: Jørgen Larsen og Rasmus Ole Rasmussen.

50/82 "HERSLEV - MULIGHEDER FOR VEDVAREnde ENERGI I EN LANDSBY".
ENERGY SERIES NO. 6.
Rapport af: Bent Christensen, Bent Hove Jensen, Dennis B. Møller, Bjarne Laursen, Bjarne Lillethorup og Jacob Mørch Pedersen.
Vejleder: Bent Sørensen.

51/82 "HVAD KAN DER GØRES FOR AT AFHJELPE PIGERS BLOKERING OVERFOR MATEMATIK ?".
Projektrapport af: Lis Eilertzen, Lissi Pedersen, Lill Ron og Susanne Stender.

52/82 "DESUSPENSION OF SPLITTING ELLIPTIC SYMBOLS".
Af: Bernhelm Booss og Krzysztof Wojciechowski.

53/82 "THE CONSTITUTION OF SUBJECTS IN ENGINEERING EDUCATION".
Af: Arne Jacobsen og Stig Andur Pedersen.

54/82 "FUTURES RESEARCH" - A Philosophical Analysis of Its Subject-Matter and Methods.
Af: Stig Andur Pedersen og Johannes Witt-Hansen.

55/82 "MATEMATISCHE MODELLER" - litteratur på Roskilde Universitetsbibliotek.
En biografi.
Af: Else Høyrup.

Vedr. tekst nr. 55/82 se også tekst nr. 62/83.

56/82 "EN - TO - MANGE" -
En undersøgelse af matematisk økologi.
Projektrapport af: Troels Lange.
Vejleder: Anders Madsen.

57/83 "ASPECT EKSPERIMENTET" -
Skjulte variable i kvantemekanikken?
Projektrapport af: Tom Juul Andersen.
Vejleder: Peder Voetmann Christiansen.
Nr. 57 er udgået.

58/83 "MATEMATISCHE VANDRINGER" - Modelbetragninger over spredning af dyr mellem småbøtoper i agerlandet.
Projektrapport af: Per Hammershøj Jensen og Lene Vagn Rasmussen.
Vejleder: Jørgen Larsen.

59/83 "THE METHODOLOGY OF ENERGY PLANNING".
ENERGY SERIES NO. 7.
Af: Bent Sørensen.

60/83 "MATEMATISK MODELKUNST" - et eksempel.
Projektrapport af: Erik O. Gade, Jørgen Karrebæk og Preben Nørregaard.
Vejleder: Anders Madsen.

61/83 "FYSIKS IDIOLOGISKE FUNKTION, SOM ET EKSEMPEL PÅ EN NATURVIDENSKAB - HISTORISK SET".
Projektrapport af: Annette Post Nielsen.
Vejledere: Jens Høyrup, Jens Højgaard Jensen og Jørgen Vogelius.

62/83 "MATEMATISCHE MODELLER" - Litteratur på Roskilde Universitetsbibliotek.
En biografi 2. rev. udgave.
Af: Else Høyrup.

63/83 "CREATING ENERGY FUTURES: A SHORT GUIDE TO ENERGY PLANNING".
ENERGY SERIES NO. 8.
Af: David Crossley og Bent Sørensen.

64/83 "VON MATEMATIK UND KRIEG".
Af: Bernhelm Booss og Jens Høyrup.

65/83 "ANVENDT MATEMATIK - TEORI ELLER PRAKSIS".
Projektrapport af: Per Hedegård Andersen, Kirsten Habekost, Carsten Holst-Jensen, Annelise von Moos, Else Marie Pedersen og Erling Møller Pedersen.
Vejledere: Bernhelm Booss og Klaus Grünbaum.

66/83 "MATEMATISCHE MODELLER FOR PERIODISK SELEKTION I ESCHERICHIA COLI".
Projektrapport af: Harrie Lisbet Andersen, Ole Richard Jensen og Klavs Friis Dahl.
Vejledere: Jørgen Larsen og Anders Hede Madsen.

67/83 "ELEPSOILDE METODEN - EN NY METODE TIL LINEÆR PROGRAMMERING?".
Projektrapport af: Lone Biilmann og Lars Boye.
Vejleder: Mogens Brun Heefelt.

68/83 "STOKASTISCHE MODELLER I POPULATIONSGENETIK" - til kritikken af teoriladede modeller.
Projektrapport af: Lise Odgård Gade, Susanne Hansen, Michael Hvilsted og Frank Mølgård Olsen.
Vejleder: Jørgen Larsen.

- 69/83 "ELEVFORUDSENINGER I FYSIK"
 - en test i 1.g med kommentarer.
 Af: Albert C. Paulsen.
- 70/83 "INDLÆRNINGS - OG FORMIDLINGSPROBLEMER I MATEMATIK PÅ VORSENUNDERVISNINGSNIVEAU".
 Projektrapport af: Hanne Lisabet Andersen, Torben J. Andreassen, Svend Age Houmann, Helle Glerup Jensen, Keld Fl. Nielsen, Lene Yagn Rasmussen.
 Vejleder: Klaus Grünbaum og Anders Bede Madsen.
- 71/83 "PIGER OG FYSIK"
 - et problem og en udfordring for skolen?
 Af: Karin Beyer, Sussanne Bleagaard, Birthe Olsen, Jette Reich og Mette Vedelsby.
- 72/83 "VERDEN I PÅLGE PEIRCE" - to metafysiske essays, om og af C.S. Peirce.
 Af: Peder Voetmann Christiansen.
- 73/83 ""EN ENERGIANALYSE AF LANDBRUG"
 - økologisk contra traditionelt.
 ENERGY SERIES NO. 9
 Specialeopgave i fysik af: Bent Hove Jensen.
 Vejleder: Bent Sørensen.
-
- 74/84 "MINIATURISERING AF MIKROELEKTRONIK" - om videnskabeliggjort teknologi og nytten af at lære fysik.
 Projektrapport af: Bodil Harder og Linda Szkołak Jensen.
 Vejledere: Jens Højgaard Jensen og Bent C. Jørgensen.
- 75/84 "MATEMATIKUNDERVISNINGEN I FREMTIDENS GYMNASIUM"
 - Case: Lineær programmering.
 Projektrapport af: Morten Blomhøj, Klavs Frisdahl og Frank Molgaard Olsen.
 Vejledere: Mogens Brun Heefelt og Jens Bjørneboe.
- 76/84 "KERNEKRAFT I DANMARK?" - Et høringsvar indkaldt af miljøministeriet, med kritik af miljøstyrelsens rapporter af 15. marts 1984.
 ENERGY SERIES No. 10
 Af: Niels Boye Olsen og Bent Sørensen.
- 77/84 "POLITISKE INDEKS - FUP ELLER FAKTA?"
 Opinionsundersøgelser belyst ved statistiske modeller.
 Projektrapport af: Svend Age Houmann, Keld Nielsen og Susanne Stender.
 Vejledere: Jørgen Larsen og Jens Bjørneboe.
- 78/84 "JAVNSTROMSLEDDINGSEVNE OG GITTERSTRUKTUR I AMORFT GERMANIUM".
 Specialrapport af: Hans Medal, Frank C. Ludvigsen og Finn C. Physant.
 Vejleder: Niels Boye Olsen.
- 79/84 "MATEMATIK OG ALMENDANNELSE".
 Projektrapport af: Henrik Coester, Mikael Wennerberg Johansen, Povl Kattler, Birgitte Lydholm og Morten Overgaard Nielsen.
 Vejleder: Bernhelm Booss.
- 80/84 "KURSUSMATERIALE TIL MATEMATIK B".
 Af: Mogens Brun Heefelt.
- 81/84 "PRÆVENSAPHANIG LEDDINGSEVNE I AMORFT GERMANIUM".
 Specialrapport af: Jørgen Wind Petersen og Jan Christensen.
 Vejleder: Niels Boye Olsen.
- 82/84 "MATEMATIK - OG FYSIKUNDERVISNINGEN I DET AUTO-MATISEREDE SAMFUND".
 Rapport fra et seminar afholdt i Hvidovre 25-27 april 1983.
 Red.: Jens Højgaard Jensen, Bent C. Jørgensen og Mogens Niss.
- 83/84 "ON THE QUANTIFICATION OF SECURITY":
 PEACE RESEARCH SERIES NO. I
 Af: Bent Sørensen
 nr. 83 er p.t. udgået
- 84/84 "NOGLE ARTIKLER OM MATEMATIK, FYSIK OG ALMENDANNELSE".
 Af: Jens Højgaard Jensen, Mogens Niss m. fl.
- 85/84 "CENTRIFUGALREGULATORER OG MATEMATIK".
 Specialrapport af: Per Hedegård Andersen, Carsten Holst-Jensen, Else Marie Pedersen og Erling Møller Pedersen.
 Vejleder: Stig Andur Pedersen.
- 86/84 "SECURITY IMPLICATIONS OF ALTERNATIVE DEFENSE OPTIONS FOR WESTERN EUROPE".
 PEACE RESEARCH SERIES NO. 2
 Af: Bent Sørensen.
- 87/84 "A SIMPLE MODEL OF AC HOPPING CONDUCTIVITY IN DISORDERED SOLIDS".
 Af: Jeppe C. Dyre.
- 88/84 "RISE, FALL AND RESURRECTION OF INFINITE ISOMORPHISMS".
 Af: Detlef Laugwitz.
- 89/84 "FJERNVARMEOPTIMERING".
 Af: Bjarne Lillethorup og Jacob Mørch Pedersen.
- 90/84 "ENERGI I 1.G - EN TEORI FOR TILRETTELÆGGELSE".
 Af: Albert Chr. Paulsen.
-
- 91/85 "KVANTETEORI FOR GYMNASIET".
 1. Lærervejledning
 Projektrapport af: Biger Lundgren, Henning Sten Hansen og John Johansson.
 Vejleder: Torsten Meyer.
- 92/85 "KVANTETEORI FOR GYMNASIET".
 2. Materiale
 Projektrapport af: Biger Lundgren, Henning Sten Hansen og John Johansson.
 Vejleder: Torsten Meyer.
- 93/85 "THE SEMIOTICS OF QUANTUM - NON - LOCALITY".
 Af: Peder Voetmann Christiansen.
- 94/85 "TRENINGSHEDEN BOURBAKI - generalen, matematikeren og ånden".
 Projektrapport af: Morten Blomhøj, Klavs Frisdahl og Frank M. Olsen.
 Vejleder: Mogens Niss.
- 95/85 "AN ALTERNATIVE DEFENSE PLAN FOR WESTERN EUROPE".
 PEACE RESEARCH SERIES NO. 3
 Af: Bent Sørensen
- 96/85 "ASPERTER VED KRAFTVARMEFORSYNING".
 Af: Bjarne Lillethorup.
 Vejleder: Bent Sørensen.
- 97/85 "ON THE PHYSICS OF A.C. HOPPING CONDUCTIVITY".
 Af: Jeppe C. Dyre.
- 98/85 "VALGMILIGHEDER I INFORMATIONSALDEREN".
 Af: Bent Sørensen.
- 99/85 "Der er langt fra Q til R".
 Projektrapport af: Niels Jørgensen og Mikael Klintorp.
 Vejleder: Stig Andur Pedersen.
- 100/85 "TALSYSTEMETS OPBYGNING".
 Af: Mogens Niss.
- 101/85 "EXTENDED MOMENTUM THEORY FOR WINDMILLS IN PERTURBATIVE FORM".
 Af: Ganesh Sengupta.
- 102/85 OPSTILLING OG ANALYSE AF MATEMATISCHE MODELLER, BELYST VED MODELLER OVER KØRS FODEROPTACELSE OG - OMSÆTNING".
 Projektrapport af: Lis Eileitzen, Kirsten Habekost, Lill Røn og Susanne Stender.
 Vejleder: Klaus Grünbaum.

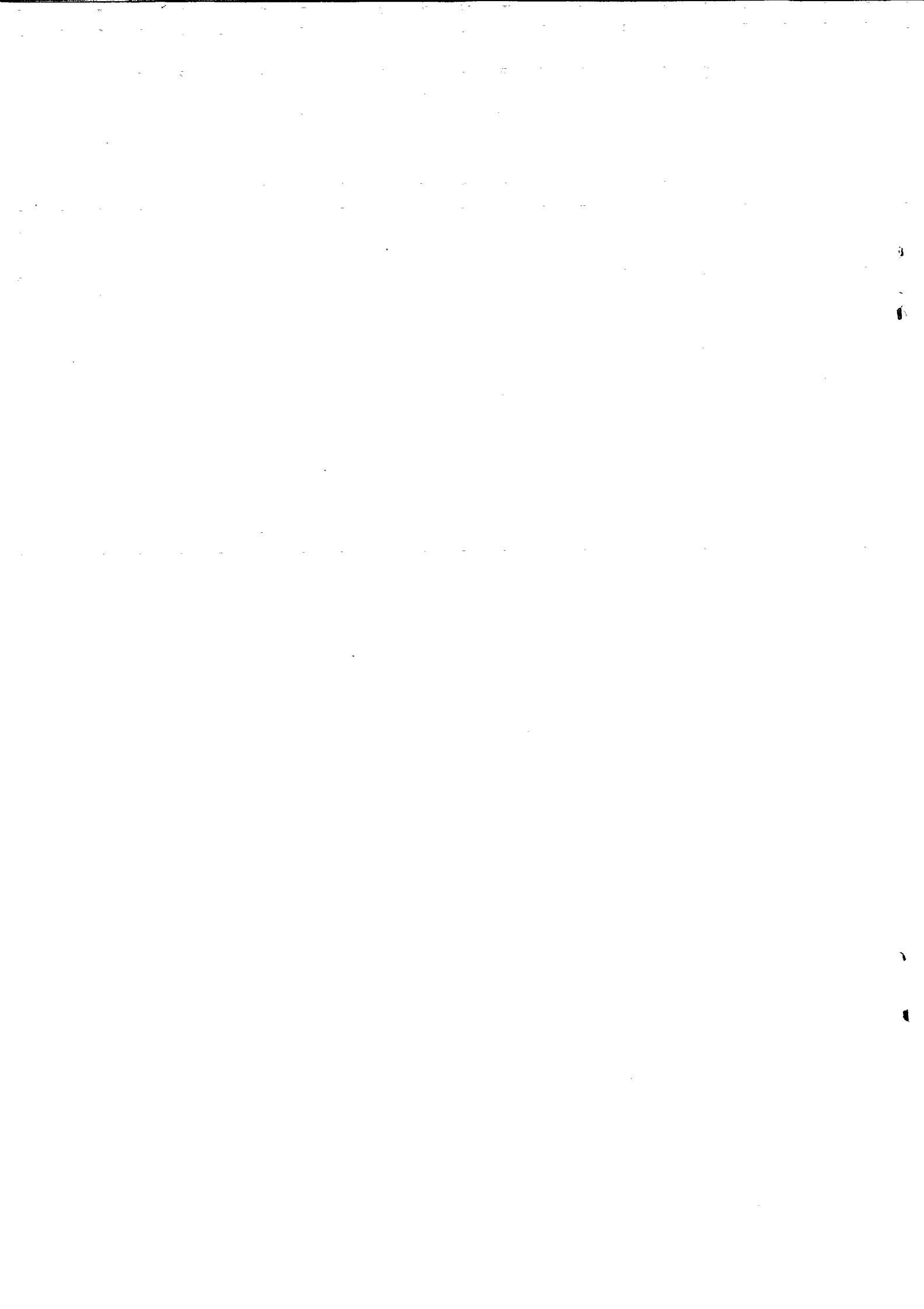
- 103/85 "ØDSLE KOLDKRIGERE OG VIDENSKABENS LYSE IDEER".
Projektrapport af: Niels Ole Dam og Kurt Jensen.
Vejleder: Bent Sørensen.
- 104/85 "ANALOGREGNEMASKINEN OG LORENZLIGNINGER".
Af: Jens Jæger.
- 105/85 "THE FREQUENCY DEPENDENCE OF THE SPECIFIC HEAT AT THE GLASS REACTIONS".
Af: Tage Christensen.
- "A SIMPLE MODEL OF AC HOPPING CONDUCTIVITY".
Af: Jeppe C. Dyre.
Contributions to the Third International Conference on the Structure of Non - Crystalline Materials held in Grenoble July 1985.
- 106/85 "QUANTUM THEORY OF EXTENDED PARTICLES".
Af: Bent Sørensen.
- 107/85 "EN MYG GØR INGEN EPIDEMI".
- flodblindest som eksempel på matematisk modellering af et epidemiologisk problem.
Projektrapport af: Per Hedegård Andersen, Lars Boye, Carsten Holst Jensen, Else Marie Pedersen og Erling Møller Pedersen.
Vejleder: Jesper Larsen.
- 108/85 "APPLICATIONS AND MODELLING IN THE MATHEMATICS CURRICULUM" - state and trends -
Af: Mogens Niss.
- 109/85 "COX I STUDIENTIDEN" - Cox's regressionsmodel anvendt på studenteroplysninger fra RUC.
Projektrapport af: Mikael Wernerberg Johansen, Poul Køller og Torben J. Andreasen.
Vejleder: Jørgen Larsen.
- 110/85 "PLANNING FOR SECURITY".
Af: Bent Sørensen
- 111/85 "JORDEN KUNDT PÅ FLADE KORT".
Projektrapport af: Birgit Andresen, Beatriz Quinones og Jimmy Staal.
Vejleder: Mogens Niss.
- 112/85 "VIDENSKABELIGGØRELSE AF DANSK TEKNOLOGISK INNOVATION FRÆM TIL 1950 - HELYST VED EKSEMPLER".
Projektrapport af: Erik Odgaard Gade, Hans Hedal, Frank C. Ludvigsen, Annette Post Nielsen og Finn Physant.
Vejleder: Claus Bryld og Bent C. Jørgensen.
- 113/85 "DESUSPENSION OF SPLITTING ELLIPTIC SYMBOLS II".
Af: Bernhelm Booss og Krzysztof Wojciechowski.
- 114/85 "ANVENDELSE AF GRAFISKE METODER TIL ANALYSE AF KONTIGENSTABELLER".
Projektrapport af: Lone Billmann, Ole R. Jensen og Arne-Lise von Moos.
Vejleder: Jørgen Larsen.
- 115/85 "MATETIKKENS UDVIKLING OP TIL RENESSANCEN".
Af: Mogens Niss.
- 116/85 "A PHENOMENOLOGICAL MODEL FOR THE MEYER-NELDEL RULE".
Af: Jeppe C. Dyre.
- 117/85 "KRAFT & FJERNVARMEOPTIMERING"
Af: Jacob Mørch Pedersen.
Vejleder: Bent Sørensen
- 118/85 "TILFELDIGHEDEN OG NØDVENDIGHEDEN I PØLGE PEIRCE OG FYSIKKEN".
Af: Peder Voetmann Christiansen
-
- 120/86 "ET ANTAL STATISTISKE STANDARDMODELLER".
Af: Jørgen Larsen
- 121/86 "SIMULATION I KONTINUERT TID".
Af: Peder Voetmann Christiansen.
- 122/86 "ON THE MECHANISM OF GLASS IONIC CONDUCTIVITY".
Af: Jeppe C. Dyre.
- 123/86 "GYMNASIEFYSIKKEN OG DEN STORE VERDEN".
Fysiklærerforeningen, IMFUFA, RUC.
- 124/86 "OPGAVESAMLING I MATEMATIK".
Samtlige opgaver stillet i tiden 1974-jan. 1986.
- 125/86 "UVEV, C - systemet - en effektiv fotometrisk spektralklassifikation af B-, A- og F-stjerner".
Projektrapport af: Birger Lundgren.
- 126/86 "OM UDVIKLINGEN AF DEN SPECIELLE RELATIVITETSTEORI".
Projektrapport af: Lise Odgaard & Linda Szotak Jensen
Vejledere: Karin Beyer & Stig Andur Pedersen.
- 127/86 "GALOIS' BIDRAG TIL UDVIKLINGEN AF DEN ABSTRAKTE ALGEBRA".
Projektrapport af: Pernille Sand, Heine Larsen & Lars Frandsen.
Vejleder: Mogens Niss.
- 128/86 "SMÅKRYB" - om ikke-standard analyse.
Projektrapport af: Niels Jørgensen & Mikael Klinton.
Vejleder: Jeppe Dyre.
- 129/86 "PHYSICS IN SOCIETY"
Lecture Notes 1983 (1986)
Af: Bent Sørensen
- 130/86 "Studies in Wind Power"
Af: Bent Sørensen
- 131/86 "FYSIK OG SAMFUND" - Et integreret fysik/historieprojekt om naturanskuelsens historiske udvikling og dens samfundsmæssige betingethed.
Projektrapport af: Jakob Heckscher, Søren Brønd, Andy Wierød.
Vejledere: Jens Høyrup, Jørgen Vogelius, Jens Højgaard Jensen.
- 132/86 "FYSIK OG DANNELSE"
Projektrapport af: Søren Brønd, Andy Wierød.
Vejledere: Karin Beyer, Jørgen Vogelius.
- 133/86 "CHERNOBYL ACCIDENT: ASSESSING THE DATA. ENERGY SERIES NO. 15."
Af: Bent Sørensen.
-
- 134/87 "THE D.C. AND THE A.C. ELECTRICAL TRANSPORT IN AsSeTe SYSTEM"
Authors: M.B.El-Den, N.B.Olsen, Ib Høst Pedersen, Petr Visčor
- 135/87 "INTUITIONISTISK MATEMATIKS METODER OG ERKENDELSSTEORETISKE FORUDSETNINGER"
MATEMATIKSPECIALE: Claus Larsen
Vejledere: Anton Jensen og Stig Andur Pedersen
- 136/87 "Mystisk og naturlig filosofi: En skitse af kristendommens første og andet møde med græsk filosofi"
Projektrapport af Frank Colding Ludvigsen
Vejledere: Historie: Ib Thiersen
Fysik: Jens Højgaard Jensen
-
- 137/87 "HOPMODELLER FOR ELEKTRISK LEDNING I UORDNEDE FASTE STOFFER" - Resumé af licentiatafhandling
Af: Jeppe Dyre
Vejledere: Niels Boye Olsen og Peder Voetmann Christiansen.

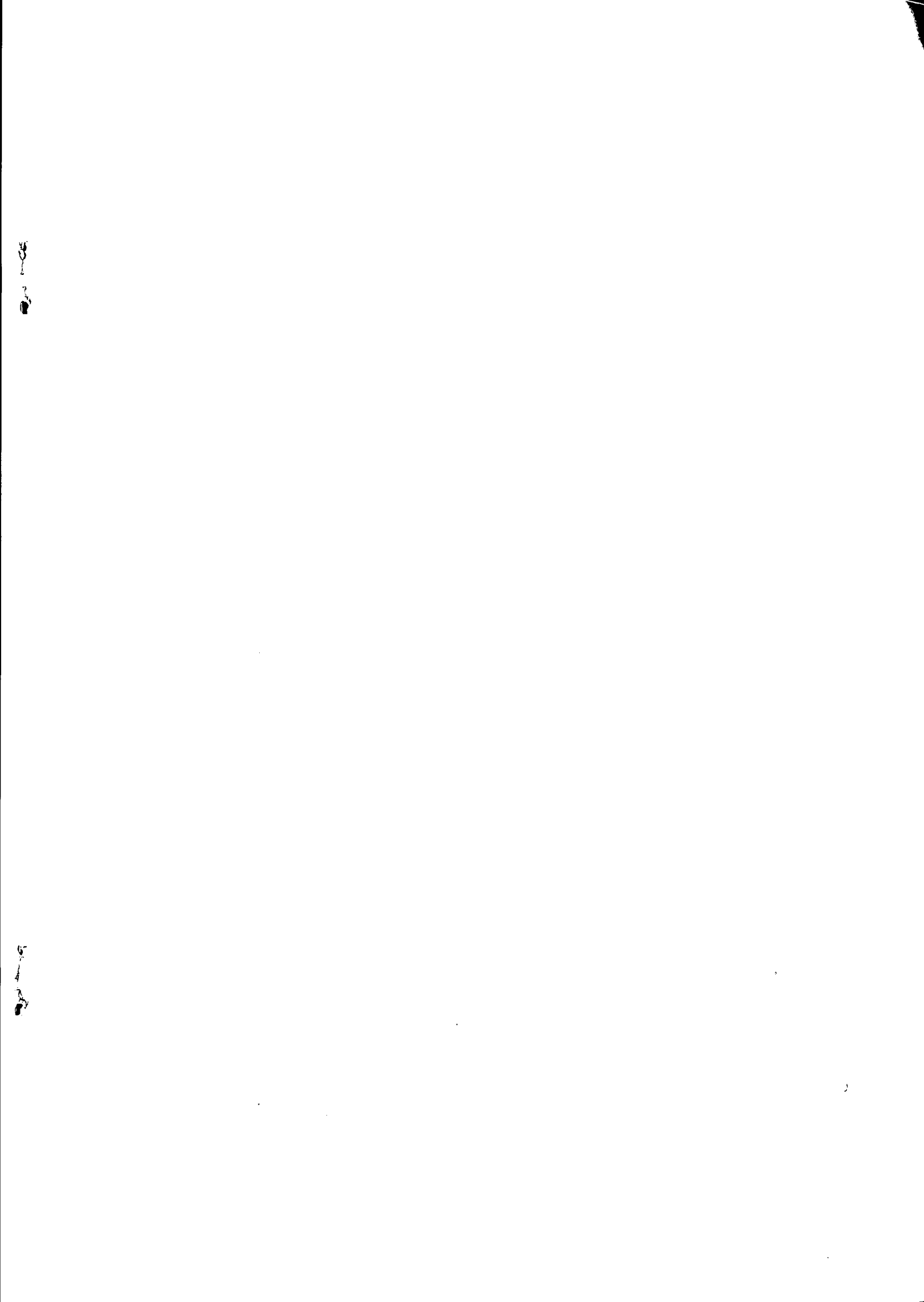
- 138/87 "JOSEPHSON EFFECT AND CIRCLE MAP."
 Paper presented at The International Workshop on Teaching Nonlinear Phenomena at Universities and Schools, "Chaos in Education". Balaton, Hungary, 26 April-2 May 1987.
 By: Peder Voetmann Christiansen
- 139/87 "Machbarkeit nichtbeherrschbarer Technik durch Fortschritte in der Erkennbarkeit der Natur"
 Af: Bernhelm Booss-Bavnbek
 Martin Bohle-Carbonell
- 140/87 "ON THE TOPOLOGY OF SPACES OF HOLOMORPHIC MAPS"
 By: Jens Gravesen
- 141/87 "RADIOMETERS UDVIKLING AF BLODGASAPPARATUR - ET TEKNOLOGIHISTORISK PROJEKT"
 Projektrapport af Finn C. Phasant
 Vejleder: Ib Thiersen
- 142/87 "The Calderón Projektor for Operators With Splitting Elliptic Symbols"
 by: Bernhelm Booss-Bavnbek og Krzysztof P. Wojciechowski
- 143/87 "Kursusmateriale til Matematik på NAT-BAS"
 af: Mogens Brun Heefelt
- 144/87 "Context and Non-Locality - A Peircean Approach
 Paper presented at the Symposium on the Foundations of Modern Physics The Copenhagen Interpretation 60 Years after the Compton Lecture. Joensuu, Finland, 6 - 8 august 1987.
 By: Peder Voetmann Christiansen
- 145/87 "AIMS AND SCOPE OF APPLICATIONS AND MODELLING IN MATHEMATICS CURRICULA"
 Manuscript of a plenary lecture delivered at ICMTA 3, Kassel, FRG 8.-11.9.1987
 By: Mogens Niss
- 146/87 "BESTEMMELSE AF BULKRESISTIVITETEN I SILICIUM"
 - en ny frekvensbaseret målemetode.
 Fysiksionale af Jan Vedde
 Vejledere: Niels Boye Olsen & Petr Viščor
- 147/87 "Rapport om BIS på NAT-BAS"
 redigeret af: Mogens Brun Heefelt
- 148/87 "Naturvidenskabsundervisning med Samfundsperspektiv"
 af: Peter Golding-Jørgensen DLH
 Albert Chr. Paulsen
- 149/87 "In-Situ Measurements of the density of amorphous germanium prepared in ultra high vacuum"
 by: Petr Viščor
- 150/87 "Structure and the Existence of the first sharp diffraction peak in amorphous germanium prepared in UHV and measured in-situ"
 by: Petr Viščor
- 151/87 "DYNAMISK PROGRAMMERING"
 Matematikprojekt af:
 Birgit Andresen, Keld Nielsen og Jimmy Staal
 Vejleder: Mogens Niss
- 152/87 "PSEUDO-DIFFERENTIAL PROJECTIONS AND THE TOPOLOGY OF CERTAIN SPACES OF ELLIPTIC BOUNDARY VALUE PROBLEMS"
 by: Bernhelm Booss-Bavnbek
 Krzysztof P. Wojciechowski
- 153/88 "HALVLEDERTEKNOLOGIENS UDVIKLING NELLEM MILITÆRE OG CIVILE KREFTER"
 Et eksempel på humanistisk teknologihistorie
 Historiespeciale
 Af: Hans Hedal
 Vejleder: Ib Thiersen
- 154/88 "MASTER EQUATION APPROACH TO VISCOUS LIQUIDS AND THE GLASS TRANSITION"
 By: Jeppe Dyre
- 155/88 "A NOTE ON THE ACTION OF THE POISSON SOLUTION OPERATOR TO THE DIRICHLET PROBLEM FOR A FORMALLY SELFADJOINT DIFFERENTIAL OPERATOR"
 by: Michael Pedersen
- 156/88 "THE RANDOM FREE ENERGY BARRIER MODEL FOR AC CONDUCTION IN DISORDERED SOLIDS"
 by: Jeppe C. Dyre
- 157/88 "STABILIZATION OF PARTIAL DIFFERENTIAL EQUATIONS BY FINITE DIMENSIONAL BOUNDARY FEEDBACK CONTROL: A pseudo-differential approach."
 by: Michael Pedersen
- 158/88 "UNIFIED FORMALISM FOR EXCESS CURRENT NOISE IN RANDOM WALK MODELS"
 by: Jeppe Dyre
- 159/88 "STUDIES IN SOLAR ENERGY"
 by: Bent Sørensen
- 160/88 "LOOP GROUPS AND INSTANTONS IN DIMENSION TWO"
 by: Jens Gravesen
- 161/88 "PSEUDO-DIFFERENTIAL PERTURBATIONS AND STABILIZATION OF DISTRIBUTED PARAMETER SYSTEMS: Dirichlet feedback control problems"
 by: Michael Pedersen
- 162/88 "PIGER & FYSIK - OG MEGET MERE"
 Af: Karin Beyer, Sussanne Bleaga, Birthe Olsen,
 Jette Reich, Mette Vedelsby
- 163/88 "EN MATEMATISK MODEL TIL BESTEMMELSE AF PERMEABILITETEN FOR BLOD-NETHINDE-BARRIEREN"
 Af: Finn Langberg, Michael Jarden, Lars Frellesen
 Vejleder: Jesper Larsen
- 164/88 "Vurdering af matematisk teknologi Technology Assessment Technikfolgenabschätzung"
 Af: Bernhelm Booss-Bavnbek, Glen Pate med Martin Bohle-Carbonell og Jens Højgaard Jensen
- 165/88 "COMPLEX STRUCTURES IN THE NASH-MOSER CATEGORY"
 by: Jens Gravesen

- 166/88 "Grundbegreber i Sandsynlighedsregningen"
Af: Jørgen Larsen
- 167a/88 "BASISSTATISTIK 1. Diskrete modeller"
Af: Jørgen Larsen
- 167b/88 "BASISSTATISTIK 2. Kontinuerede modeller"
Af: Jørgen Larsen
- 168/88 "OVERFLADEN AF PLANETEN MARS"
Laboratorie-simulering og MARS-analoger undersøgt ved Mössbauerspektroskopি.
Fysikspeciale af:
Birger Lundgren
Vejleder: Jens Martin Knudsen
Fys.Lab./HCØ
- 169/88 "CHARLES S. PEIRCE: MURSTEN OG MØRTEL TIL EN METAFYSIK."
Fem artikler fra tidsskriftet "The Monist" 1891-93.
Introduktion og oversættelse:
Peder Voetmann Christiansen
- 170/88 "OPGAVESAMLING I MATEMATIK"
Samtlige opgaver stillet i tiden 1974 - juni 1988
- 171/88 "The Dirac Equation with Light-Cone Data"
af: Johnny Tom Ottesen
- 172/88 "FYSIK OG VIRKELIGHED"
Kvantmekanikkens grundlagsproblem i gymnasiet.
Fysikprojekt af:
Erik Lund og Kurt Jensen
Vejledere: Albert Chr. Paulsen og Peder Voetmann Christiansen
-
- 173/89 "NUMERISKE ALGORITMER"
af: Mogens Brun Heefelt
- 174/89 "GRAFISK FREMSTILLING AF FRAKTALER OG KAOS"
af: Peder Voetmann Christiansen
- 175/89 "AN ELEMENTARY ANALYSIS OF THE TIME DEPENDENT SPECTRUM OF THE NON-STATIONARY SOLUTION TO THE OPERATOR RICCATI EQUATION"
af: Michael Pedersen
- 176/89 "A MAXIMUM ENTROPY ANSATZ FOR NONLINEAR RESPONSE THEORY"
af: Jeppe Dyre
- 177/89 "HVAD SKAL ADAM STÅ MODEL TIL"
af: Morten Andersen, Ulla Engström, Thomas Gravesen, Nanna Lund, Pia Madsen, Dina Rawat, Peter Torstensen
Vejleder: Mogens Brun Heefelt
- 178/89 "BIOSYNTesen AF PENICILLIN - en matematisk model"
af: Ulla Eghave Rasmussen, Hans Oxvang Mortensen, Michael Jarden
vejleder i matematik: Jesper Larsen
biologi: Erling Lauridsen
- 179a/89 "LÆRERVEJLEDNING M.M. til et eksperimentelt forløb om kaos"
af: Andy Wierød, Søren Brønd og Jimmy Staal
Vejledere: Peder Voetmann Christiansen Karin Beyer
- 179b/89 "ELEVHEFTET: Noter til et eksperimentelt kursus om kaos"
af: Andy Wierød, Søren Brønd og Jimmy Staal
Vejledere: Peder Voetmann Christiansen Karin Beyer
- 180/89 "KAOS I FYSISKE SYSTEMER eksemplificeret ved torsions- og dobbelpendul".
af: Andy Wierød, Søren Brønd og Jimmy Staal
Vejleder: Peder Voetmann Christiansen
- 181/89 "A ZERO-PARAMETER CONSTITUTIVE RELATION FOR PURE SHEAR VISCOELASTICITY"
by: Jeppe Dyre
- 183/89 "MATHEMATICAL PROBLEM SOLVING, MODELLING. APPLICATIONS AND LINKS TO OTHER SUBJECTS - State. trends and issues in mathematics instruction
by: WERNER BLUM, Kassel (FRG) og MOGENS MISS, Roskilde (Denmark)
- 184/89 "En metode til bestemmelse af den frekvensafhængige varmefylde af en underafkølet væske ved glasovergangen"
af: Tage Emil Christensen
-
- 185/90 "EN NESTEN PERIODISK HISTORIE"
Et matematisk projekt
af: Steen Grode og Thomas Jessen
Vejleder: Jacob Jacobsen
- 186/90 "RITUAL OG RATIONALITET i videnskabers udvikling"
redigeret af Arne Jakobsen og Stig Andur Pedersen
- 187/90 "RSA - et kryptografisk system"
af: Annemette Sofie Olufsen, Lars Frelesen og Ole Møller Nielsen
Vejledere: Michael Pedersen og Finn Munk
- 188/90 "FERMICONDENSATION - AN ALMOST IDEAL GLASS TRANSITION"
by: Jeppe Dyre
- 189/90 "DATAMATER I MATEMATIKUNDERVISNINGEN PÅ GYMNASIET OG HØJERE LÆREANSTALTER
af: Finn Langberg

- 190/90 "FIVE REQUIREMENTS FOR AN APPROXIMATE NONLINEAR RESPONSE THEORY"
by: Jeppe Dyre
- 191/90 "MOORE COHOMOLOGY, PRINCIPAL BUNDLES AND ACTIONS OF GROUPS ON C*-ALGEBRAS"
by: Iain Raeburn and Dana P. Williams
- 192/90 "Age-dependent host mortality in the dynamics of endemic infectious diseases and SIR-models of the epidemiology and natural selection of co-circulating influenza virus with partial cross-immunity"
by: Viggo Andreasen
- 193/90 "Causal and Diagnostic Reasoning"
by: Stig Andur Pedersen
- 194a/90 "DETERMINISTISK KAOS"
Projektrapport af : Frank Olsen
- 194b/90 "DETERMINISTISK KAOS"
Kørselsrapport
Projektrapport af: Frank Olsen
- 195/90 "STADIER PÅ PARADIGMETS VEJ"
Et projekt om den videnskabelige udvikling der førte til dannelse af kvantemekanikken.
Projektrapport for 1. modul på fysikuddannelsen, skrevet af:
Anja Boisen, Thomas Hougaard, Anders Gorm Larsen, Nicolai Ryge.
Vejleder: Peder Voetmann Christiansen
- 196/90 "ER KAOS NØDVENDIG?"
- en projektrapport om kaos' paradigmatiske status i fysikken.
af: Johannes K. Nielsen, Jimmy Staal og Peter Bøggild
Vejleder: Peder Voetmann Christiansen
- 197/90 "Kontrafaktiske konditionaler i HOL
af: Jesper Voetmann, Hans Oxvæg Mortensen og Aleksander Høst-Madsen
Vejleder: Stig Andur Pedersen
- 198/90 "Metal-Isolator-Metal systemer"
Speciale
af: Frank Olsen
- 199/90 "SPREDT FÆGTNING" Artikelsamling
af: Jens Højgaard Jensen
- 200/90 "LINEÆR ALGEBRA OG ANALYSE"
Noter til den naturvidenskabelige basis-uddannelse.
af: Mogens Niss
- 201/90 "Undersøgelse af atomare korrelationer i smørfe stoffer ved rentgendiffraktion"
af: Karen Birkelund og Klaus Dahl Jensen
Vejledere: Petr Viščor, Ole Bakander
- 202/90 "TEGN OG KVANTER"
Foredrag og artikler, 1971-80.
af: Peder Voetmann Christiansen
- 203/90 "OPGAVESAMLING I MATEMATIK" 1974-1990
afleser tekst 170/88
-
- 204/91 "ERKENDELSE OG KVANTEMEKANIK"
et Breddemodul Fysik Projekt
af: Thomas Jessen
Vejleder: Petr Viščor
- 205/91 "PEIRCE'S LOGIC OF VAGUENESS"
by: Claudine Engel-Tiercelin
Department of Philosophy
Université de Paris-1
(Panthéon-Sorbonne)
- 206a+b/91 "GERMANIUMBEAMANALYSE SAMT A - GE TYNDFILMS ELEKTRISKE EGENSKABER"
Eksperimentelt Fysiksionale
af: Jeanne Linda Mortensen
og Annette Post Nielsen
Vejleder: Petr Viščor
- 207/91 "SOME REMARKS ON AC CONDUCTION IN DISORDERED SOLIDS"
by: Jeppe C. Dyre
- 208/91 "LANGEVIN MODELS FOR SHEAR STRESS FLUCTUATIONS IN FLOWS OF VISCO-ELASTIC LIQUIDS"
by: Jeppe C. Dyre
- 209/91 "LORENZ GUIDE" Kompendium til den danske fysiker Ludvig Lorenz, 1829-91.
af: Helge Kragh
- 210/91 "Global Dimension, Tower of Algebras, and Jones Index of Split Separable Subalgebras with Unitality Condition."
by: Lars Kadison
- 211/91 "J SANDREDENS TJENESTE"
- historien bag teorien for de komplekse tal.
af: Lise Arleth, Charlotte Gjerrild, Jane Hansen, Linda Kyndlev, Anne Charlotte Nilsson, Kamma Tulinius.
Vejledere: Jesper Larsen og Bernhelm Booss-Bavnbek
- 212/91 "Cyclic Homology of Triangular Matrix Algebras"
by: Lars Kadison
- 213/91 "Disease-induced natural selection in a diploid host
by: Viggo Andreasen and Freddy B. Christiansen

- 214|91 "Hallej i øteren" - om
elektromagnetisme. Oplæg
til undervisningsmateriale
i gymnasiet.
Af: Nils Kruse, Peter Gastrup,
Kristian Hoppe, Jeppe Guldager
Vejledere: Petr Viscor, Hans Medal
- 215|91 "Physics and Technology of Metal-
Insulator-Metal thin film structures
used as planar electron emitters
by: A.Delong, M.Drsticka, K.Hladil,
V.Kolarik, F.Olsen, P.Pavelka and
Petr Viscor.
- 216|91 "Kvantemekanik på PC'eren"
af: Thomas Jessen
-
- 217/92 "Two papers on APPLICATIONS AND MODELLING
IN THE MATHEMATICS CURRICULUM"
by: Mogens Niss
- 218/92 "A Three-Square Theorem"
by: Lars Kadison
- 219/92 "RUPNOK - stationær strømning i elastiske rør"
af: Anja Boisen, Karen Birkelund, Mette Olufsen
Vejleder: Jesper Larsen
- 220/92 "Automatisk diagnosticering i digitale kredsløb"
af: Bjørn Christensen, Ole Møller Nielsen
Vejleder: Stig Andur Pedersen
- 221/92 "A BUNDLE VALUED RADON TRANSFORM, WITH
APPLICATIONS TO INVARIANT WAVE EQUATIONS"
by: Thomas P. Branson, Gestur Olafsson and
Henrik Schlichtkrull
- 222/92 On the Representations of some Infinite Dimensional
Groups and Algebras Related to Quantum Physics
by: Johnny T. Ottesen
- 223/92 THE FUNCTIONAL DETERMINANT
by: Thomas P. Branson
- 224/92 UNIVERSAL AC CONDUCTIVITY OF NON-METALLIC SOLIDS AT
LOW TEMPERATURES
by: Jeppe C. Dyre
- 225/92 "HATMODELLEN" Impedansepektroskopi i ultrarent
en-kristallinsk silicium
af: Anja Boisen, Anders Corm Larsen, Jesper Varmer,
Johannes K. Nielsen, Kit R. Hansen, Peter Bøggild
og Thomas Hougaard
Vejleder: Petr Viscor
- 226/92 "METHODS AND MODELS FOR ESTIMATING THE GLOBAL
CIRCULATION OF SELECTED EMISSIONS FROM ENERGY
CONVERSION"
by: Bent Sørensen





VORES VEJ MOD EN KONKLUSION

